

MONZOGRANITO DE RIONEGRO

» **Cordillera Oriental**
Departamentos de Santander y Norte de Santander

**María Isabel Arango, Gabriel Rodríguez,
Gilberto Zapata y Ana María Correa Martínez**

Catálogo de las unidades litoestratigráficas de Colombia / Triásico-Jurásico

Citación: Arango, M. I., Rodríguez, G., Zapata, G. y Correa Martínez, A. M. (2020). Monzogranito de Rionegro. En *Catálogos de las unidades litoestratigráficas de Colombia: Macizo de Santander*. Vol. 1. Servicio Geológico Colombiano. <https://doi.org/10.32685/9789585279445.5>

1. Origen del nombre, distribución geográfica y reseña histórica

El nombre de este cuerpo ígneo plutónico deriva de su composición modal dominante y de su localización geográfica cerca del municipio de Rionegro (Santander).

1.1. Distribución geográfica

El Monzogranito de Rionegro tiene un área total aproximada de 1.445 km² y está situado entre las planchas 86, 97 y 109. Es un cuerpo de forma alargada que se extiende en sentido NNW-SSE desde el flanco occidental de la cordillera Oriental, sobre los departamentos de Santander y Norte de Santander. Su parte más angosta se encuentra hacia el sur en la plancha 109 (1,8 km) y se amplía hasta 17,13 km hacia el norte de la plancha 97.

Por su parte, el cuerpo de granodiorita que fue cartografiado como una unidad aparte en la Plancha 109 (Ward *et al.*, 1973), aflora en cercanías del municipio de Rionegro, en el extremo sur del Monzogranito de Rionegro, tiene un área de 36 km² y se encuentra en la carretera que comunica el municipio de Rionegro con Santa Cruz. El cuerpo intrusivo tiene forma irregular alargada en sentido NE-SW (Ward *et al.*, 1973).

El Monzogranito de Rionegro se encuentra limitado hacia el occidente por la falla de Bucaramanga, en contacto con la Formación Bocas y la Formación Girón. En cercanías del municipio de San Alberto se encuentra en contacto fallado e intrusivo con la unidad Ortoneis y con el Neis de Bucaramanga. Hacia el norte, el límite de la unidad es impreciso y ha sido incluido como parte del complejo extrusivo-intrusivo en la Plancha 76-Ocaña (Daconte y Salinas, 1980).

De acuerdo con la cartografía existente, el límite oriental del Monzogranito de Rionegro intruye la Formación Silgará y el Monzogranito de Cáchira, y en algunos sectores está limitado por la falla Veguitas y las fallas satélites de la falla de Cáchira.

Trabajos de campo, junto con análisis petrográficos y geocronológicos durante la ejecución del Proyecto Magmatismo Jurásico de Santander, permitieron delimitar el Monzogranito de Rionegro en su borde oriental, con una extensión menor que la presentada en las planchas 86 y 97, en las que aparece como parte de este cuerpo intrusivo otro cuerpo que denominamos *Monzogranito de*

Cáchira (figura 1), que presentó una edad U/Pb en círculos del Paleozoico, diferencias geoquímicas, textura granoblástica con contenidos mayores de moscovita y diques pegmatíticos de cuarzo y moscovita.

1.1. Reseña histórica

Esta unidad ha sido nombrada por Ward *et al.* (1973), teniendo en cuenta su diversidad litológica y su amplia distribución geográfica entre las planchas geológicas 86 (Ábrego), 97 (Cáchira) y 109 (Rionegro), *Batolito de Rionegro*, y está situada hacia el este del municipio de Rionegro, de donde toma su nombre en la plancha 109. En el norte, en cercanías del municipio de Ocaña, Arias y Vargas (1978) la nombraron *Batolito de Ocaña*, refiriéndose así a un conjunto de rocas intrusivas con similitudes composicionales al Batolito de Rionegro, junto con rocas extrusivas de composición riolítica, sin precisar límites cartográficos entre estas unidades.

Ward *et al.* (1973) definieron y separaron dos facies del Batolito de Rionegro: una facies principal de cuarzomonzonita (equivale a monzogranitos) localizada hacia el norte del municipio de Rionegro, en cercanías de la localidad de La Reforma; esta se extiende hacia el norte hasta el límite de las planchas 86 y 76, donde es cartografiada como *complejo intrusivo-extrusivo* (Daconte y Salinas, 1980). Posteriormente, esta facies es denominada *unidad cuarzomonzonita* (Arias y Vargas, 1978; Arias y Morales, 2003); *unidad intrusiva cuarzomonzonita* (Clavijo, 1994) y *cuarzomonzonita-granito* (Royero y Clavijo, 2001). En el empalme entre las planchas 97 (Cáchira) y 98 (Durania) no hay continuidad en la nomenclatura cartográfica del batolito, por lo que Fuquen *et al.*, (2010), denominan el cuerpo intrusivo localizado al oeste de la plancha de Durania como *Granito de Arboledas*.

Subordinadamente, la facies granodiorítica está asociada en la literatura con la unidad granodiorita y granodiorita biotítica, que inicialmente correspondía a dos cuerpos: el primero de ellos, en la Plancha 86 (Arias y

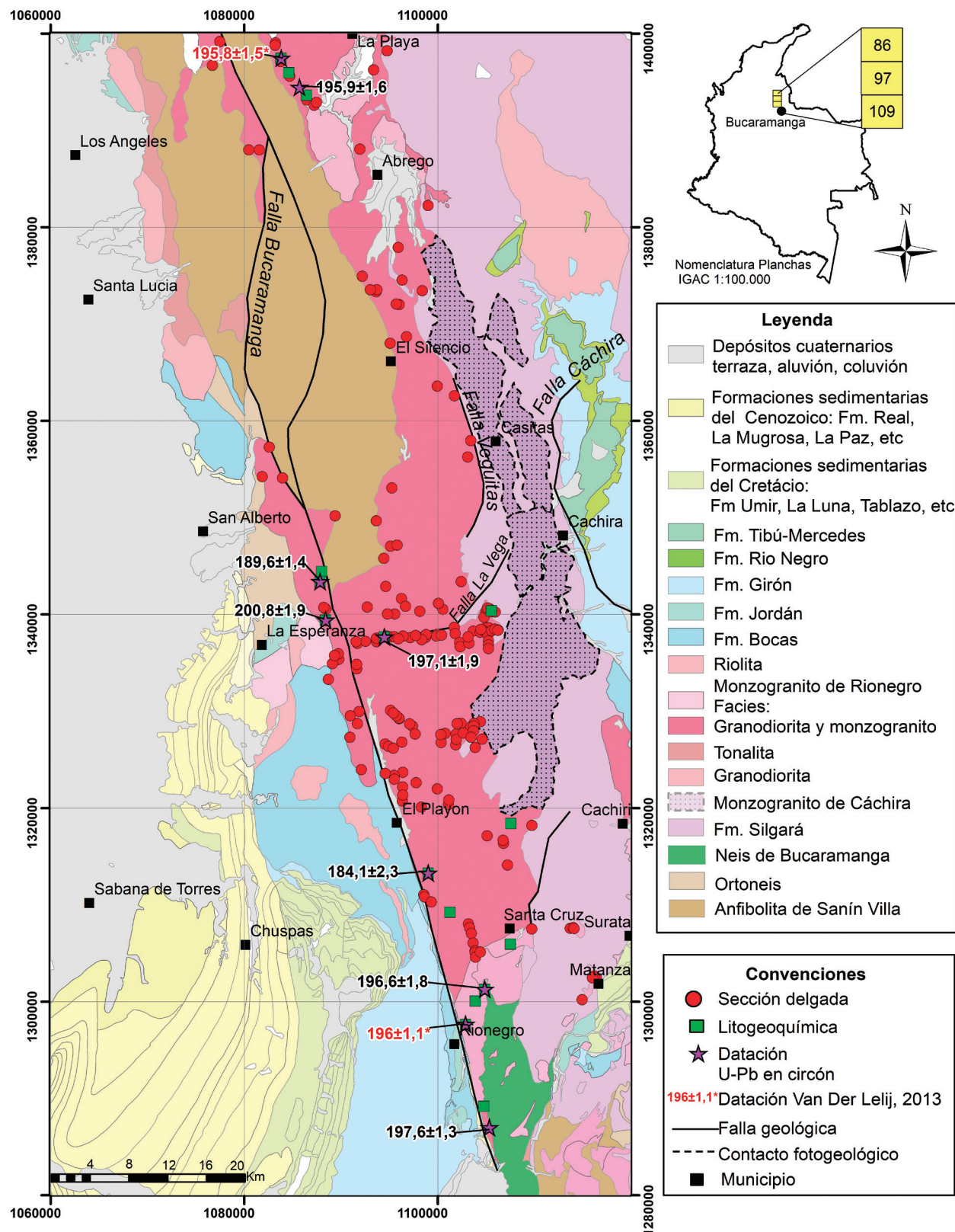


Figura 1. Localización de afloramientos del Monzogranito de Rionegro

Fuente: modificado a partir de Ward *et al.* (1973), Arias y Vargas (1978), Daconte y Salinas (1980), Arias y Morales (2003), Clavijo (1994) y Royero y Clavijo (2001) y este trabajo

Vargas, 1978), y el otro, ubicado en la Plancha 109 (Ward *et al.*, 1973).

Según Arias y Vargas (1978), estos dos cuerpos granodioríticos presentan similitudes entre sí; sin embargo, una edad reportada por Van der Lelij (2013) de $443,4 \pm 3,2$ Ma, U-Pb en circones para la unidad que aflora en la plancha 86 indica que se trata de un plutón diferente del Batolito de Rionegro y de la facies granodiorita que aflora al sur de este, localizada en cercanías del municipio de Rionegro y la población de Santa Cruz, en la Plancha 109 (Ward *et al.*, 1973) (figura 1). La granodiorita que aflora en los alrededores de Rionegro debe ser tratada como una unidad aparte del Monzogranito de Rionegro, de acuerdo con la edad U/Pb en circones obtenida en este proyecto, de $214,5 \pm 2,7$ Ma, pues es anterior a la cristalización de las rocas del Monzogranito de Rionegro.

2. Descripción geológica

2.1. Marco geológico

El Macizo de Santander hace parte de un bloque regional de forma triangular conformado por las fallas de Santa Marta-Bucaramanga, al occidente, la falla de Oca-Anconcón, al norte, y la falla de Boconó, en el lado oriental.

Las rocas más antiguas del Macizo de Santander comprenden unidades metamórficas como el Neis de Bucaramanga (Ward *et al.*, 1973), denominado también complejo Bucaramanga (Clavijo, 1994). El Neis de Bucaramanga consiste de paragneises migmatíticos de alto grado considerados de edad Proterozoica, con un pico de metamorfismo de edad 1057 ± 28 Ma (U/Pb-SHRIMP en circón), relacionado con la orogenia grenvilliana (Goldsmit *et al.*, 1971; Restrepo Pace *et al.*, 1997; García y Ríos, 1999; Cordani *et al.*, 2005; Ordóñez Cardona *et al.*, 2006).

Edades publicadas por Van der Lelij (2013) y obtenidas durante el desarrollo del proyecto Magmatismo Jurásico del Macizo de Santander en unidades cartografiadas como el Neis de Bucaramanga y el Ortoneis por el método U-Pb LA-ICP-MS (*laser ablation inductively-coupled plasma mass spectrometry* —ablación láser inductivamente acoplada con un espectrómetro de masas con fuente de plasma—) en circones, arrojaron edades de metamorfismo y cristalización del Ordovícico.

El Neis de Bucaramanga subyace a la Formación Silgará, constituida por esquistos, filitas, metaladolitas, metaareniscas y escasos mármoles, y hace parte del basa-

mento del Macizo de Santander (Ward *et al.*, 1973; García y Ríos, 1999; Ríos *et al.*, 2003; Mantilla *et al.*, 2013; Mantilla *et al.*, 2016). Presenta edades de metamorfismo del Ordovícico Inferior-Medio relacionadas con la orogenia caledoniana (Ríos *et al.*, 2003; Ordóñez Cardona *et al.*, 2006; Clavijo *et al.*, 2008; Mantilla *et al.*, 2013).

Algunas edades U-Pb en circón muestran magmatismo posterior y anterior al metamorfismo, representado por metavulcanitas y plutones que intruyen el basamento metamórfico, con edades U/Pb en circón del Silúrico, Devónico Inferior, Carbonífero y límite Triásico-Jurásico.

Los plutones triásico-jurásicos del Macizo de Santander se consideraron emplazados en rocas metamórficas del Terreno Chibcha, de acuerdo con Restrepo y Toussaint (1988) y Restrepo *et al.*, (2011), o del terreno Santander, según Etayo *et al.* (1985). Estos plutones están emplazados en rocas metamórficas ordovícicas relacionadas con la orogenia famatiniana, y probablemente no tienen relación con el arco continental más joven, Jurásico temprano a Medio, del Valle Superior del Magdalena, la serranía de San Lucas y la Sierra Nevada de Santa Marta, emplazado en basamento metamórfico grenvilliano, y donde no se han reportado rocas metamórficas relacionadas con la orogenia famatiniana.

Durante el límite Triásico-Jurásico se desarrolló un notable magmatismo de arco continental que produjo el emplazamiento de grandes batolitos, *stocks* graníticos y cuerpos riolíticos subvolcánicos localizados hacia la margen occidental del Macizo de Santander, en el basamento metamórfico paleozoico.

Unidades sedimentarias cretácicas reposan discordantes sobre el basamento metamórfico y los plutones. Con posterioridad a la sedimentación cretácica se dio escaso magmatismo durante el Mioceno, que emplazó pequeños cuerpos de pórfidos con mineralización de oro (Leal, 2011; Mantilla *et al.*, 2013).

2.1. Características macroscópicas

Arias y Vargas (1978) describen la composición principal del Batolito de Rionegro como cuarzomonzonita, con un predominio de biotita y variaciones locales a granito, granodiorita y, en menor proporción, a tonalita. De acuerdo con Ward *et al.* (1973), la litología principal es leucocrática de color rosado a gris claro, con un índice de color de 15 a 20%, y presenta texturas equigranulares

a subporfiríticas con tamaño de grano medio. Estos autores indican variaciones litológicas, cerca de los bordes en contactos con la Formación Silgará, a un granito de color blanco a rosado.

A nivel macroscópico, según Daconte y Salinas (1980), las rocas intrusivas del Batolito de Ocaña exhiben una textura que varía de grano fino a grueso, con predominio del grano medio y escasas zonas pegmatíticas. Son rocas claras compuestas por feldespato rosado, cuarzo, plagioclasa y, en menor proporción, algún ferromagnesiano (biotita, clorita). La composición varía de granito a cuarzomonzonita.

El Monzogranito de Rionegro está compuesto por cristales subhédrales de plagioclasa, cristales de cuarzo anhédrales y feldespato que puede variar en su contenido a cristales anhédrales de tonalidad rosada. El mineral

máfico que predomina es la biotita en láminas de color negro y, en menor proporción, cristales de hornblenda.

Macroscópicamente, las granodioritas corresponden a rocas faneríticas de color gris a gris verdoso, con tamaño de grano medio a ligeramente inequigranular y textura subporfirítica. Están compuestas por cuarzo, plagioclasa y feldespato potásico como minerales principales y biotita sectorizada. Se encuentran intruyendo la Formación Silgará; hacia el sur subyacen la Formación Girón y la Formación El Diamante (Arias y Vargas, 1978). Diques de cuarzomonzonita son abundantes en el norte del Monzogranito de Rionegro, al este de Bucaramanga. Sin embargo, diques y masas pequeñas están distribuidos en toda el área de afloramiento. En el Monzogranito de Rionegro son comunes los diques de composición felsica (riolitas, dacitas y aplitas) y máfica (andesitas,

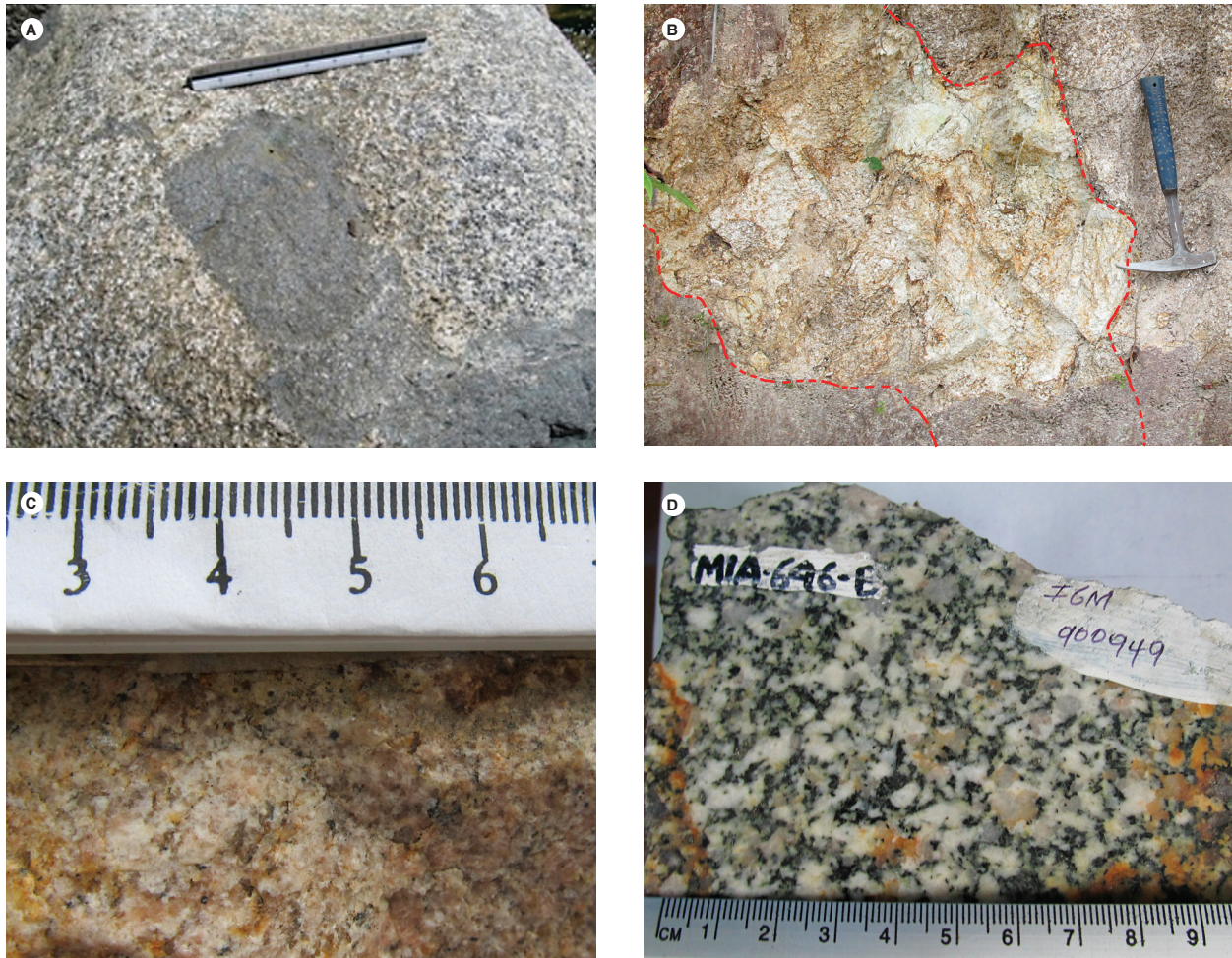


Figura 2. Aspecto macroscópico de rocas del Monzogranito de Rionegro. A) Enclave máfico en monzogranito. B) Saprolito de roca cortado por un dique felsico, GZ-6842. C) Monzogranito, IGM-900894. D) Granodiorita, IGM-900949

microdioritas), con espesores decimétricos a centimétricos y con distribución irregular (figura 2). Asimismo, se presentan enclaves de composición básica diorítica, con bordes irregulares, netos a difusos, de tamaños que varían entre 5 y 20 cm, compuestos por cristales finogranulares de biotita y plagioclasa.

En algunos sectores el cuerpo ígneo se encuentra meteorizado, y expone un saprolito de color crema, blanco a blanco amarillento, con textura granular gruesa, en el que se conservan cristales frescos de cuarzo y láminas lixiviadas de biotita.

Hacia el sector centro-occidental del plutón, en la vía que comunica los municipios de El Playón y San Alberto, en el cauce del río Cáchira y en la vereda Pueblo Nuevo se observan intrusiones locales del Monzogranito de Rionegro en un cuerpo de composición diorítica (figura 3), a manera de brechas intrusivas con abundancia de cristales de feldespato potásico y texturas pegmatíticas.

2.3. Características microscópicas

La descripción petrográfica del cuerpo principal, cuerpos menores asociados y diques se hace a partir del análisis de quince muestras de roca tomadas en este es-

tudio. Además, se realizó la compilación y el análisis de 159 secciones delgadas existentes de estudios cartográficos anteriores (anexo 1).

Litológicamente predominan los monzogranitos, seguidos de sienogranitos, granodioritas, cuarzosienitas, tonalitas, cuarzomonzonitas, monzonitas y cuarzdioritas (figura 4). No hay una clara distribución espacial de los diferentes tipos de rocas en la unidad; por el contrario, se presentan dispersas a lo largo del cuerpo.

De acuerdo con Ward *et al.* (1973), el Batolito de Rionegro presenta textura general hipidiomorfa dada por una mineralogía principal de cuarzo (25 a 35%), oligoclase subhedral (25 a 45%), microclina y micropertitas (20 a 40%) y biotita (1 a 10%). Como minerales accesorios se presentan circón, titanita, allanita, apatito y óxidos de hierro; como minerales de alteración tiene clorita, epidota y sericitita.

Las granodioritas presentan una textura hipidiomorfa y están compuestas por plagioclasa, cuarzo, feldespato y biotita (Ward *et al.*, 1973). Como minerales accesorios presentan titanita, apatito, allanita, magnetita y escaso circón y sericitita. Clorita, productos arcillosos, calcita y epidota están presentes como minerales secundarios de alteración.

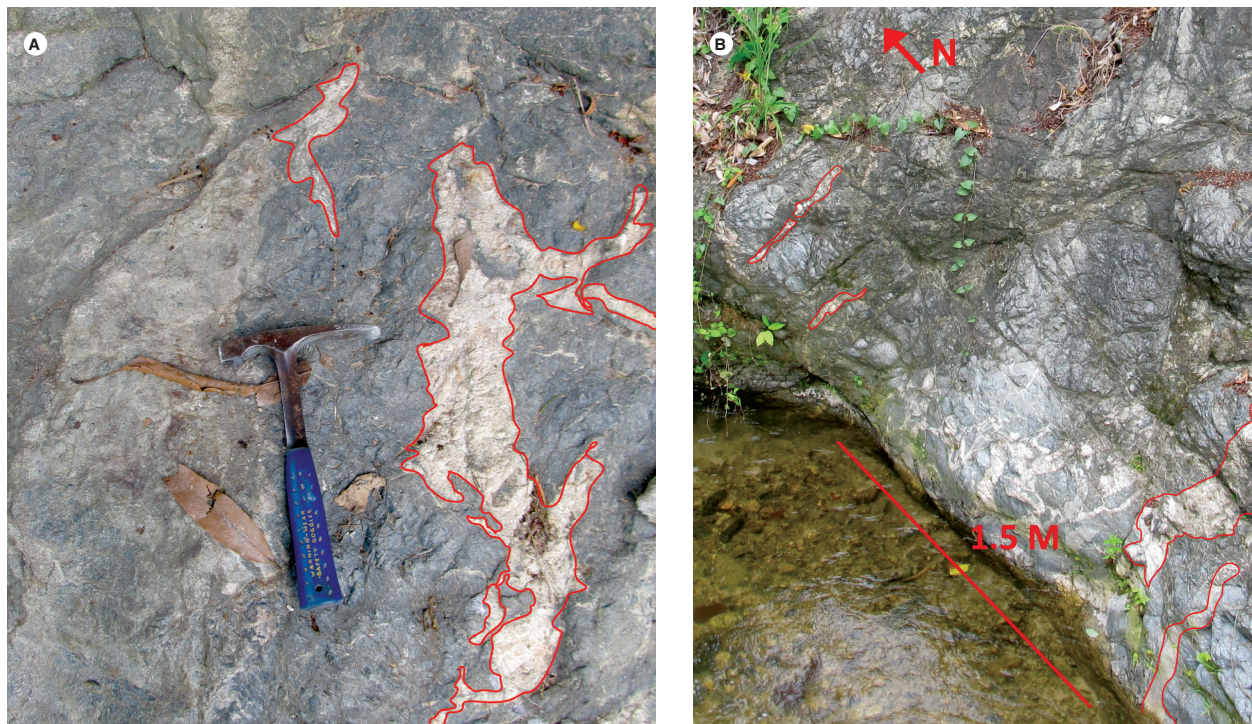


Figura 3. Intrusiones del Monzogranito de Rionegro en cuerpos de diorita en el borde occidental del plutón. A) TCR-387. B) Río Cáchira, estación TCR-387

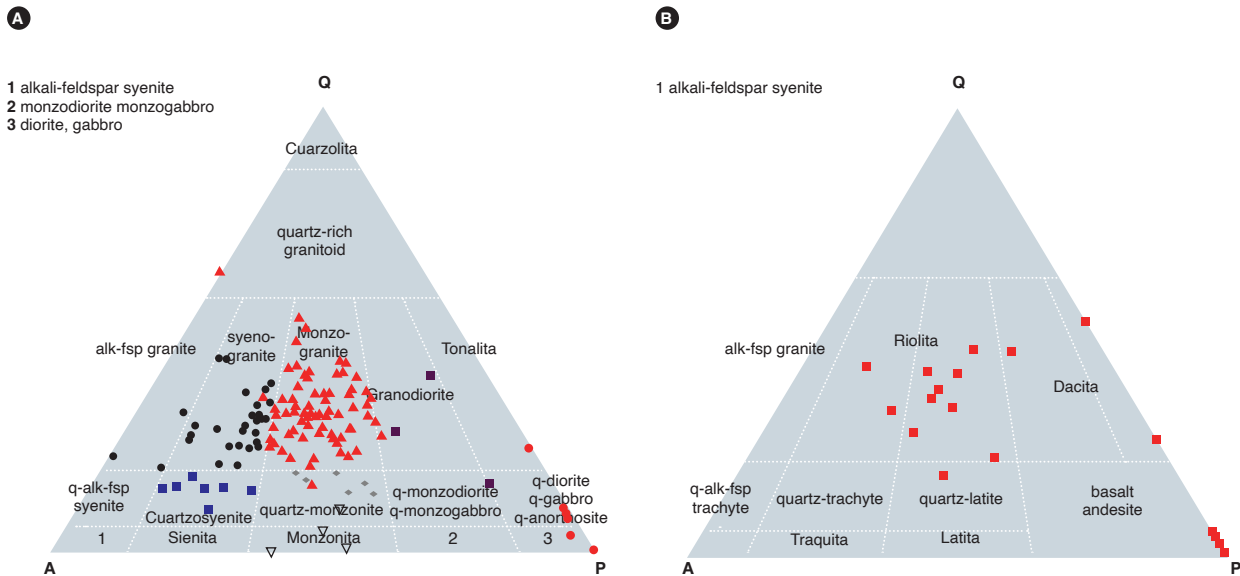


Figura 4. Composición modal del Monzogranito de Rionegro utilizando los diagramas de Streckeisen (1976, 1978). A) Distribución de rocas del Monzogranito de Rionegro en los campos de las rocas ígneas intrusivas, separando las muestras por color y símbolo según la clasificación. B) Composición modal de diques

De acuerdo con Daconte y Salinas (1980), las rocas del Batolito de Ocaña tienen texturas pertítica, hipidiomorfa a alotriomorfa y poiquilitica, con evidencias de cataclasis. Su composición incluye feldespato potásico (30 a 40%) en cristales anhédrales con textura pertítica, a veces alterados a caolinita. La plagioclasa (30 a 40%) varía de Ab₇₀ a An₃₀, con maclas de albita y periclina. Algunos cristales presentan zonación. El cuarzo (20 a 30%) se observa en cristales anhédrales con extinción débilmente ondulatoria y con inclusiones de plagioclasa y moscovita, a veces recristalizado. Los minerales accesorios son biotita, moscovita, magnetita y titanita. La moscovita es abundante en los contactos con la Formación Silgará.

El Monzogranito de Rionegro presenta una textura general alotriomorfa granular a hipidiomorfa, y comúnmente desarrolla texturas de intercrecimiento que varían entre mirmequíticas, micrográficas y simplectíticas (figura 5). De manera sectorizada se presentan texturas porfiríticas y granoblásticas a ligeramente orientadas; estas últimas evidencian sobreimposición de un metamorfismo dinámico asociado con el sistema de fallas de Bucaramanga y fallas menores.

Los monzogranitos se constituyen de cuarzo entre 20 y 54,3%, plagioclasa entre 8,5 y 47,9% y feldespato potásico, que varía entre 22,2 y 65%. El mineral máfico que más abunda es la biotita, que fluctúa entre 0,5 y 10%,

seguido de hornblenda en contenidos traza a 3,1%; como minerales accesorios exhibe opacos (desde contenidos traza a 2%), moscovita (menor de 1%), titanita (hasta un 2%), circón (hasta el 0,5%) y apatito (0,5%).

Los sienogranitos y cuarzo-sienogranitos presentan cantidades de cuarzo entre 15 y 45,1%, plagioclasa entre el 6,9 y 22,9%, y contenidos de feldespato potásico entre el 41 y el 70%. Al igual que en los monzogranitos, el mineral máfico que predomina es la biotita, entre 0,5 y 7%; como minerales accesorios, estas rocas tienen moscovita en cantidades menores del 1%; en particular, en la roca IGM-10981 se encuentra granate en contenidos traza, opacos entre 0,1 y 2%, apatito en cantidades menores de 0,2%, circón entre el 0,2 y el 0,7%, titanita entre 0,2 y 0,5%, y allanita en un 0,5%.

Las monzonitas se componen de cuarzo entre un 0,7 y 8%, plagioclasa en un 35 a 40,5%, y feldespato potásico entre 30 y 53,5%. Como minerales máficos aparecen trazas de biotita y hornblenda; los minerales opacos alcanzan el 1%. Presentan apatito y circón en cantidades trazas y titanita hasta en un 3%.

Las granodioritas tienen contenidos modales de cuarzo entre 4,5 y 36,5%, plagioclasa entre el 29 y 62,5% y feldespato potásico entre 9,7 y 25%. Se reporta la biotita como mineral máfico más común entre un 1 y 14,3%. Por el contrario, la hornblenda es escasa y alcanza el 1%,

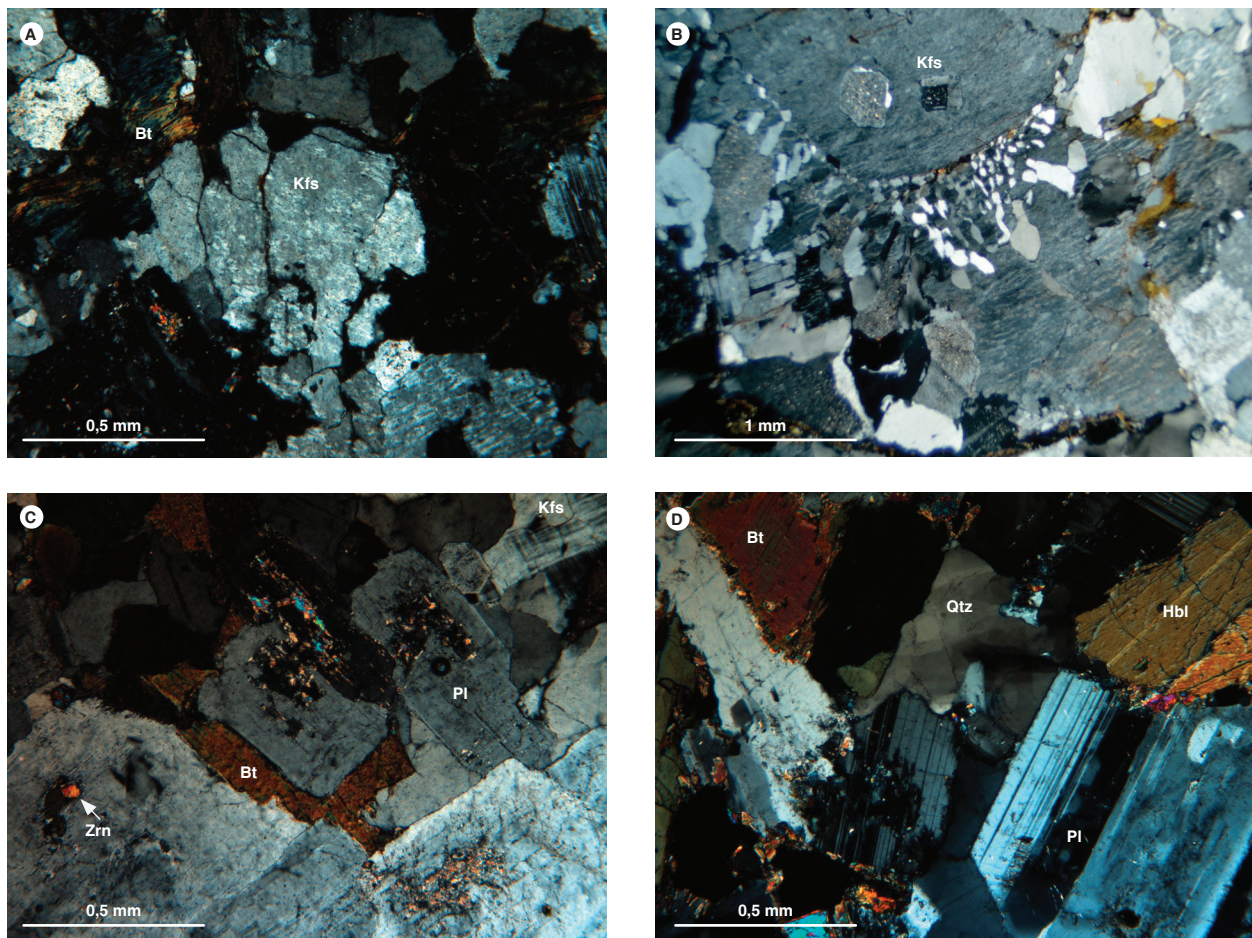


Figura 5. Texturas principales del Monzogranito de Rionegro (en nícoles cruzados). A) Pertitas en granodiorita, IGM-900985. B) Mirmequítica y pertítica en sienogranito, IGM-900950. C) Hipidiomorfa en granodiorita, IGM-901028. D) Hipidiomorfa en tonalita, IGM-31180

excepto en la roca IGM-90999, que tiene un contenido alto (29%) y es clasificada como granodiorita con hornblendita. Estas rocas pueden presentar contenidos traza de moscovita, los opacos alcanzan en ellas hasta el 1%; otros minerales accesorios, como el apatito y el circón, están en un 2% cada uno, y la titanita hasta en un 4,5%.

Pocas rocas se clasifican como tonalitas, y las que lo hacen presentan cantidades de cuarzo entre el 21 y el 37,2%, plagioclasa entre el 41 y el 54,5%, y proporciones bajas de feldespato potásico, entre 0,8 y 4,5%. La biotita aparece entre el 7,3 y 23%, mientras que las cantidades de hornblendita oscilan del 9 al 12%. Los minerales accesorios están en un 1% y corresponden a opacos, apatitos y circón, mientras que la titanita está entre un 0,2 y 2%.

Las dioritas tienen una composición mineralógica de cuarzo entre 1,1 y 10%, plagioclasa entre el 23,8 y 68%, y escaso feldespato potásico (1%). Algunas rocas presentan cantidades de piroxeno (clinopiroxeno entre 11% y

15%, y ortopiroxeno en 23,6%), hornblendita entre 12 y 35%, y biotita entre el 9 y el 13%. Una roca de composición gabroica (IGM-31146) es clasificada como gabonorita piroxeno-hornbléndica, contiene clinopiroxeno augita en cantidades de 23,6%, hornblendita en un 26,4%, plagioclasa en 36,9% y cantidades menores de cuarzo (1,1%) y feldespato (0,6%) (figura 6). El Monzogranito de Rionegro se caracteriza petrográficamente por contener cristales de cuarzo de formas xenomorfadas, incoloros, con bordes irregulares y de aspecto limpio, con color de interferencia blanco del primer orden. Tienen extinción ondulatoria, inclusiones microcristalinas a manera de líneas e inclusiones de plagioclasa y feldespato, aparecen en tamaños de 0,4 a 1,5 mm.

En granodioritas, monzogranitos, sienogranitos y tonalitas, la plagioclasa es de tipo andesina, y varía entre An_{34} y An_{36} ; solo en una roca clasificada como monzogranito (IGM-900997), la plagioclasa es de tipo oligoclasa

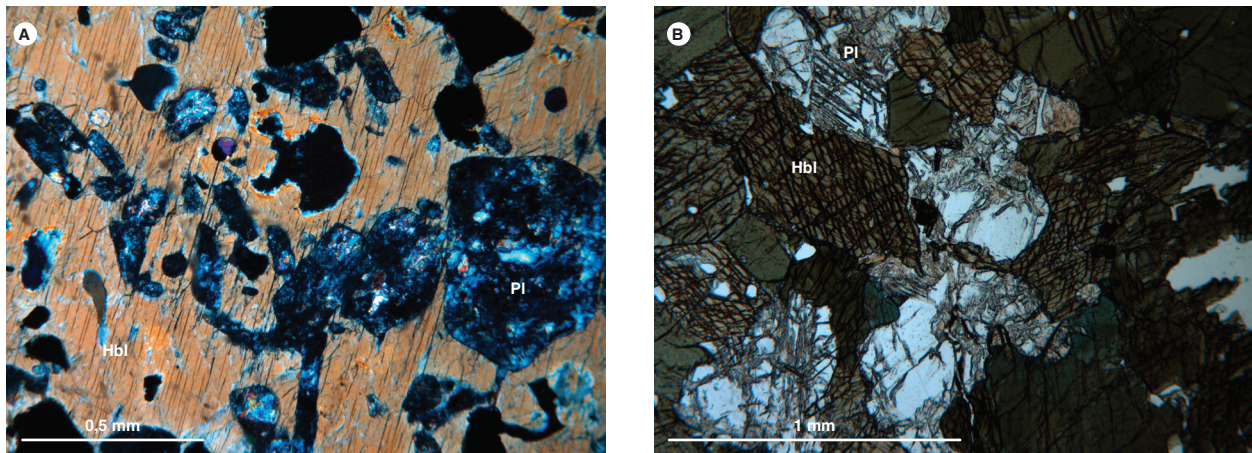


Figura 6. Litología inusual asociada con el Monzogranito de Rionegro. A) Gabronorita hornbléndica, IGM-31146. B) Diorita hornbléndica, IGM-31183

(An₂₆). En general, se presenta en cristales subidiomorfos tabulares con caras rectas a irregulares, por estar intercristalados con cristales de feldespato y cuarzo. La plagioclasa se encuentra alterada moderadamente a sericitia y saussurita, muestran maclas tipo albita y Carlsbad, zonaciones normales en las que los núcleos de los cristales se encuentran más alterados, en tamaños que varían de 0,7 a 2,5 mm; además, muestra inclusiones de hornblenda, biotita, circón, cuarzo, apatito, feldespato, titanita y opacos.

El feldespato potásico es principalmente ortosa, que en ocasiones pasa a microclina. Se presenta en cristales xenomorfos, incoloros, moderadamente alterados a caolín, con maclas incompletas en forma de parrilla y texturas pertíticas dada en parches y filoncillos de plagioclasa, además de textura poiquilitica dada por inclusiones de biotita, circón, opacos. Se presenta en tamaños que varían de 0,3 a 2,8 mm.

El mineral máfico que más abunda es la biotita, presente en láminas subidiomorfas tabulares de tamaños que fluctúan entre 0,8 y 2,6 mm, de color castaño, pleocroicas X: verde amarillento, Y: pardo, y con birrefringencia del segundo orden, que exhibe colores de castaño a verde fuerte. Los cristales muestran extinción moteada, una dirección de clivaje en la que se hospedan agregados de titanita y magnetita residual. Son frecuentes las inclusiones de circón, apatito, opacos y titanita. Algunas láminas están alteradas moderadamente a clorita en agregados laminares de color verde claro y colores de interferencia púrpura a azul del segundo orden, y a epidota en agregados granulares verde amarillento de relieve alto y birrefringencia fuerte.

La hornblenda es escasa, se presenta en cristales subidiomórficos prismáticos, de colores verde claro, verde oscuro y verde amarillento. Tiene pleocroísmo y un relieve moderado, birrefringencia amarilla pálida de primer orden. Tiene dos direcciones de exfoliación a 54° y ángulo de extinción de 12°, cristales en tamaños de 0,5 a 2 mm. Algunos cristales exhiben maclas polisintéticas. Presenta inclusiones de apatito y cuarzo, con opacos asociados y una leve alteración a epidota.

En las granodioritas aparecen esporádicamente núcleos de clinopiroxeno en hornblendas. El clinopiroxeno está en cristales xenomorfos, incoloros a amarillo pálido, birrefringencia fuerte de segundo orden con color de interferencia fucsia y alto relieve. Tiene un tamaño promedio de 0,5 mm y ángulo de extinción de 45°.

Como mineral accesorio se presenta la moscovita en cantidades menores del 1 %, en láminas subhendradas, incoloras, con birrefringencia alta y colores de interferencia azul a roja del segundo orden. Se encuentra asociada a láminas de biotita en tamaños de 0,3 a 0,5 mm.

Los minerales opacos son subidiomorfos, isotrópicos, con un tamaño promedio de 0,3 mm, intersticiales, y se presentan como inclusiones en plagioclasa, cuarzo y ortosa. En luz reflejada se observan cristales correspondientes a pirita de color amarillo pálido, microfracturados, con superficies lisas; tienen inclusiones finas de calcopirita de color amarillo más intenso. Otros opacos corresponden a magnetita en cristales de color gris, con reflectancia baja; presentan texturas porosas.

La titanita se presenta en cristales intersticiales xenomorfos de color pardo, pleocroicos en tono castaño

claro a medio. El color del mineral enmascara el color de interferencia del tercer orden. Aparece en tamaño de 0,2 mm asociada con los opacos.

Se presentan contenidos traza de allanita en cristales subidiomorfos de 0,5 a 1,3 mm, de color ocre, alto relieve, ligeramente pleocroicos y de color de interferencia castaño oscuro, que se encuentran asociados a epidota y clorita, y tienen inclusiones de opacos.

El circón se presenta en cristales incoloros con bordes ligeramente oscurecidos, subidiomorfos prismáticos alargados; algunos muestran microfracturas, con bifringencia del fucsia al verde del tercer orden. Los cristales tienen tamaños de 0,05 a 0,2 mm y están asociados con opacos y biotitas.

El apatito se presenta como cristales de tamaños que varían entre 0,05 y 0,2 mm, subhexagonales, prismáticos e incoloros, y como inclusiones en biotita, hornblenda, cuarzo y plagioclasa.

El Monzogranito de Rionegro presenta rocas plutónicas afectadas por fases deformativas posteriores a su cristalización, asociadas a régimen dinámico frágil y que han sido clasificadas estructuralmente como cataclasitas.

Las cataclasitas se caracterizan por presentar porfiroclastos de cuarzo, plagioclasa y feldespato con tamaños entre 0,5 y 5,5 mm en una matriz cuarzofeldespática finogranular.

Otras rocas han sido clasificadas como granofels cuarzofeldespáticos y se asocian con xenolitos que posiblemente son del Monzogranito de Cachira (figura 7). Los granofels presentan una textura general granoblástica y texturas mirmequíticas, pertíticas y micrográficas. Mineralógicamente presentan feldespato potásico, cuarzo, plagioclasa, hornblenda y biotita, y como minerales accesorios presentan circón, opacos, titanita y moscovita.

Rocas de dique. Corresponden a riolitas, monzogranitos andesitas, dacitas, microdioritas y cuarzolatitas (tabla 1).

En general, las rocas de dique presentan textura holocristalina porfídica, y como texturas particulares, microcrystalina, micrográfica e intersectal dada por microlitos de plagioclasa entrecruzados con cuarzo, hornblenda y opacos. Localmente tienen textura glomeroporfidica.

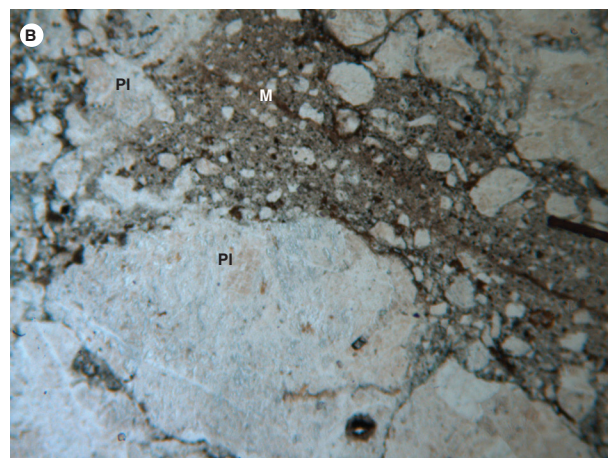
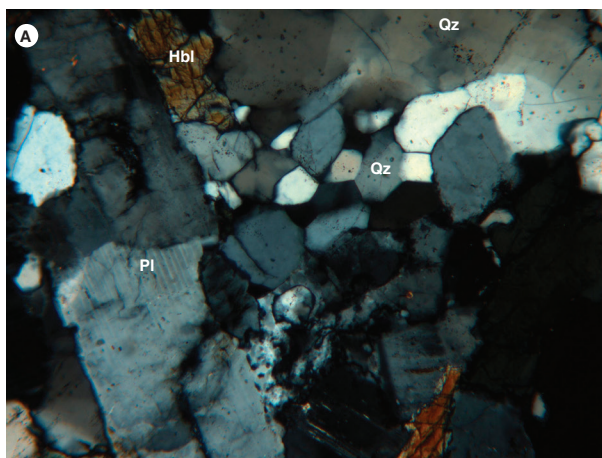


Figura 7. Aspecto microscópico de xenolitos dentro del Monzogranito de Rionegro. A) Textura granoblástica en granofels de cuarzo, feldespato y hornblenda, IGM-31178. B) Textura brechoide cataclástica (M: matriz), IGM-70839

Tabla 1. Composición modal de rocas de dique

IGM	W	N	Qtz	Pl	Kfs	Hbl	Bt	Ms	Chl	Op	Ap	Zrn	Ttn	Ep	Matriz	Fenocristales	Clasificación
11176	1115982	1302479	19,6	60,7					16	1,8			x				Andesita
31145	1095735	1372096	1,8	93,6					1,7	2,9	Tr		Tr				Andesita
31182	1083973	1354129	0,4	8,3									91,3				Andesita porfídica
11191	1109712	1307529	17,1	39,1	28			3,6				Tr	1,2	11			Andesita porfídica
72061	1100082	1341159		70		30			5								Basalto andesítico
74979	1093383	1396279	16	38	43				Tr		1						Cuarzolatita porfirítica
11175	1116182	1302679	39,5	34,9	16,3			3,5	4,5		1,4			x			Dacita
900998	1087836	1343412		47		35	10			4	1	Tr	3	x			Diorita
900975	1086454	1393647	2,0	56,3		34,4			1,3	6	Tr		Tr				Microdiorita
900986	1094480	1337675	5	5					50					40			Microdiorita
900906	1101270	1309253	38,6	30,6	30,8			Tr		Tr							Monzogranito
900953	1107525	1305963	23,8	26,5	41,9			6,1	x	x	1,2	0,5	Tr		x		Monzogranito
900969	1107549	1318415	39,1	24,5	35,8			0,7	Tr		Tr	Tr	Tr				Monzogranito
901010	1099016	1313299	34,5	28,1	35,3			1,1		1	Tr	Tr					Monzogranito
10871	1106762	1316699	31	33,1	35,3			0,6		Tr	Tr	Tr	Tr				Riolita
10978	1091977	1388082	33	28	38					Tr		Tr		1			Riolita
70862	1102317	1336679	43	30,5	24,5			2		x	Tr	Tr	Tr		50		Riolita
900951	1104858	1301287	28,2	20,2	43,3			4,6		x	2,2	1,5	Tr	Tr	x		Riolita porfídica
74705	1094783	1398239	15,9	5,1	18,7			0,3		x					60		Fenorriolita

Riolitas, dacitas y cuarzolatitas. Corresponden a los cuerpos de diques más comunes que atraviesan el Monzogranito de Rionegro. Están constituidas por una matriz de entre el 50 y el 75 %, y fenocristales entre el 25 y el 37 %.

La matriz presenta una textura granular fina xenomorfa, con tamaños de cristal de 0,05 a 0,2 mm. Está constituida por intercrecimientos entre cuarzo de aspecto limpio que contrasta en el relieve, con feldespato (microclina y ortosa), y en menor proporción, con plagioclasa. Interstitialmente se encuentran láminas de biotita y opacos. Se presentan abundantes texturas micrográficas y mirmequíticas; también es común la textura de reabsorción de la matriz en fenocristales de cuarzo y plagioclasa (figura 8).

Los fenocristales se componen de cuarzo en contenidos de 15,9 %, en cuarzolatitas, a 23 % en riolitas y dacitas. Este mineral se manifiesta como cristales xenomorfos a subidiomorfos bipiramidales con caras cristalinas rectas, incoloros, de aspecto limpio, con extinción recta, algunos, microfracturados. Presentan texturas de reabsorción de la matriz y exhiben cristales de cuarzo con formas de bahía. Generan texturas micrográficas con el feldespato, con tamaños de 0,4 a 2 mm.

La plagioclasa está en cantidades de hasta 5,1 % en cuarzolatitas, y hasta 37 % en riolitas. Corresponde a Andesina (An_{34}) en cristales subidiomorfos, tabulares, incoloros con color de interferencia gris del primer or-

den. Presentan fuerte alteración a sericita, saussurita y epidota hacia el centro de los cristales. Exhiben zonación de tipo normal, pocos cristales con maclas tipo Carlsbad. Hacia los bordes de los cristales se desarrollan texturas mirmequíticas como entrecrecimientos alargados con cuarzo. Tienen inclusiones de opacos, cuarzo, apatitos y biotita con tamaños de 0,6 a 7 mm.

El feldespato se presenta en contenidos de 16,3 y 43,3 %, tanto en fenocristales como en la matriz. Aparece en cristales xenomorfos, incoloros, frescos, y desarrolla maclas tipo Carlsbad y exsoluciones de plagioclasa, como pertitas en forma de hilillos, a mesoperítitas. Algunos cristales están pasando a microclina con maclas incompletas tipo parrilla, o se presentan cristales zonados de tamaños entre 0,3 y 2,7 mm. Este mineral puede tener inclusiones de cuarzo y biotita.

La biotita se presenta en cantidades de hasta 4,6 % en láminas subidiomorfas de color pardo, con pleocroísmo X: verde pálido, Y: pardo fuerte, y colores de interferencia azul a amarillo del segundo orden con extinción moteada, algunas alteradas a clorita de color verde oliva y epidotizadas. Presentan una dirección de clivaje paralelo al eje más largo del cristal, donde se hospedan agregados finos de titanita y opacos. Tiene inclusiones de círcón y apatitos en tamaños de 0,5 a 1,2 mm.

Los minerales accesorios están en contenidos menores a 2,2 %, siendo los minerales opacos los de mayor abundancia. Se presentan en cristales xenomorfos iso-

trópicos de tamaños de grano fino (0,01 mm) dispersos en la matriz; otros, de tamaños de 0,3 mm, con bordes rodeados por titanita, se encuentran junto a biotita. El círcón está en cristales idiomorfos prismáticos alargados y cortos, incoloros, de relieve alto, con birrefringencia fuerte del tercer orden, con colores de interferencia que van de fucsia a azul, y extinción paralela. Cristales microfracturados con tamaños de 0,1 mm se presentan en la matriz junto a opacos y como inclusiones en biotitas.

Cristales de apatito se encuentran en tamaños que varían de 0,05 a 0,1 mm haciendo parte de la matriz y como inclusiones en biotitas. Son incoloros subidiomorfos con color de interferencia gris del primer orden, relieve alto y extinción recta. La titanita aparece en agregados xenomorfos finos de color pardo, rodeando los opacos y las biotitas.

Se presenta epidota como producto de alteración de plagioclasa y biotita en cristales xenomorfos de tamaños entre 0,05 y 0,2 mm, de color verde pálido, colores de

interferencia entre amarillo y fucsia, del tercer orden. La allanita se manifiesta en cristales subidiomorfos tabulares de color pardo rojizo, fuertemente pleocroicos X: pardo rojizo, Y: pardo pálido, color de interferencia verde del tercer orden, y extinción recta. Su tamaño promedio es de 0,3 mm y presenta inclusiones de opacos y microfracturas.

Andesitas y microdioritas. Están compuestas por microcristales y microlitos de plagioclasa subidiomorfa, hornblenda en cristales subidiomorfos y cuarzo en cristales xenomorfos. En menor proporción, estos minerales aparecen en microfenocristales (figura 9). Presentan una matriz que varía entre el 50 y el 91,3% del total de la roca.

Los microcristales se componen de plagioclasa en un 5 y 93,6%, alterado a sericita-saussurita, que enmascaran las propiedades ópticas del mineral. Tienen tamaños menores de 0,5 mm y están en disposición entrecruzada con anfíbol y cuarzo intergranular.

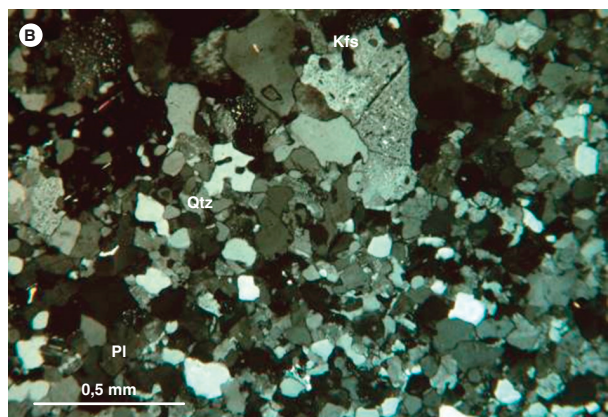
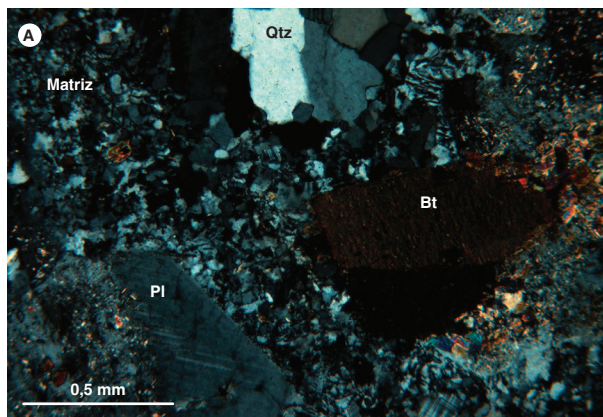


Figura 8. Diques de composición ácida en el Monzogranito de Rionegro. A) Riolita porfídica, IGM-900951. B) Dacita, IGM-11175

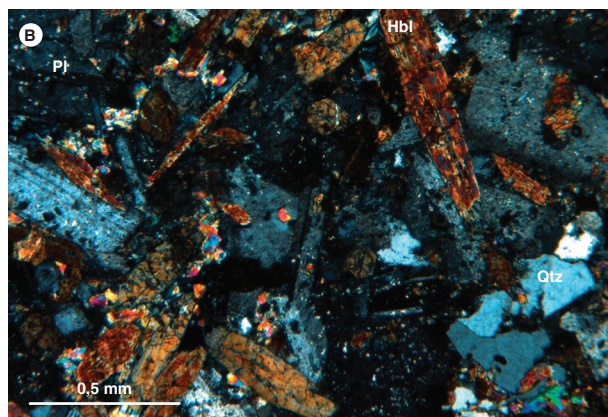
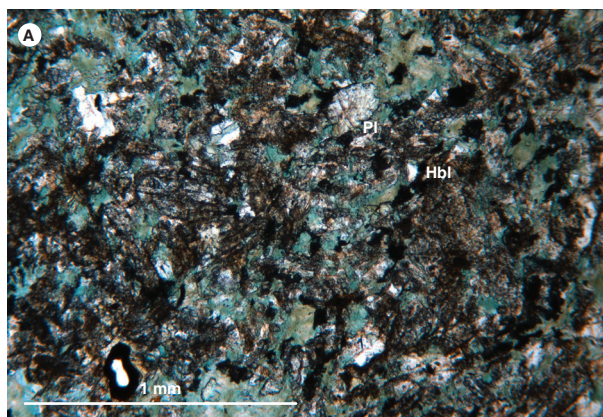


Figura 9. Diques básicos que atraviesan el Monzogranito de Rionegro. A) Microdiorita con alteración propilítica, IGM-900986. B) Microdiorita, IGM-900975

3. Química mineral

Los análisis de química mineral se llevaron a cabo en la microsonda electrónica de la Universidad Nacional de Colombia, sede Bogotá. El equipo usado es una microsonda JEOL JXA 8230, cuyas condiciones de operación fueron las siguientes: 1 a 10 μm de diámetro del haz, tiempo en el pico de 20 ms, intensidad de 20 nA y voltaje de aceleración de 15 kV. Los conteos del instrumento son convertidos a porcentajes de óxidos mediante comparaciones con conteos de estándares naturales y sintéticos. Los datos se han tratado mediante la corrección ZAF (Z: número atómico; A: absorción de masas; F: fluorescencia) utilizando el programa de JEOL. La adquisición de los datos consistió en obtener imágenes de electrones retrodispersados de los cristales seleccionados para el análisis y en realizar los análisis puntuales.

Se realizaron análisis de química mineral del Monzogranito de Rionegro en las rocas 900952

(MIA-648B)-granodiorita y 900969 (GR-6736)-monzogranito. En la muestra 900952 (MIA-648B) se analizaron cristales de plagioclasa, feldespato, biotita y pirita, mientras que en la roca 900969 (GR-6736) se midieron composiciones de plagioclasa, feldespato, biotita, ilmenita y magnetita.

3.1. Feldespato potásico

En las imágenes de electrones retrodispersados, los feldespatos de ambas muestras exhiben texturas pertíticas en formas de lamelas, mientras que los cristales de plagioclasa muestran superficies moderadamente alteradas a finas láminas de mayor luminiscencia (figura 10).

Al graficar los resultados de los análisis de feldespato (tabla 2), en el diagrama de Smith y Brown (1988) estos resultan ser ortosa (Or) en cantidades que varían entre 90,03 y 94,22% mol, que se clasificaría en el campo de la ortosa pertítica (figura 11) y en albita (Ab) entre 5,72 y 9,96%.

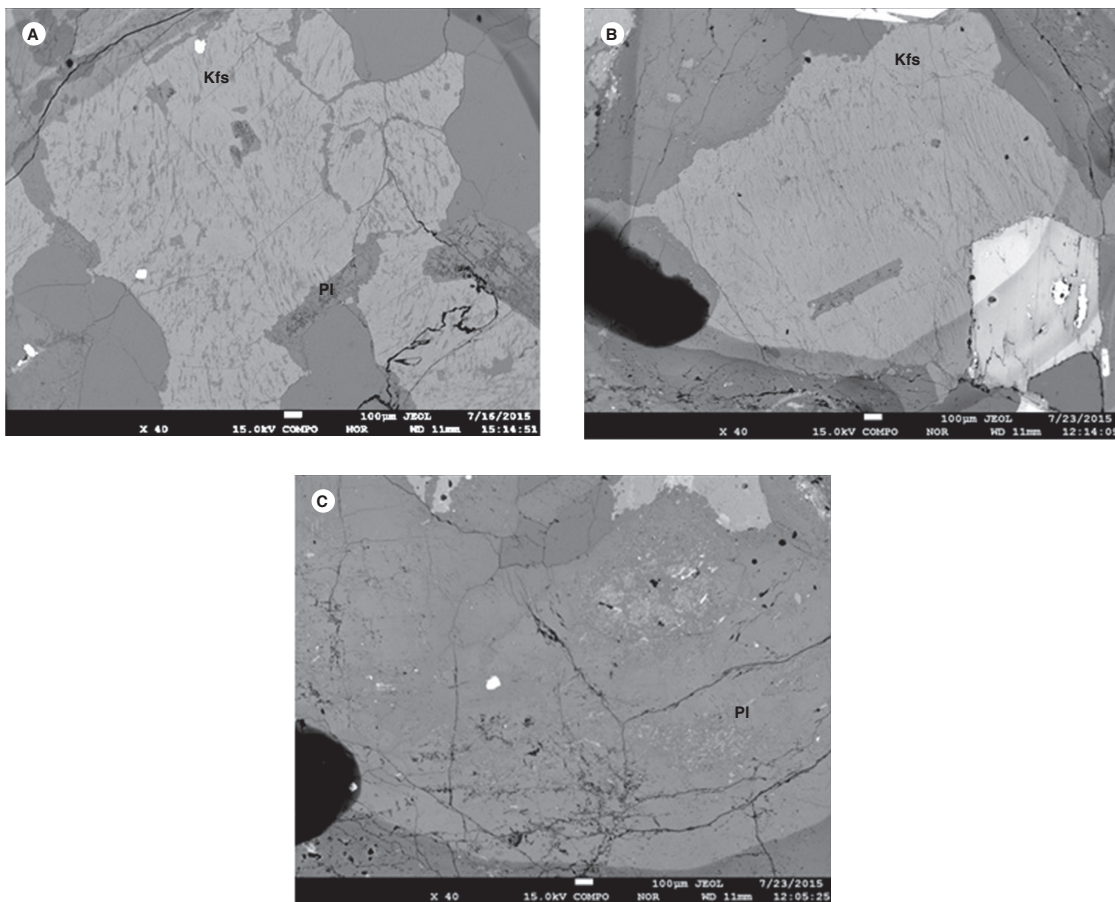


Figura 10. Imágenes de electrones secundarios retrodispersados (BSE) correspondientes a feldespato y plagioclasa. A) Feldespato potásico y plagioclasa en el campo de análisis C2 en la muestra GR-6736. B) Feldespato potásico en el campo de análisis C2 en la muestra MIA-648B. C) Plagioclasa en el campo C7 en la muestra MIA-648B

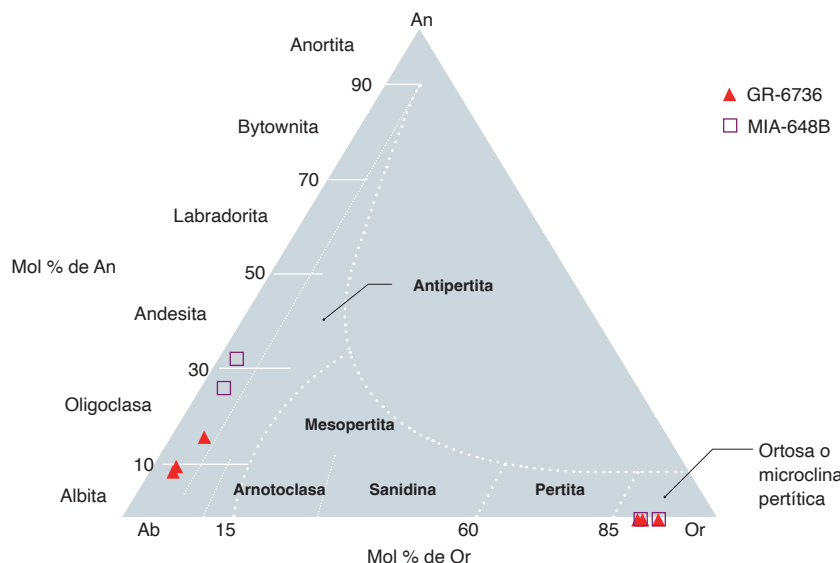


Figura 11. Análisis de microsonda electrónica correspondiente a las plagioclasas y los feldespatos del Monzogranito de Rionegro, graficados en el diagrama de Smith y Brown (1988)

Tabla 2. Análisis de microsonda electrónica correspondiente a las ortoclasas del Monzogranito de Rionegro

Punto analizado	GR-6736-C2-Kfs-1	GR-6736-C2-Kfs-2	GR-6736-C2-Kfs-3	GR-6736-C2-Kfs-4	MIA-648B-C2-Kfs-2	MIA-648B-C2-Kfs-3
SiO ₂	65,67	65,17	65,37	65,35	64,72	64,61
TiO ₂	0,01	0,02	0	0,01	0	0
Al ₂ O ₃	18,43	18,49	18,67	18,59	18,33	18,36
FeO	0,04	0,06	0,03	0,08	0,09	0,10
MgO	0	0	0	0	0	0
CaO	0	0,01	0,01	0	0	0
Na ₂ O	1,11	0,63	1,03	0,66	0,66	1,06
K ₂ O	15,20	15,76	15,30	15,80	16,00	15,17
Total (% masa)	100,46	100,13	100,41	100,48	99,79	99,29
Si	12,026	12,001	11,985	11,994	11,988	11,989
Al	3,977	4,012	4,034	4,021	4,002	4,015
Fe	0,002	0,003	0	0,001	0	0
Ti	0,004	0,006	0,003	0,008	0,009	0,011
Mg	0	0	0	0	0	0
Na	0,393	0,225	0,367	0,234	0,236	0,380
Ca	0,001	0,002	0,002	0	0	0
K	3,551	3,702	3,578	3,698	3,780	3,591
Total (cat)	19,953	19,951	19,969	19,956	20,015	19,984
O	32	32	32	32	32	32
Z	16,01	16,02	16,02	16,02	15,99	16,00
X	3,95	3,93	3,95	3,94	4,03	3,98
Or	90,03	94,22	90,65	94,05	94,12	90,44
Ab	9,96	5,72	9,29	5,95	5,88	9,56
An	0,01	0,05	0,06	0	0	0
Total	100	100	100	100	100	100

3.2. Plagioclasa

Se hicieron análisis puntuales (tabla 3) de los cristales de plagioclasa que evidenciaron una composición entre

albita (Ab 89,6-90,8, An 7,14-12,8, Or 1,21-1,27), oligoclasa (Ab 84,6, An 12,8, Or 2,53) y andesina (Ab 71,1-66,7, An 26,8-31,4, Or 2,0-1,75 (figura 11).

Tabla 3. Análisis de microsonda electrónica correspondiente a plagioclasmos del Monzogranito de Rionegro

Punto analizado	GR-6736-C2-PI-1	GR-6736-C2-PI-2	GR-6736-C2-PI-3	MIA-648B-C7-PI-1	MIA-648B-C7-PI-2
SiO ₂	65,63	64,73	65,99	61,37	59,55
TiO ₂	0,01	0,00	0,00	0,02	0,00
Al ₂ O ₃	21,06	21,53	20,57	23,72	24,54
FeO	0,04	0,05	0,06	0,19	0,23
MgO	0	0	0	0	0,01
CaO	2,03	2,83	1,77	5,65	6,77
Na ₂ O	11,01	10,32	11,24	8,28	7,95
K ₂ O	0,23	0,47	0,24	0,36	0,32
Total (% masa)	100,00	99,92	99,88	99,59	99,36
Si	11,569	11,450	11,644	10,961	10,715
Al	4,376	4,489	4,277	4,993	5,204
Ti	0,002	0	0	0,003	0
Fe	0,004	0,005	0,006	0,019	0,023
Mg	0	0	0,001	0	0,001
Na	3,762	3,539	3,846	2,867	2,772
Ca	0,383	0,536	0,335	1,081	1,306
K	0,051	0,106	0,054	0,082	0,073
Total (cat)	20,147	20,125	20,164	20,005	20,094
O	32	32	32	32	32
Z	15,95	15,94	15,92	15,96	15,92
X	4,20	4,19	4,24	4,05	4,17
Ab	89,65	84,64	90,81	71,14	66,79
An	9,14	12,83	7,92	26,81	31,46
Or	1,21	2,53	1,27	2,05	1,75
Total	100	100	100	100	100

3.3. Micas

En las imágenes BSE, las biotitas exhiben microfracturas que cortan el clivaje, inclusiones de opacos y áreas con tonalidades diferentes que indican cambios compositacionales (ejemplo: punto Bt4 MIA-648B-C3), lo que pone en evidencia variaciones en los contenidos de Si y Fe (figura 12).

En la roca MIA-648B-C3, las micas tienen concentraciones de SiO₂ (%) entre 36,20 y 37,76; FeO entre 16,59 y 17,92; Al₂O₃ entre 13,43 y 13,9, y MgO entre 12,46 y 13,72. La roca GR-6736-C3 tiene mayor canti-

dad de SiO₂ (%), entre 37,89 y 38,74; Al₂O₃ entre 13,59 y 14,15, y MgO entre 14,18 y 15,57, y presenta valores menores de FeO: 14,38 a 14,83. En el diagrama de Rieder(1998) se observa una dispersión entre estas dos rocas (figura 13, tabla 4). Las micas de la muestra MIA-648B-C3 clasifican en el campo de biotita, mientras que las micas de la muestra GR-6736-C3 se distribuyen hacia el límite biotita-flogopita. Ambos conjuntos de micas se agrupan en suites de magmas calcoalcalinos orogénicos (Abdel Rahman, 1994).

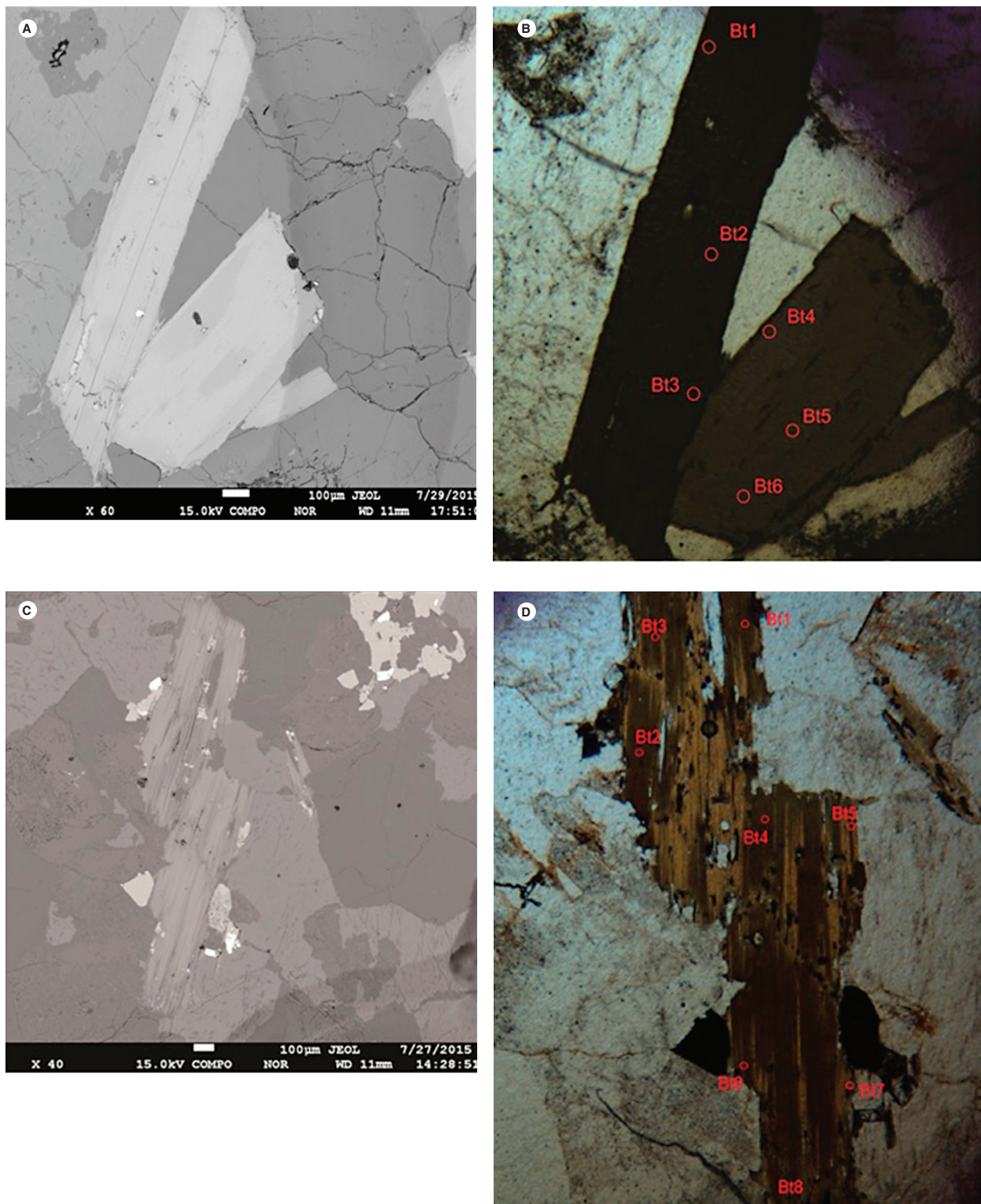
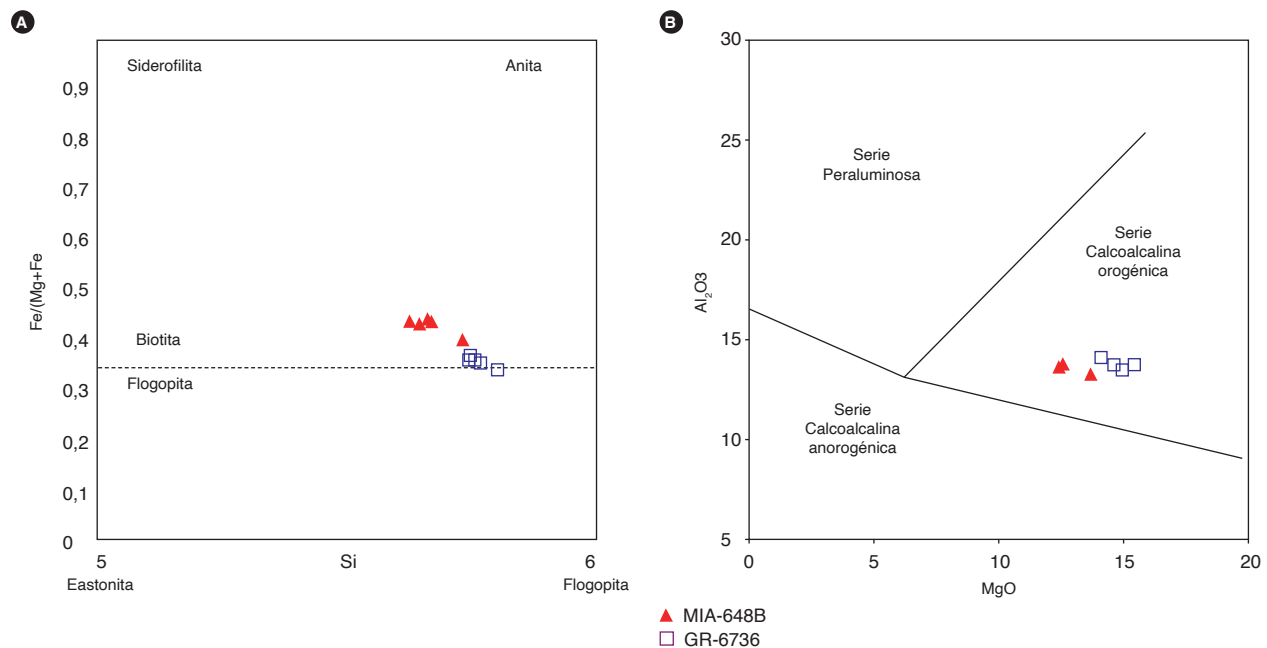


Figura 12. Imágenes de electrones secundarios retrodispersados (BSE) correspondientes a biotita e imágenes equivalentes obtenidas en microscopio petrográfico. A) Imagen BSE de biotita, muestra MIA-648B-C3. B) Puntos analizados de biotita en la roca MIA-648B, campo 3. Imagen obtenida en microscopio petrográfico con nícoles paralelos. C) Imagen BSE de biotita, muestra GR-6736-C3. D) Puntos analizados de biotita en la roca GR-6736, campo 3. Imagen obtenida en microscopio petrográfico con nícoles paralelos

Tabla 4. Composición química de micas en las rocas 900952 (GR-6736) y 900969 (MIA-648B)

Punto analizado	MIA-648B-C3-Bt-1	MIA-648B-C3-Bt-2	MIA-648B-C3-Bt-3	MIA-648B-C3-Bt-4	MIA-648B-C3-Bt-5	MIA-648B-C3-Bt-6	GR-6736-C3-Bt-1	GR-6736-C3-Bt-2	GR-6736-C3-Bt-4	GR-6736-C3-Bt-6	GR-6736-C3-Bt-7
SiO ₂	36,21	36,97	36,94	37,76	36,26	36,61	38,74	37,90	37,96	37,93	37,94
TiO ₂	3,14	3,08	3,12	2,80	3,20	3,00	1,82	2,21	1,99	2,42	2,17
Al ₂ O ₃	13,75	13,88	13,88	13,47	13,82	13,98	13,85	13,85	13,60	14,16	14,03
FeO	17,74	17,56	17,93	16,59	17,44	17,38	14,38	14,73	14,66	14,83	14,73
MgO	12,47	12,61	12,52	13,72	12,56	12,64	15,58	14,70	15,06	14,19	14,69
MnO	0,74	0,72	0,71	0,67	0,67	0,79	0,65	0,80	0,73	0,80	0,70
CaO	0,00	0,00	0,00	0,00	0,00	0,00	0,00	0,02	0,00	0,00	0,00
Na ₂ O	0,13	0,15	0,13	0,16	0,16	0,17	0,13	0,25	0,26	0,27	0,21
K ₂ O	9,23	9,41	9,38	9,82	9,35	9,43	9,60	9,64	9,57	9,40	9,19
Total	93,40	94,35	94,62	94,99	93,47	94,00	94,75	94,09	93,82	93,98	93,67
Fórmula basada en 22 O											
Si	5,629	5,674	5,665	5,735	5,627	5,646	5,808	5,753	5,774	5,755	5,763
AlIV	2,371	2,326	2,335	2,265	2,373	2,354	2,192	2,247	2,226	2,245	2,237
AlVI	0,148	0,185	0,175	0,145	0,155	0,186	0,255	0,231	0,212	0,286	0,274
Ti	0,367	0,355	0,360	0,320	0,373	0,347	0,205	0,253	0,227	0,276	0,248
Mg	2,890	2,885	2,862	3,107	2,906	2,905	3,482	3,326	3,416	3,209	3,328
Fe ²⁺	2,307	2,253	2,299	2,107	2,263	2,242	1,803	1,870	1,865	1,882	1,871
Mn	0,097	0,094	0,092	0,086	0,089	0,103	0,082	0,103	0,094	0,102	0,090
Ca	0,000	0,000	0,000	0,000	0,000	0,000	0,001	0,003	0,000	0,000	0,000
Na	0,040	0,043	0,039	0,046	0,048	0,050	0,037	0,075	0,077	0,079	0,063
K	1,830	1,842	1,836	1,902	1,851	1,856	1,835	1,867	1,857	1,819	1,781
Total	15,680	15,658	15,663	15,713	15,685	15,689	15,700	15,726	15,747	15,653	15,655
Fe/(Fe+Mg)	0,444	0,439	0,445	0,404	0,438	0,436	0,341	0,360	0,353	0,370	0,360

Figura 13. Diagramas de clasificación correspondientes a micas del Monzogranito de Rionegro. A) Diagrama Rieder *et al.* (1998). B) Diagrama Abdel Rahman (1994)

3.4. Opacos

El mineral opaco más abundante en las rocas MIA-648B y GR-6736 es la magnetita (tabla 5, figura 14.), con valores altos en Fe_2O_3 entre 53,46 y 54,18%, y FeO entre 48,12 y 48,76%, y concentraciones menores de MnO entre 0,02 y 0,10%, TiO_2 que alcanza hasta el 0,10% y Al_2O_3 hasta un 0,06%. Las magnetitas son de color gris, luminiscentes, y presentan superficies homogéneas de aspecto liso.

La muestra GR-6736 tiene ilmenita, que se presenta con superficies porosas e irregulares, tiene altos contenidos de TiO_2 (entre 45,92 y 47,46%), FeO entre 30,79 y 31,70%, Fe_2O_3 entre 11,41 y 14,16% y MnO entre 10,34

y 10,85%. Presenta bajos contenidos de MgO (entre 0,02 y 0,04%) tabla 6.

La roca MIA-648B presenta pirita en cristales de forma anhedral diseminados en la roca. La pirita se encuentra asociada a bordes de magnetita e inclusiones finas de calcopirita. En la tabla 7 se muestran los elementos analizados en estos minerales. El azufre (S) y el hierro (Fe) tienen concentraciones mayores en las piritas (entre 53,13 y 53,18%, y entre 45,93 y 46,06%, respectivamente), mientras que la calcopirita tiene mayor concentración de cobre (Cu), en 31,78%, y valores más bajos de hierro (Fe) (32,47%) y azufre (S) (34,22%).

Tabla 5. Composición química de magnetita en las rocas 900952 (GR-6736) y 900969 (MIA-648B)

Punto analizado	GR-6736-C1-Mt-1	GR-6736-C4-Mt-1	GR-6736-C4-Mt-2	GR-6736-C4-Mt-3	MIA-648B-C5-Mt-1	MIA-648B-C5-Mt-2
SiO_2	0,00	0,02	0,00	0,00	0,00	0,00
TiO_2	0,02	0,03	0,03	0,10	0,00	0,00
Al_2O_3	0,03	0,06	0,01	0,01	0,00	0,02
Cr_2O_3	0,01	0,03	0,04	0,01	0,01	0,00
Fe_2O_3	54,18	53,49	53,77	53,46	53,77	53,61
FeO	48,76	48,12	48,40	48,16	48,31	48,15
MnO	0,03	0,07	0,02	0,05	0,07	0,10
MgO	0,00	0,01	0,00	0,00	0,01	0,00
ZnO	0,00	0,00	0,00	0,00	0,00	0,00
CaO	0,00	0,00	0,00	0,00	0,00	0,00
V_2O_3	0,00	0,00	0,00	0,00	0,00	0,00
NiO	0,00	0,00	0,00	0,00	0,00	0,00
Total	103,02	101,83	102,27	101,79	102,18	101,89
Fórmula basada en 32 O						
Si	0,000	0,007	0,001	0,000	0,000	0,000
Ti	0,004	0,007	0,007	0,021	0,000	0,000
Al	0,009	0,020	0,002	0,005	0,001	0,007
Cr	0,003	0,007	0,009	0,002	0,003	0,001
V	0,000	0,000	0,000	0,000	0,000	0,000
Fe^{3+}	11,990	11,973	11,986	11,975	11,998	11,996
Fe^{2+}	11,988	11,967	11,989	11,985	11,977	11,971
Mg	0,000	0,003	0,000	0,000	0,003	0,000
Mn	0,006	0,016	0,006	0,012	0,019	0,025
Zn	0,000	0,000	0,000	0,000	0,000	0,000
Ca	0,000	0,000	0,000	0,000	0,000	0,000
Ni	0,000	0,000	0,000	0,000	0,000	0,000
Total	24,000	24,000	24,000	24,000	24,000	24,000
$\text{Mg}/(\text{Mg}+\text{Fe}^{2+})$	0,000	0,000	0,000	0,000	0,000	0,000
$\text{Cr}/(\text{Cr}+\text{Al})$	0,251	0,264	0,836	0,265	0,787	0,091
$\text{Fe}^{2+}/(\text{Fe}^{2+}\text{Mg})$	1,000	1,000	1,000	1,000	1,000	1,000

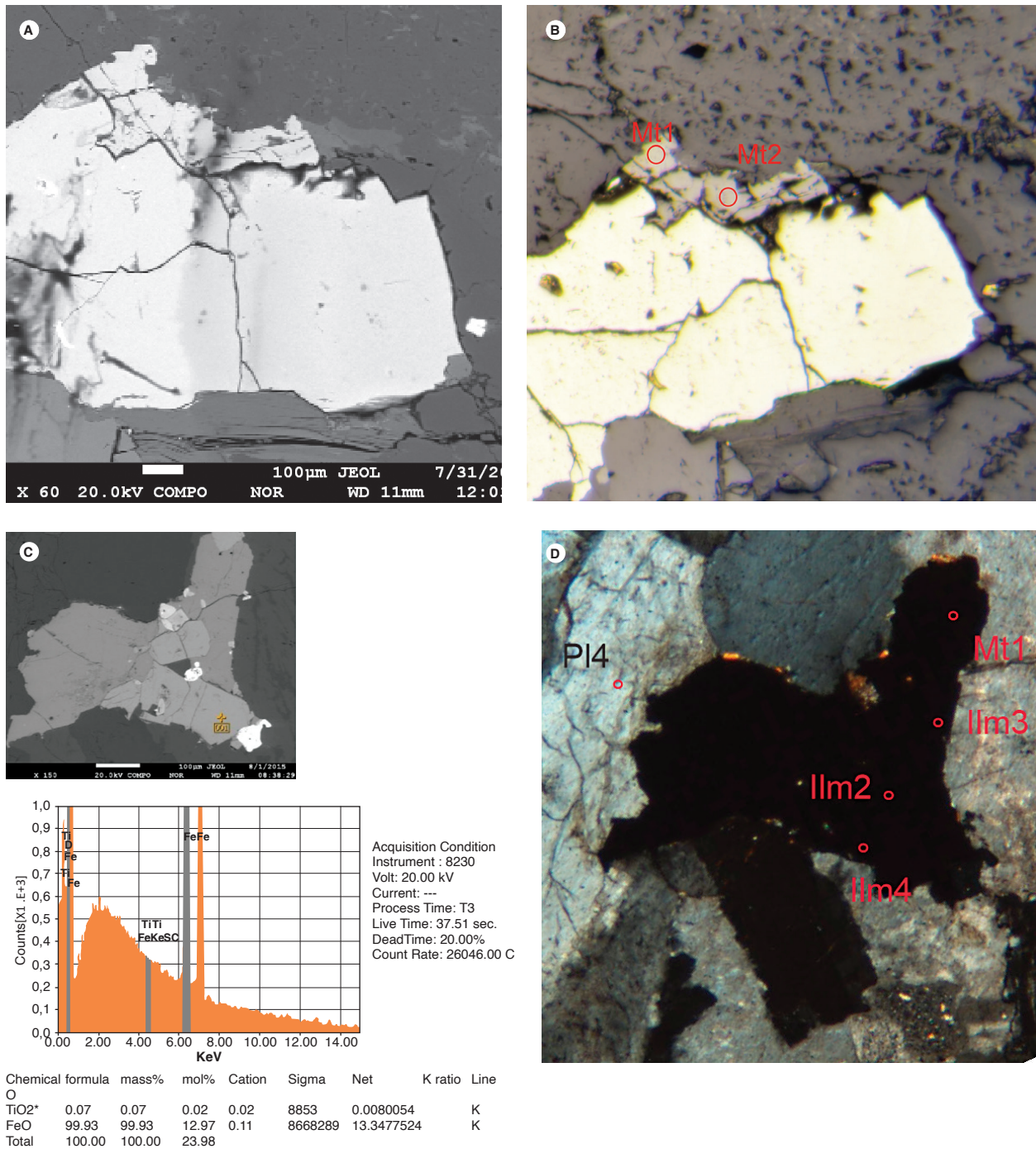


Figura 14. Imágenes de electrones secundarios retrodispersados (BSE) e imágenes de magnetita obtenidas en microscopio petrográfico. A) Imagen BSE del campo C5 de la roca MIA-648B. B) Puntos de análisis de magnetita en el C5 en MIA-648B. Imagen petrográfica de luz reflejada. C) EDS en C1 de la roca GR-6736, que arroja valores de magnetita. D) Minerales opacos en campo de análisis C1 en GR-6736. Imagen obtenida en microscopio petrográfico, nícoles cruzados

Tabla 6. Composición química de ilmenita en la roca 900952 (GR-6736)

Punto Analizado	GR-6736-C1-IIm-2	GR-6736-C1-IIm-3	GR-6736-C1-IIm-4
TiO ₂	45,9,	47,46	46,85
SiO ₂			
Fe ₂ O ₃	14,16	11,41	1,3
Cr ₂ O ₃	0,00		0,01
Al ₂ O ₃			0,0,
V ₂ O ₃			
FeO	30,79	31,70	31,33
MnO	10,34	10,85	10,60
MgO	0,0,	0,00	0,04
CaO	0,00	0,00	0,00
Total	101,4	101,43	101,08
Cationes calculados a partir de 6 O			
Ti	1,733	1,785	1,768
Si	0,000	0,000	0,000
Fe ³⁺	0,535	0,429	0,46
Cr	0,000	0,000	0,000
Al	0,000	0,000	0,001
V	0,000	0,000	0,000
Fe ²⁺	1,9	1,326	1,315
Mg	0,00	0,000	0,003
Mn	0,439	0,460	0,451
Ca	0,000	0,000	0,000

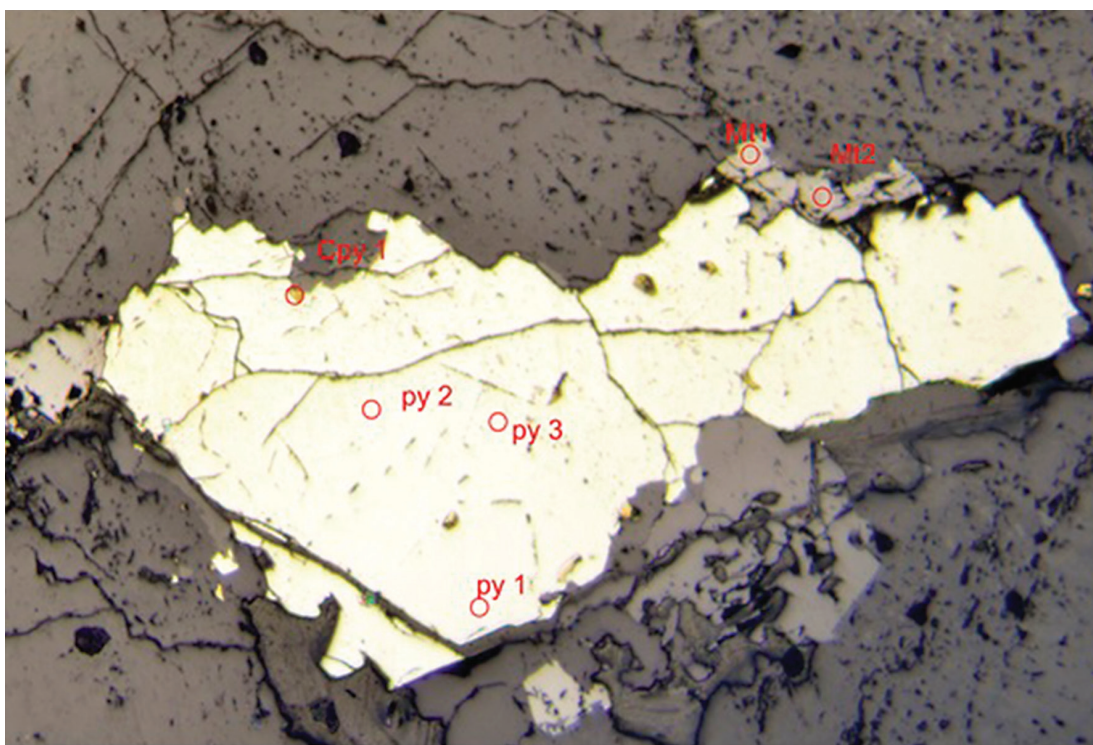


Figura 15. Imágenes de electrones secundarios retrodispersados (BSE) correspondientes a pirita y calcopirita. Pirita (Py) con inclusiones de calcopirita (Cpy) rodeada de magnetita (Mt), roca MIA-648B

Tabla 7. Composición química de calcopirita y pirita en la roca 900969 (MIA-648B)

Punto Analizado	MIA-648B-C5-CPy-1	MIA-648B-C5-Py-2	MIA-648B-C5-Py-4
Zn	0,05	0,00	0,01
As	0,02	0,02	
S	34,22	53,13	53,18
Fe	32,47	46,06	45,93
Co	0,07	0,08	0,07
Ni			
Sb			0,01
Cu	31,78		
Total	98,61	99,29	99,20
Zn	0,0385	0,0017	0,0084
As	0,0097	0,0126	
S	49,6225	66,7298	66,8198
Fe	27,0243	33,2046	33,1232
Co	0,0555	0,0514	0,0464
Ni			
Sb			0,0023
Cu	23,2494		
Total	99,9614	99,9984	99,9917

4. Litogegeoquímica

Se realizaron once análisis geoquímicos de rocas intrusivas correspondientes a las litologías monzogranítica y granodiorítica, y diez análisis de rocas de diques ácidos y básicos, cuyos resultados se muestran en las tablas 8 y 9. Los valores de óxidos mayores se presentan en porcentaje en peso (wt %), mientras que los elementos traza se presentan en partes por millón (ppm). Se utilizaron las técnicas de fluorescencia de rayos X para cuantificar óxidos mayores y los elementos traza Mo, V, Nb, Ta, W, Zr y Hf mediante un equipo marca Panalytical AXIOS Mineral para análisis elemental, configurado con software especializado para materiales geológicos. La cuantificación de los óxidos mayores se realizó en muestra fundida con metaborato y tetraborato de litio, y la cuantificación de elementos menores se realizó en muestra prensada.

Para el ploteo e interpretación de los óxidos mayores se realizó la corrección de los valores de volátiles (pérdidas por ignición-LOI).

Para el análisis de elementos traza de interés geoquímico en rocas se usó un espectrómetro de masas con plasma inductivamente acoplado, ICP-MS, Perkin Elmer Nexion. Para la disolución de la muestra se realizó un ataque por pasos utilizando ácidos inorgánicos fuertes (HF, HNO₃, HClO₄ y HCl). El proceso se realizó en sistema abierto, empleando distintas rampas de temperatura y tiempos de calentamiento. La mayoría de los diagramas geoquímicos se generaron con el uso del GCDKit version 4.0 (Janoušek *et al.*, 2006).

Van der Lelij (2013) presenta una caracterización litogegeoquímica de algunos cuerpos ígneos del Macizo de Santander y de los Andes de Mérida, en Venezuela. Entre ellos hay un análisis del cuerpo Batolito de Ocaña (10VDL54) y otro del Batolito de Rionegro (10VDL59). Estos dos análisis, junto con un grupo de rocas colectadas en este estudio, se retoman con el fin de identificar sus firmas geoquímicas y examinar si existe relación entre estos dos cuerpos, como se plantea a partir de las similitudes petrográficas.

Tabla 8. Datos de óxidos mayores del Monzogranito de Rionegro

IGM	SiO ₂	TiO ₂	Al ₂ O ₃	Fe ₂ O ₃	MgO	CaO	Na ₂ O	K ₂ O	P ₂ O ₅	MnO	FeO	LOI
Rocas graníticas												
900997	51,52	2,06	16,80	9,57	4,59	7,48	3,94	1,43	0,441	0,146	4,93	1,81
900999	58,77	1,36	16,28	5,76	3,46	6,43	3,97	2,66	0,255	0,093	3,28	0,87
900954	60,99	0,91	18,51	5,07	1,71	4,28	3,71	3,38	0,325	0,100		0,67
900949	62,83	0,82	17,65	4,74	1,48	4,16	4,09	2,75	0,244	0,114	2,44	0,74
10VD659*	64,1	0,7	17,6	4,2	1,3	3,8	4,0	3,0	0,2	0,101		0,7
900952	64,59	0,78	17,05	4,15	1,19	3,50	4,24	3,29	0,211	0,113		0,62
900950	66,73	0,56	16,49	3,73	1,13	3,44	3,93	3,03	0,176	0,090		0,37
900985	68,93	0,47	16,01	2,88	1,60	1,28	7,16	0,26	0,159	0,081	1,47	1,16
900973	71,62	0,34	13,81	2,08	0,71	2,55	3,83	3,36	0,092	0,070	0,91	1,42
900990	71,65	0,32	14,34	2,44	0,68	2,58	3,42	3,28	0,101	0,087	1,00	0,91
900971	72,67	0,32	13,49	1,93	0,54	1,29	2,93	5,15	0,112	0,059	0,90	1,41
900974	76,09	0,14	13,20	0,90	0,17	0,81	3,31	4,78	0,037	0,049	0,22	0,47
10VDL54*	76,9	0,1	12,9	0,7	0,1	0,3	3,5	4,8	0,0	0,040		0,5
Rocas de dique												
900998	50,51	1,79	17,32	9,18	5,63	8,62	3,59	1,33	0,33	0,13	5,54	1,39
900975	51,77	1,57	16,62	9,12	4,95	8,00	3,98	1,02	0,55	0,15	4,28	2,09
900986	52,46	0,98	16,61	9,76	5,45	8,25	2,29	0,36	0,21	0,23	3,76	3,17
900906	71,10	0,11	16,76	0,71	0,06	0,23	4,58	5,16		0,02		0,35
900951	74,96	0,23	13,44	1,34	0,28	1,30	3,30	4,48	0,05	0,04		0,39
MIA-646A	76,42	0,10	13,11	0,62	< 0,10	0,87	2,86	5,64	0,04	0,03		0,30
900969	76,79	0,14	12,85	0,78	< 0,10	0,54	3,06	5,27	< 0,024	0,03	0,21	0,48
900953	76,90	0,13	12,75	0,73	< 0,10	0,80	2,57	5,14	< 0,024	0,04		0,69
901011	77,42	0,06	12,71	0,71	< 0,10	0,72	3,29	4,68	< 0,024	0,044	< 0,13	0,31
901010	77,47	0,07	12,87	0,67	< 0,10	0,62	3,65	4,35	< 0,024	0,02	< 0,13	0,21

Fuente: *Van Der Lelij (2013) y este trabajo.

4.1. Óxidos mayores

Las rocas graníticas tienen un carácter intermedio a acido con rangos de SiO₂ entre 61,61 %, en una granodiorita (IGM 900954), y 77,34% en un granito alcalino (10VDL54). En general, las rocas presentan valores de Na₂O entre 2,94 y 4,24% sin mayores cambios con el aumento de SiO₂. Únicamente la muestra 900985 tiene un valor anormalmente alto: 7,16%; el K₂O varía entre 1,43 y 5,18%, y aumenta con el contenido de SiO₂ con un valor extremadamente bajo en la muestra 900985: 0,26% (figura 16).

CaO, Fe₂O₃, MgO, MnO, Al₂O₃, TiO₂, Zr y Ba disminuyen con el aumento de SiO₂, como se muestra en la tabla 8 y la figura 16. El CaO varía entre 0,34%, en las rocas más ácidas, y 7,48% en las intermedias; el MgO varía entre 0,08 y 1,72 %; el Al₂O₃ se presenta entre 13,01 y 18,70%; hay valores menores de TiO₂ (entre 0,11 y 0,92 %), y Fe₂O₃ entre 0,69 y 5,12 %, siendo mayor en las rocas granodioríticas.

Las rocas IGM 900997 e IGM 900999 muestran una composición mineralógica y geoquímica que difiere de la constitución promedio de la facies granodiorítica del

Monzogranito de Rionegro. Ambas rocas se localizan en el sector occidental del plutón donde se evidencian intrusiones del Monzogranito de Rionegro en un cuerpo cuarzomonzodiorítico. Las diferencias en contenidos modales y en el comportamiento químico sugieren que estas rocas representan a la unidad de cuarzomonzodiorita adyacente. Las muestras corresponden a rocas básicas con contenidos de SiO₂ de 50,06 y 57,43%, respectivamente, Na₂O de 3,8% en ambas rocas y bajos contenidos de K₂O, de 1,39 y 2,6%. El MgO está en contenidos de 4,46 a 3,38%, TiO₂ de 2,08 a 1,37%, Al₂O₃ de 16,3 a 15,9%; por otra parte, tienen valores de CaO altos: de 7,26 a 6,28%; asimismo, el Fe₂O₃ es alto, pues se presenta en contenidos de 9,29 a 5,62%.

Las rocas de diques básicos tienen cantidades de SiO₂ entre 48,58 y 52,27%, clasificadas petrográficamente como microdioritas (IGM 900998, 900975 y 900986), con cantidades de Na₂O entre 2,28 y 3,90%, K₂O entre 0,36 y 1,28%, y MgO entre 4,85 y 5,43%. Los diques de composición ácida (monzogranitos, riolitas) tienen valores de SiO₂ entre 72,02 y 77,70%, Na₂O entre 2,59 y 4,63%, K₂O entre 4,36 y 5,66%, y valores bajos de MgO: 0,28%.

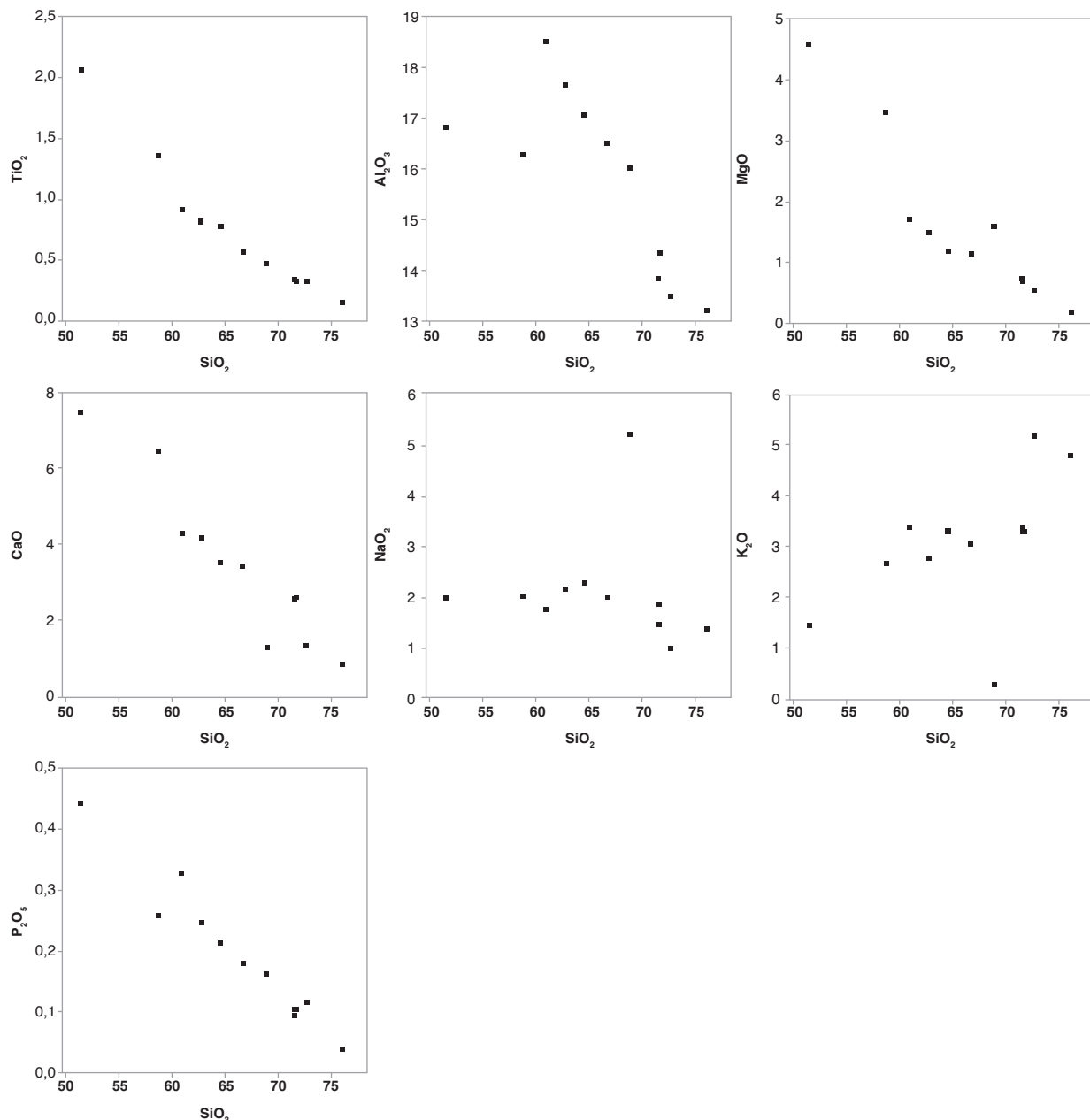


Figura 16. Diagramas de variación de Harker correspondientes a rocas graníticas del Monzógranito de Rionegro

En el diagrama de TAS (figura 17) las rocas se localizan en las series de cuarzomonzodiorita a granodiorita en las facies granodioríticas, y en el campo de granitos en la facies clasificada petrográficamente como monzogranitos. Las rocas IGM 900997 e IGM 900999 muestran una composición de monzodioritas y cuarzomonzodiorita concordante con la clasificación petrográfica. Los diques ácidos se localizan en el campo de riolitas, y los

diques básicos hacia los campos de basaltos y basaltos andesíticos.

El Monzógranito de Rionegro muestra dispersión en cuanto a los contenidos de K_2O vs. SiO_2 (figura 18). Las rocas granodioríticas presentan menor contenido de sílice y se apartan de las rocas monzograníticas; sin embargo, todas las rocas tienen afinidad en las series calcoalcalina alta en K. La roca IGM 900985, clasificada como monzo-

granito, muestra una baja concentración de K_2O (0,26% wt), que posiblemente corresponde a un error analítico.

Las rocas de dique se diferencian entre las muestras básicas con bajos contenidos de sílice y se dispersan en-

tre las series calcoalcalinas altas en K, calcoalcalinas y toleíticas. Por su parte, los diques de sienogranitos, monzogranitos y riolitas se agrupan en las series calcoalcalinas altas en K.

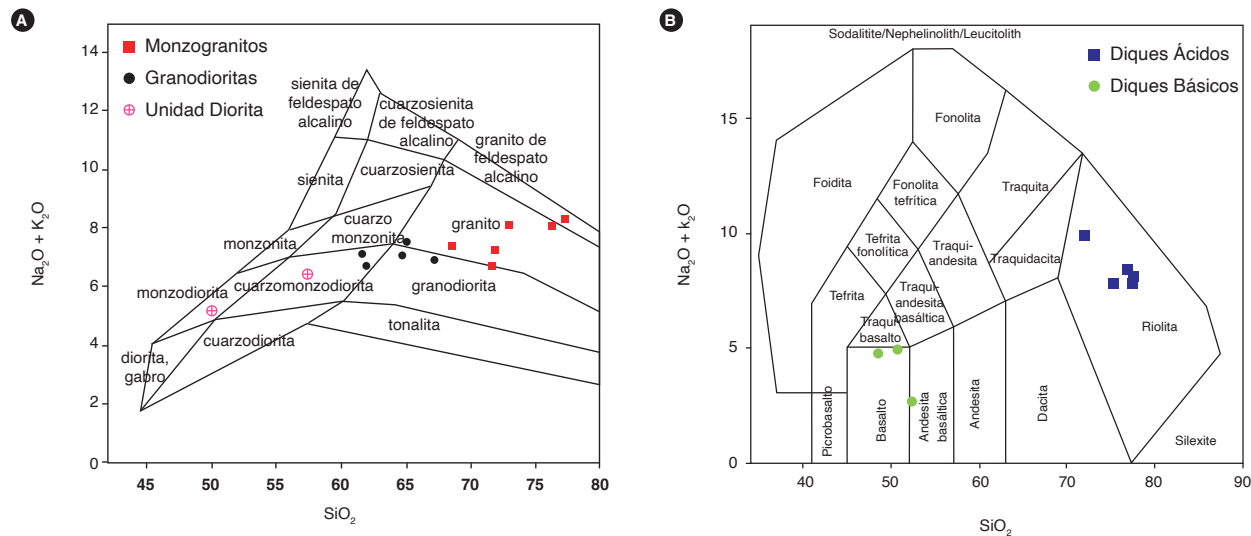


Figura 17. A) Diagramas TAS (Middlemost, 1985) correspondientes a rocas graníticas. B) TAS (Middlemost, 1994) correspondiente a rocas de dique

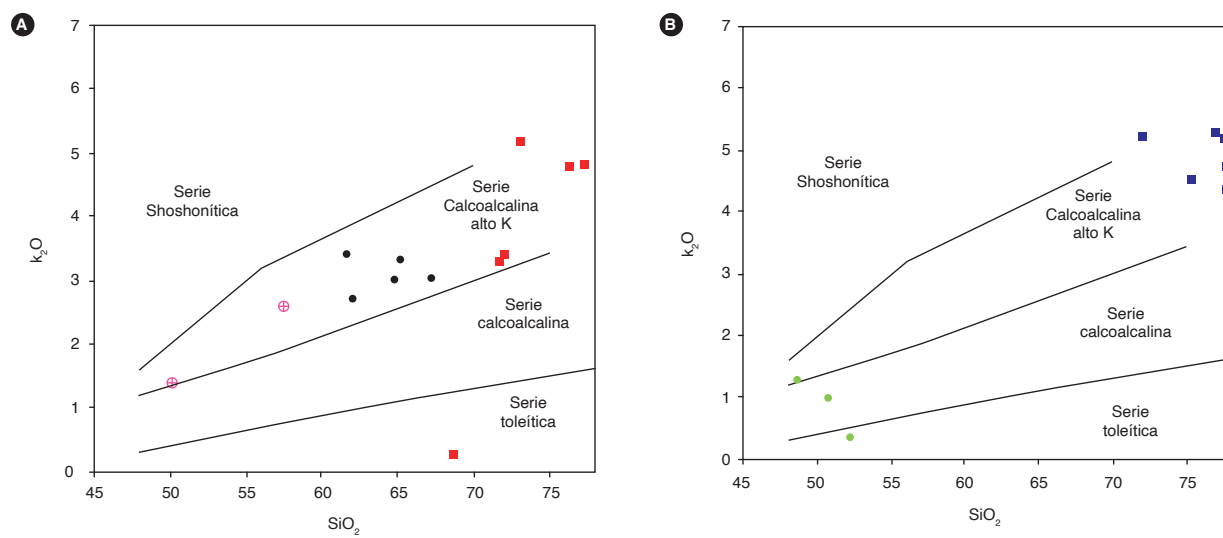


Figura 18. Diagrama de Peccerillo y Taylor (1976) correspondiente a rocas graníticas (A) y rocas de dique (B)
Los símbolos deben interpretarse igual que en la figura 17

Varios cuerpos ígneos del Macizo de Santander muestran un comportamiento metaluminoso a peraluminoso, con mayor afinidad hacia el campo peraluminoso. Van der Lelij (2013) sugiere que esta firma en las rocas posiblemente refleje el tipo de fuente del cual se derivó el magma de estos cuerpos intrusivos (magmas derivados de fuentes sedimentarias o de fuentes ígneas). Las variaciones de Na_2O con respecto a K_2O muestran el tipo de granito asociado (tipo S o tipo I). Las rocas del Monzogranito de Rionegro exhiben una tendencia hacia

el campo peraluminoso (figura 19) con contenidos molares de A/CNK entre 1,009 y 1,115, excepto en la roca IGM 900973, que tiene A/CNK < 1 (0,948) y las dos rocas asociadas a la unidad de cuarzomonzodiorita.

Los diques básicos (IGM 900986, 900998 y 900975) se ubican en el campo metaluminoso con proporciones molares de A/CNK entre 0,74 y 0,86, mientras que las rocas de diques ácidos se ubican en el campo peraluminoso con relaciones molares de A/CNK entre 1,05 y 1,23 (figura 20).

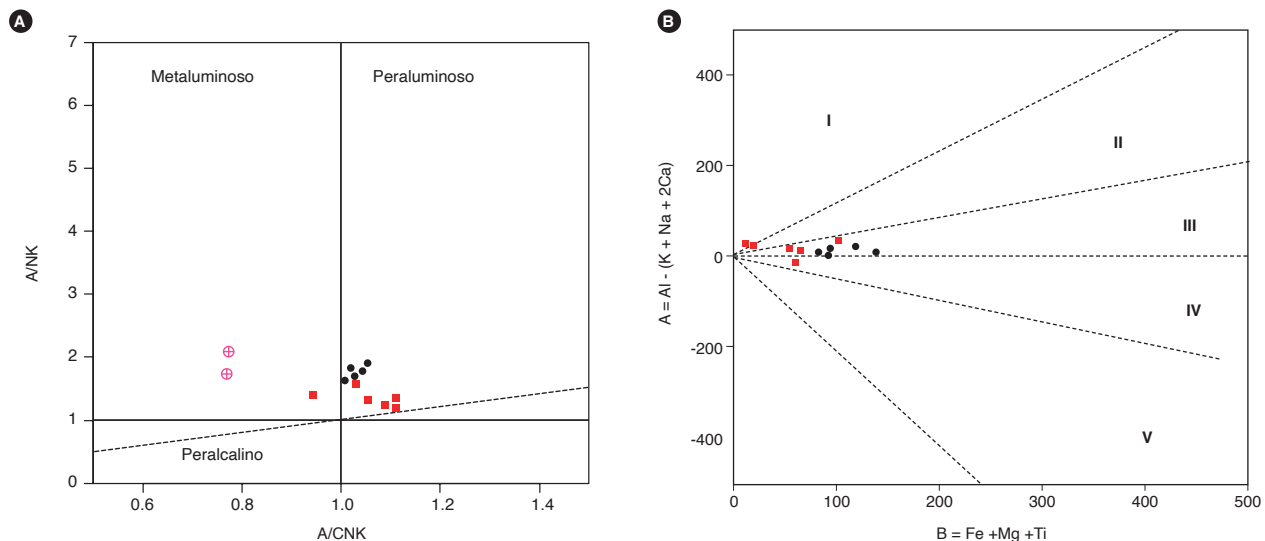


Figura 19. Diagramas de clasificación correspondientes a rocas graníticas del Monzogranito de Rionegro. A) Diagrama de Shand (1943). B) Diagrama de Debon y Le Fort (1983). La interpretación de los símbolos puede consultarse en la figura 17

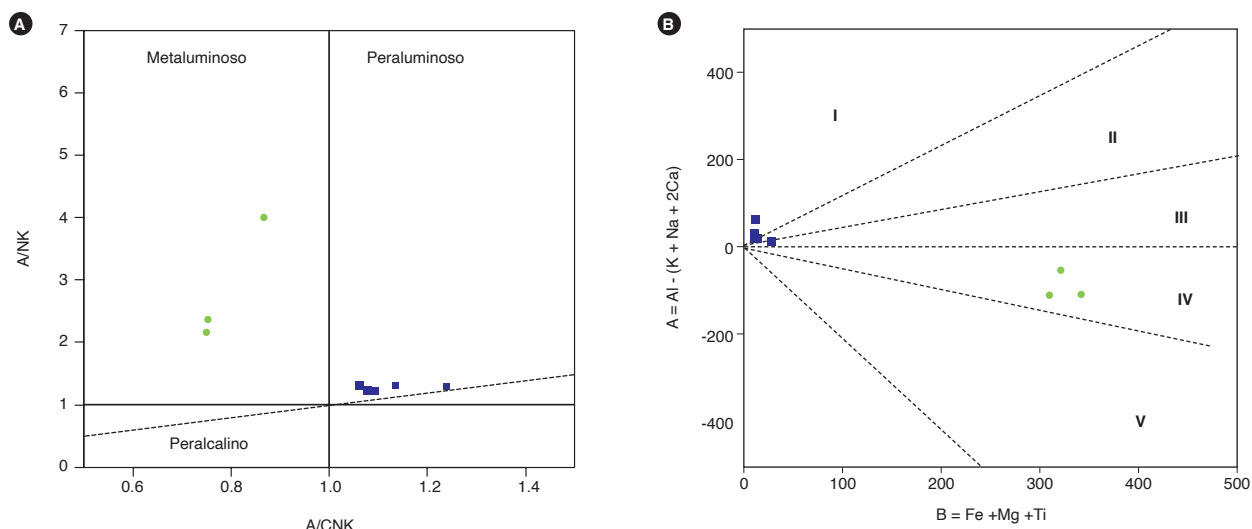


Figura 20. Diagramas de clasificación correspondientes a rocas diques del Monzogranito de Rionegro. A) Diagrama de Shand (1943). B) Diagrama de Debon y Le Fort (1983). La interpretación de los símbolos puede consultarse en la figura 17

4.2. Elementos traza y tierras raras

Los contenidos de elementos traza y tierras raras del Monzogranito de Rionegro se presentan en la tabla 9, y los de rocas de diques en la tabla 10.

Hay una clara diferenciación entre las facies granodiorita y monzogranito respecto a la relación de $(\text{La}/\text{Yb})_{\text{N}}$: valores entre 12,29 y 25,11 para las rocas clasificadas como granodioritas (IGM 900954, 900949, 900952, 900950 y 10VDL59), mientras que en los monzogranitos estas relaciones son menores, entre 7,57 y 11,9 (IGM 900971, 900973, 900974, 900985 y 900990). Las rocas que corresponden a la unidad cuarzomonzodiorita (IGM 900997 y 900999), en la cual intruye el Monzogranito de Rionegro, exhiben relaciones $(\text{La}/\text{Yb})_{\text{N}}$ entre 5,25 y 5,38. Por su parte, la roca reinterpretada 10VDL54 (Van der Lelij, 2013) del Batolito de Ocaña, muestra una relación $(\text{La}/\text{Yb})_{\text{N}}$ de 3,46.

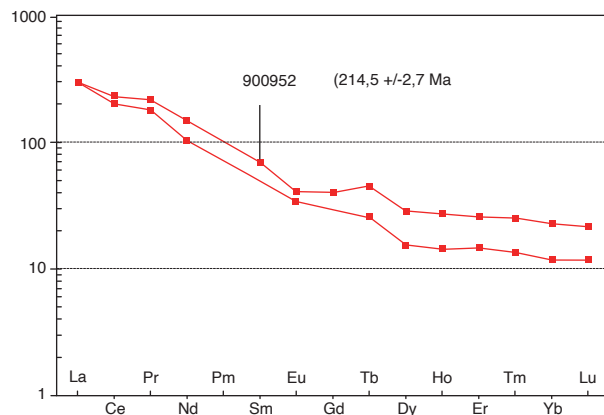
En las rocas de diques no se observa una diferenciación en lo que respecta al tipo de roca (ácido o básico) y la relación $(\text{La}/\text{Yb})_{\text{N}}$. Los monzogranitos y riolitas tienen valores entre 4,29 y 27,07, mientras que los diques microdioríticos y andesíticos muestran valores entre 5,96 y 8,99.

En los diagramas normalizados a condrito (Nakamura, 1974 y McDonough y Sun, 1995) (figura 21), las rocas del Monzogranito de Rionegro exhiben un enriquecimiento general en LREE (desde La a Sm) con distinción entre los trenes de las granodioritas y los monzogranitos (figura 22).

Las granodioritas (10VDL59, 900949, 900954, 900952 y 900950) presentan valores de hasta quinientas veces el valor del condrito y valores de Eu/Eu^* entre 0,66 y 1,091.

Aunque desde las LREE hasta las HREE hay variaciones graduales en el contenido de las tierras raras, con entrecruzamientos en los trenes, se evidencian dos patrones con respecto al valor de La_{N} . Las rocas 10VDL59, 900949 y 900954 tienen valores altos de La_{N} (entre 508,94 y 549,78) y se localizan hacia los bordes del cuerpo, mientras que las rocas 900952 y 900950 presentan valores de La_{N} de 409,54 y 411,66 y se localizan en el interior de la unidad, con una diferencia de edad de cristalización marcada.

A



B

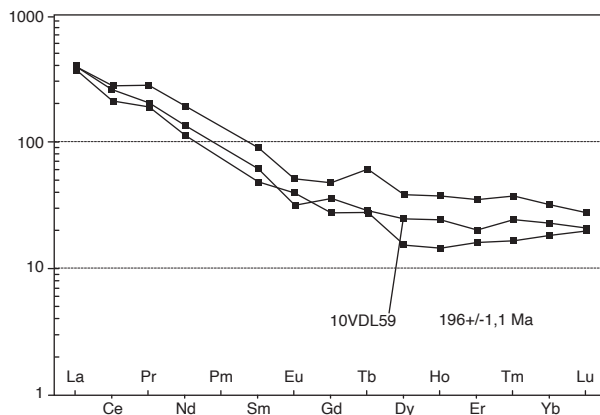


Figura 21. Diagrama REE correspondiente a rocas granodioríticas normalizado con respecto a la composición del condrito (Nakamura, 1974). La interpretación de los símbolos puede consultarse en la figura 17

Tabla 9. Concentraciones de elementos traza y tierras raras del Monzogranito de Rionegro

IGM	900997	900999	900954	900949	10VDL59	900952	900950	900985	900973	900990	900971	900974	10VDL54
Li	12	5,1	45	8,3		18	22	17	4,3	12	10	6,9	
Be	2,1	2,3	3,2	2,2	2,9	2,6	2,0	1,1	1,9	2,0	2,7	3,1	4,4
Sc	29	23	20	13	8,3	17	9,5	6,4	5,4	6,0	6,9	5,1	5,9
V	201	118	67	56	57	38	42	22	25	25	20	10	2,0
Cr	64	56	12	4,2	5,0	8,0	7,8	3,5	3,8	2,5	4,3	1,4	6,0
Mn	1161	734	**	**	**	**	626	541	673	451	380		
Co	33	26	19	20	6,1	15	17	16	13	20	16	13	0,5
Ni	42	32	12	9,3	5,6	6,0	6,0	6,6	13	3,0	17	1,7	3,0
Cu	38	29	23	13	6,8	10	10	6,8	30	5,2	7,8	4,6	3,7
Zn	100	58	93	96	77,0	84	65	53	40	56	43	21	17,0
Ga	22	17	26	27	23,7	22	20	15	15	16	16	15	16,5
As	2,1	1,4	3,8	4,6	2,5	3,9	3,4	1,1	1,6	1,2	1,6	1,4	2,0
Rb	24	29	168	104	66,1	113	93	10	98	97	206	220	174,0
Sr	521	455	564	493	448,2	404	383	188	227	269	173	86	25,5
Y	31	18			43,6			24	19	19	21	18	32,8
Cd	0,17	0,13	0,092	0,082		0,095	<0,08	<0,08	0,086	0,082	0,15	<0,08	
In	0,080	0,049	0,074	0,050		0,057	0,035	0,020	0,015	0,017	0,015	0,018	
Cs	0,32	0,26	4,0	1,3	1,1	1,1	1,7	0,09	0,34	0,42	2,5	1,6	0,9
Ba	420	335	2329	2693	1986,3	1979	2523	55	1074	1150	848	518	216,9
La	24	13	121	127	130,3	98	97	25	35	32	29	21	20,9
Ce	55	25	180	238	220,1	199	173	51	65	61	59	46	40,8
Pr	7,4	3,5	21	31	22,6	24	20	5,9	7,3	6,7	6,6	5,6	4,7
Nd	28	14	70	120	84,1	93	65	19	24	21	21	19	18,5
Sm	6,5	3,2	9,6	18		14	9,3	3,9	4,3	4,1	4,2	4,2	4,3
Eu	2,0	1,2	3,0	3,9	2,4	3,1	2,6	1,00	1,2	1,3	1,1	0,67	0,4
Gd	6,1	3,1	7,5	13	9,9	11	7,5	4,5	4,2	4,1	3,9	3,8	3,8
Tb	1,0	0,54	1,3	2,8	1,3	2,1	1,2	0,73	0,60	0,58	0,62	0,57	0,8
Dy	5,8	3,1	5,2	13	8,4	9,7	5,3	4,2	3,2	3,0	3,3	3,1	5,0
Ho	1,2	0,63	1,0	2,6	1,7	1,9	1,0	0,89	0,67	0,63	0,72	0,60	1,2
Er	3,4	1,9	3,6	7,8	4,5	5,8	3,3	2,6	2,1	1,9	2,2	1,8	3,4
Tm	0,47	0,26	0,49	1,10	0,7	0,75	0,40	0,34	0,30	0,27	0,33	0,27	0,6
Yb	3,1	1,7	4,0	7,0	5,0	5,0	2,6	2,1	2,1	1,8	2,2	1,9	4,1
Lu	0,45	0,26	0,67	0,93	0,7	0,73	0,40	0,29	0,31	0,27	0,33	0,29	0,6
Tl	0,044	0,029	0,87	0,58		0,61	0,50	0,048	0,53	0,52	1,3	1,2	
Pb	6,4	6,3	13	11	7,9	12	10	4,1	9,5	9,9	39	20	23,6
Bi	<0,05	<0,05	0,16	<0,05	0,1	<0,05	<0,05	<0,05	<0,05	<0,05	0,23	0,50	0,1
Th	2,0	3,7	7,2	13	12,1	15	13	9,1	10	8,4	16	15	14,5
U	0,50	1,3	2,2	0,94	1,4	2,1	1,2	1,4	1,4	2,3	4,6	3,8	3,8
Zr	276	147	488	491	463,8	452	328	196	147	161	145	70	60,2
Nb	18	14	16	20	15,1	20	15	13	14	13	17	20	21,1
W	11	14	28	48	0,9	33	39	38	44	72	70	58	0,6

Tabla 10. Concentraciones de elementos traza y tierras raras en rocas de dique

IGM	900998	900975	900986	900906	900951	MIA-646A	900969	900953	901011	901010
Li	25	8,2	7,88	0,94	16	18	7,6	7,9	2,9	1,3
Be	1,5	2,1	2,65	2,0	1,6	1,3	2,1	3,8	4,2	3,8
Sc	25	2,1	5,84	4,3	28	24	6,1	5,4	3,6	6,6
V	180	11	6,27	7,6	198	184	10	9,5	6,1	3,5
Cr	138	6,5	2,43	1,6	99	103	3,5	5,4	2,4	0,76
Mn	1793	287	339,10	200	1048	1153		225	171	183
Co	28	12	14	22	34	26	16	10	11	9,0
Ni	111	3,7	1,9	1,635	63	45	3,8	3,7	1,1	1,2
Cu	11	4,1	3,3	2,3	44	29	5,2	5,7	4,6	4,8
Zn	134	15	18	15	91	87	27	109	11	6,9
Ga	23	15	15	14	20	19	17	16	16	15
As	2,1	0,91	0,53	1,2	1,5	2,0	1,8	1,4	0,74	1,2
Rb	15	158	176	237	20	20	131	273	195	237
Sr	887	213	66	85	501	436	173	67	19	36
Y	21		11		21	28		21	12	
Cd	0,17	< 0,08	< 0,08	< 0,08	0,15	0,15	< 0,08	0,20	< 0,08	0,19
In	0,076	0,010	0,025	0,011	0,064	0,071	0,012	0,0057	0,012	0,050
Cs	0,16	1,7	2,0	1,2	0,31	0,26	0,68	2,8	2,1	3,3
Ba	149	2300	242	457	389	392	2051	231	40	142
La	19	27	15	23	18	34	34	27	11	12
Ce	43	39	23	45	39	74	68	48	22	22
Pr	5,9	3,3	2,8	5,3	5,0	9,8	8,0	8,0	2,9	2,7
Nd	23	7,7	8,7	18	19	39	28	27	11	7,7
Sm	5,4	1,0	1,4	4,1	4,5	7,9	5,3	6,6	2,0	1,5
Eu	1,6	1,5	0,38	0,7	1,6	2,3	1,8	0,68	0,32	0,17
Gd	5,3	1,1	1,4	3,052	4,3	7,4	4,0	5,5	1,8	1,2
Tb	0,81	0,16	0,20	0,71	0,70	1,1	0,80	0,77	0,28	0,23
Dy	4,2	0,65	1,2	3,9	4,0	5,6	3,8	3,9	1,5	1,3
Ho	0,84	0,15	0,27	0,79	0,81	1,1	0,78	0,74	0,33	0,35
Er	2,3	0,54	0,99	2,5	2,3	3,2	2,3	2,3	1,1	1,3
Tm	0,28	0,08	0,17	0,34	0,31	0,42	0,31	0,32	0,18	0,24
Yb	1,7	0,67	1,4	2,2	2,1	2,6	2,1	2,2	1,4	1,8
Lu	0,22	0,14	0,25	0,34	0,30	0,37	0,32	0,34	0,24	0,33
Tl	0,13	0,88	0,86	0,9	0,028	0,13	0,67	1,4	0,92	1,7
Pb	7,4	13	24	25	4,7	5,1	14	28	27	17
Bi	0,15	< 0,05	< 0,05	< 0,05	< 0,05	< 0,05	< 0,05	< 0,05	< 0,05	0,10
Th	0,62	13	14	14	1,8	1,5	15	24	23	25
U	0,47	2,0	3,4	3,1	0,42	1,8	2,0	7,6	3,1	4,6
Zr	151	75	59	64	178	287	123	71	34	69
Nb	6	6	13	6	12	16	15	22	18	22
W	21	39	58	81	9	15	60	48	43	35

Los monzogranitos (900971, 900985, 900990, 900973, 900974 y 10VDL54) muestran valores de hasta cien veces el condrito y valores de Eu/Eu* entre 0,51 y 0,97, que ponen en evidencia una anomalía negativa de Eu más fuerte que en las rocas granodioríticas, posiblemente como producto de la cristalización de plagioclasa (Winter, 2014).

De acuerdo con los valores de La_N, se distinguen dos patrones; sin embargo, las signaturas entre ellos tienden a ser paralelas hacia los HREE y no se observa diferenciación en la distribución geográfica dentro de la uni-

dad. Las rocas 900973, 900990 y 900971 tienen La_N entre 123,97 y 149,51, mientras que las rocas 900985 y 900974 presentan menores valores de La_N (104,72 y 89,96, respectivamente) y mayor anomalía negativa de Eu (figura 22), que podría estar relacionada con la cristalización fraccionada de plagioclasa. La roca 10VDL54 presenta una anomalía negativa del Eu aún más marcada, y en el comportamiento de los HREE se aparta del resto de las rocas, pues muestra mayores contenidos en un patrón plano.

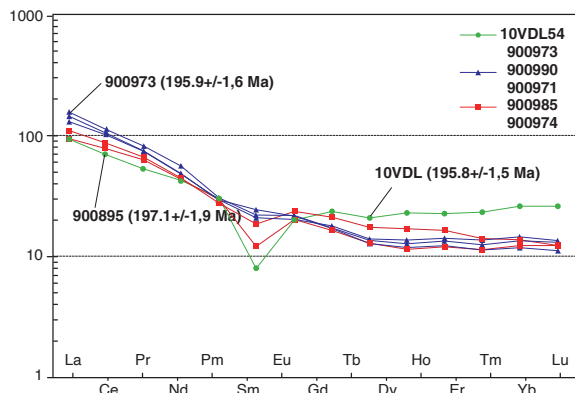


Figura 22. Diagrama REE correspondiente a rocas de la facies monzograníticas normalizado a condrito (McDonough y Sun, 1995)

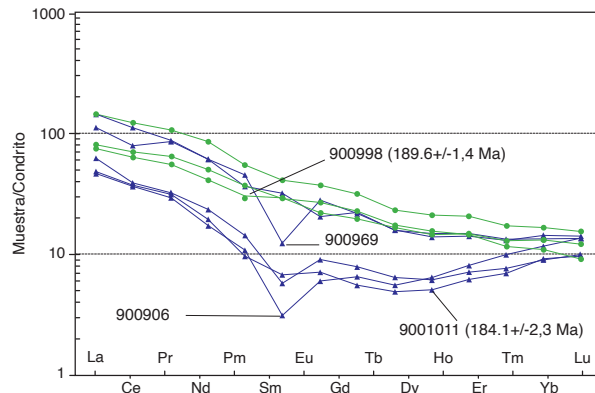


Figura 23. Diagrama REE correspondiente a rocas de diques normalizado a condrito. En verde, diques de composición andesítica-microdiorítica, y en azul, diques de composición granítica y riolítica.

Fuente: McDonough y Sun (1995) y este trabajo

En el diagrama de REE, las rocas de diques muestran al menos dos patrones (figura 23, patrones en verde y azul), con valores del condrito de ochenta a más de cien veces mayores en las rocas de la composición básica (andesitas y microdioritas). Con una edad asociada de 189,6 ± 1,4 Ma, las rocas se comportan paralelas entre ellas, y decaen progresivamente hacia la HREE, donde se cruza el patrón de las rocas ácidas. La roca 900969 exhibe una anomalía negativa en Eu.

Los diques de monzogranitos y riolitas muestran valores menores de ochenta veces el condrito; hacia las MREE tienen un comportamiento cóncavo, al tiempo que aumenta la concentración de HREE, posiblemente por la ausencia de anfíbol y la presencia de granate residual. La roca 900906 presenta anomalía negativa en Eu asociada a la cristalización de plagioclasa (Winter, 2014).

En los diagramas multielementales (o arañagramas) normalizados con respecto a los NMORB (Sun y McDonough, 1989) se presentan los patrones comparativos de las granodioritas y los monzogranitos (figura 24 A y B) del Monzogranito de Rionegro. En general, ambas fa-

cies muestran enriquecimientos en las LILE (Cs, Rb, Ba) y empobrecimientos hacia las HFSE (Ti, P), valores altos de Ba, K y Pb y anomalías negativas de P, Ti y Nb, asociadas con la insolubilidad de estos elementos ante fluidos hidratados que migran por la placa subducente (Best, 2003).

Las rocas monzograníticas muestran mayor dispersión en los elementos más móviles (Cs, Rb, Ba). Se observa que la roca IGM 900985 se aleja del patrón común de estas rocas, pues presenta valores bajos de los LILE y no exhibe un enriquecimiento en K.

Los diques de composición ácida (monzogranitos y riolitas) tienen valores mayores de cien veces el condrito, y anomalía negativa de Ba, salvo la roca 900951, que muestra concentraciones menores de Cs y Rb. Hay fuertes anomalías negativas de Nb, La, Ce, Sr y Ti y concentraciones mayores de Th, U, K y Pb (figura 25).

Por su parte, los diques de andesitas y microdioritas (en verde) tienen valores menores de cien veces el condrito, muestran ligeros empobrecimientos en Th, Nb, La, Ce y un tren continuo decreciente hacia las HREE (figura 25).

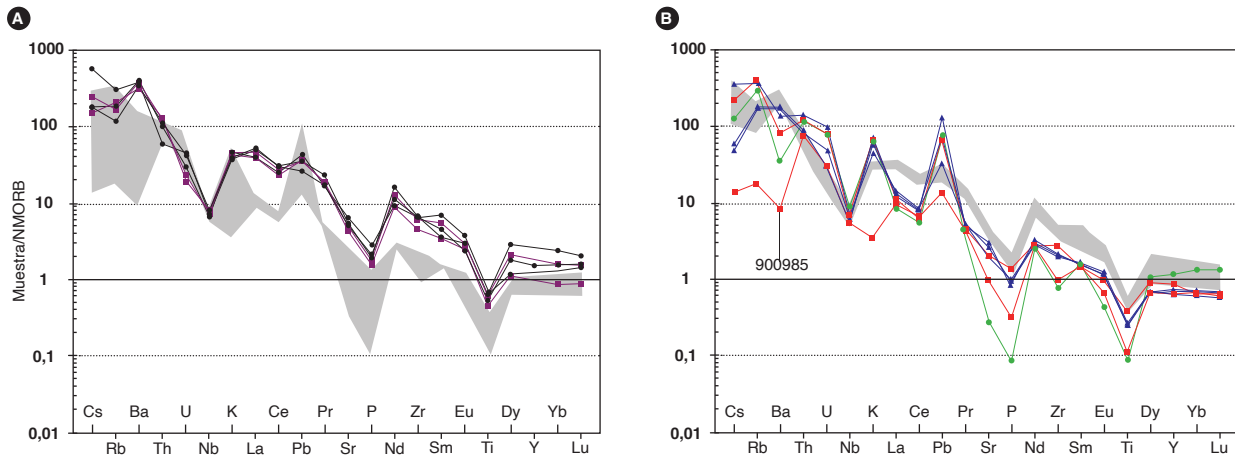


Figura 24. Diagramas multielementales (o arañagramas) normalizados con respecto a los NMORB (Sun y McDonough, 1989) correspondientes a rocas del Monzogranito de Rionegro. A) Rocas granodioríticas; en gris, patrón comparativo de las rocas monzograníticas. B) Rocas monzograníticas y tren comparativo, en gris, de las rocas granodioríticas

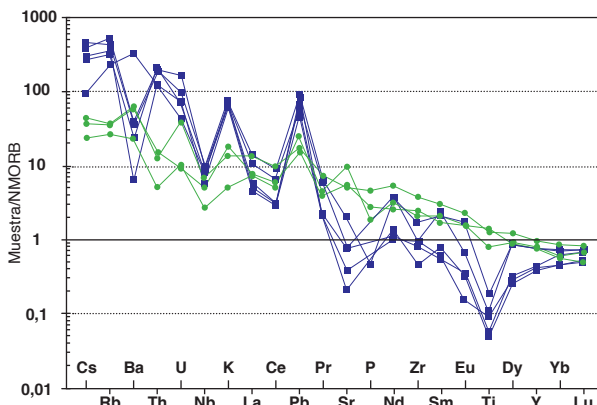


Figura 25. Diagrama NMORB correspondiente a rocas de dique del Monzogranito de Rionegro

4.3. Discriminación de ambiente tectónico

En los diagramas de Pearce (2008) y Harris *et al.* (1986) (figura 26), las rocas y diques se proyectan en el ambiente de arcos volcánicos. Las rocas graníticas y diques ácidos se concentran en un tren paralelo por encima de la zona MORB-OIB, en el campo asociado a zonas de subducción relacionadas con márgenes continentales. Cerca de la zona MORB-OIB se localizan rocas de diques básicos. La variación de patrones en las facies granodiorítica y monzogranítica y en los diferentes diques sugiere una posible generación de varios pulsos que en conjunto tienen una firma geoquímica predominantemente calcoalcalina alta en K.

En los diagramas de Whalen *et al.* (1987) (figura 27A) y Chappell y White (1974) (figura 27B) las rocas se agrupan en los campos de magmas de tipo I. En el diagrama de Frost *et al.* (2001) (figura 27C) las muestras se localizan en el límite entre los grupos de magmas magnesianos y ferrosos; sin embargo, hay mayor afinidad del Monzogranito de Rionegro con los magmas de tipo magnesiano. Este tipo de magmas presentan una composición general calcoalcalina entre el rango de rocas tonalitas-granodioritas-granitos, entre las series metá-luminosa y peraluminosa, están asociados a arcos y ambientes de poscolisión y se relacionan con un origen derivado de la fusión parcial de la corteza continental bajo condiciones oxidantes (Frost y Frost, 2008).

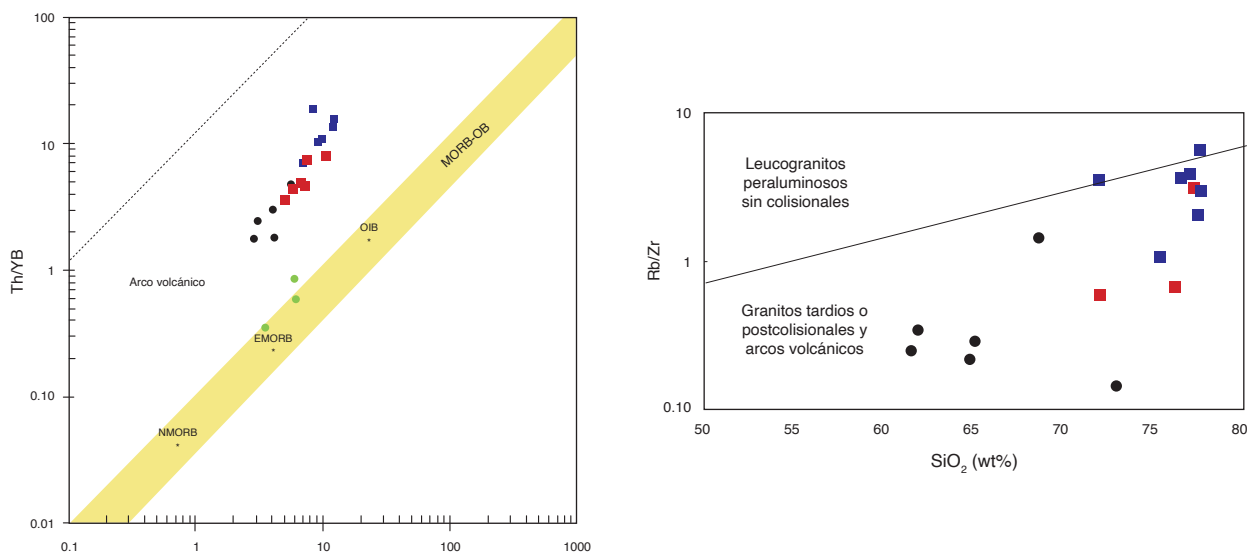


Figura 26. Discriminación de ambiente geotectónico correspondiente al Monzogranito de Rionegro. Símbolos como en la figura 17. A) Diagrama de discriminación tectónica de Pearce (2008). B) Diagrama de Harris *et al.* (1986)

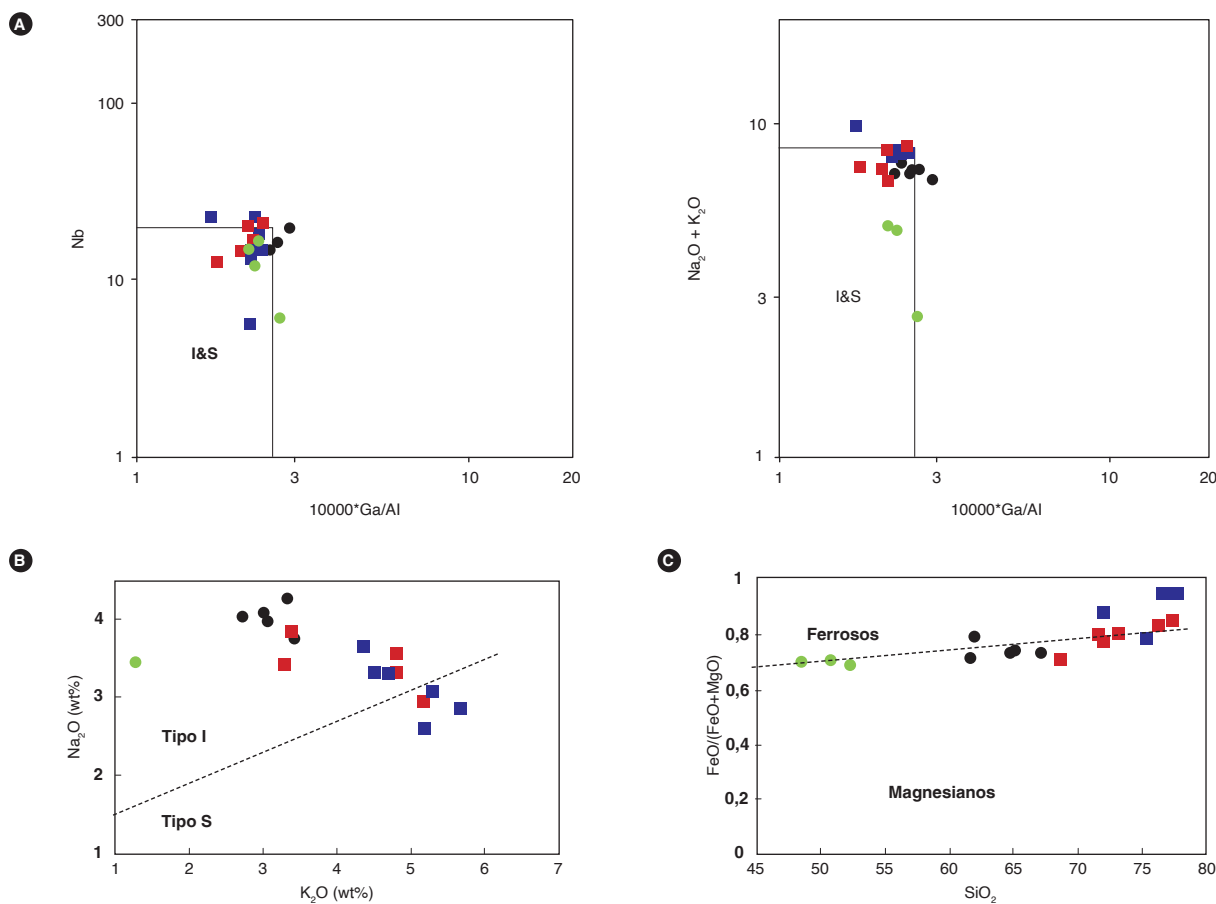


Figura 27. Diagramas discriminantes del tipo de granito correspondiente al Monzogranito de Rionegro. A) Diagrama de Whalen *et al.* (1987). B) Diagrama de Chappell y White (1974) (granitos tipo I, S, A). C) Diagrama de Frost *et al.* (2001) de discriminación de granitoides tipo I y S. D) Diagrama de Frost y Frost (2008)

5. Edad

En el presente trabajo se realizaron nueve dataciones isotópicas U-Pb en circón del Monzogranito de Rionegro y diques asociados (tabla 11), en conjunto con los laboratorios de estudios isotópicos del Centro de Geociencias de la Universidad Nacional Autónoma de México (UNAM) y el Laboratorio de Ablación Láser del Servicio Geológico Colombiano, en Bogotá. La concentración de minerales pesados, separación de la fracción no magnética y selección de los circones se realizó en el Laboratorio Químico del Servicio Geológico Colombiano, sede Medellín, donde además se realizó el montaje de las probetas en la resina epoxica y el pulido de cristales de las muestras enviadas al Laboratorio de Ablación Láser del Servicio Geológico Colombiano.

En los trabajos de cartografía de las planchas 86 y 109 se correlacionan dos cuerpos de granodioritas asociadas al Monzogranito de Rionegro (Arias y Vargas, 1978; Ward *et al.*, 1973); sin embargo, Van der Lelij (2013) reporta edades U-Pb en circón en estas dos unidades: una edad de $443,4 \pm 3,2$ Ma para el cuerpo de granodiorita expuesta en la plancha 86-Ábrego, y una edad de $196 \pm 1,1$ Ma para el cuerpo de granodiorita cartografiado en la plancha 109, y muestra que se trata de cuerpos independientes sin relación alguna, por lo que en este trabajo los análisis petrográficos, químicos y geocronológicos de las facies granodioríticas se limitan a la unidad de la plancha 109, en cercanías del municipio de Rionegro.

Goldsmith *et al.* (1971) reporta dos dataciones por el método K-Ar, de 177 ± 6 Ma y 172 ± 6 Ma en rocas clasificadas como granodioritas porfiríticas localizadas unos 13 km hacia el noreste del municipio de Rionegro, en cercanías del municipio de Santa Cruz.

Por su parte, Daconte y Salinas (1980) asignan al Batolito de Rionegro un rango de edad Jurásico-Triásico, por correlación con otras rocas ígneas del Macizo de Santander en las que se identificó un evento térmico entre 198 ± 8 y 160 ± 30 Ma.

Al sur del municipio de Ocaña, Van der Lelij (2013) obtuvo una edad U-Pb de $195,8 \pm 1,5$ Ma en circón en un granito alcalino. Cerca del lugar de esta datación, Ordóñez Carmona (2001) obtuvo una edad isocrónica Rb-Sr de 268 ± 26 Ma, con una razón inicial de $^{87}\text{Sr}/^{86}\text{Sr}$ de $0,7007 \pm 0,003$, que, según el autor, no tiene validez geológica, porque la razón inicial tan baja de $^{87}\text{Sr}/^{86}\text{Sr}$ sugiere que la roca puede ser más joven que 268 Ma. Este autor también presentó los resultados de análisis isotópicos de los sistemas Nd y Sr de varias muestras del Batolito de Ocaña (tabla 12), con razones isotópicas iniciales calculadas para una edad de 268 Ma.

En el presente estudio se recalcularon las razones iniciales y los valores de ϵNd de las mismas muestras (tabla 13), tomando como base la edad de 196 Ma presentada por Van der Lelij (2013), que fue obtenida en una muestra ubicada al sureste de las muestras analizadas por Ordóñez Carmona (2001).

Tabla 11. Muestras del Monzogranito de Rionegro con análisis de geocronología

IGM	N. campo	W	N	Localización	PL	Clasificación	Laboratorio
Facies monzogranítica							
900973	GR-6743	1083832	1397462	Ocaña-Ábrego	86	Monzogranito	UNAM
	10VDL54*	1085710	1394475	Ocaña	86	Granito alcalino	
Facies granodiorítica							
900985	GZ-6848A	1094479	1337675	Vía Primavera-Cáchira	97	Granodiorita	SGC
Saprolito	JGB-462	1105322	1287011	Rionegro, Qda. La Pajuda	109	Cuarzomonzonita	UNAM
	10VDL59*	1102855	1297665	Rionegro	109	Tonalita	
900952	MIA-648B	1104858	1301287	Rionegro, vereda Valparaíso	109	Granodiorita	SGC
Diques							
900951	MIA-648A	1104858	1301286	Rionegro, vereda Valparaíso	109	Riolita porfídica	SGC
901011	MIA-650B	1099016	1313298	Rionegro, vía Las Rocas	109	Sienogranito	UNAM
Saprolito	MIA-657A	1077093	1408339	Ocaña-Río de Oro	76	Microdiorita	SGC
900998	LMC-082	1087835	1343412	Rionegro, vereda Pueblo Nuevo	97	Dique diorita	SGC
Unidad diorita							
900999	LMC-084	1088409	1339422	Rionegro, vereda Pueblo Nuevo	97	Granodiorita con Hbl	SGC

* Van Der Lelij (2013)

Tabla 12. Resultados isotópicos Rb-Sr y Sm-Nd de las rocas del Batolito de Ocaña

Muestra	143Nd/144Nd	147Sm/144Nd	ECHUR(o)	ECHUR(T)	TDM(Ma)	T (Ma)	87Sr/86Sr	87Rb/86Sr	RiSr
Batolito de Ocaña									
BOC-1	0,512341	0,1291	-5,79	-3,48	1255	268	0,73750	9,6723	0,70062
BOC-2	0,512318	0,1264	-6,24	-3,84	1256	268	0,72874	7,4091	0,70049
BOC-3	0,512274	0,1222	-7,10	-4,55	1271	268	0,73118	7,8942	0,70108
BOC-4	0,512292	0,1186	-6,75	-4,08	1196	268	0,72917	7,4416	0,70080

Fuente: Carmona (2001) y este trabajo

Tabla 13. Valores de ECHUR (T) y RiSr correspondientes a muestras de la tabla anterior recalculados a 196 Ma

Muestra	143Nd/144Nd	147Sm/144Nd	ECHUR(o)	ECHUR(T)	TDM(Ma)	T (Ma)	87Sr/86Sr	87Rb/86Sr	RiSr
Bat. de Ocaña									
BOC-1	0,512341	0,1291	-5,79	-4,10	1255	196	0,73750	9,6723	0,71054
BOC-2	0,512318	0,1264	-6,24	-4,49	1256	196	0,72874	7,4091	0,70809
BOC-3	0,512274	0,1222	-7,10	-5,24	1271	196	0,73118	7,8942	0,70918
BOC-4	0,512292	0,1186	-6,75	-4,80	1196	196	0,72917	7,4416	0,70843

Los valores de ϵ_{Nd} a 196 Ma varían levemente con relación a los calculados con 268 Ma, haciéndose un poco más negativos, mientras que las razones iniciales de $^{87}\text{Sr}/^{86}\text{Sr}$ se incrementan significativamente, mostrando valores altos de esta razón, entre 0,70843 y 0,71054 a 196 Ma. Estas características isotópicas de Nd y Sr sugieren gran aporte de material cortical en los magmas a partir de los cuales cristalizaron las rocas de Batolito de Ocaña. Los valores recalculados de la razón inicial de Sr a 196 Ma confirman la interpretación realizada por Ordóñez Carmona (2001) de que las rocas podrían tener una edad menor de 268 Ma.

Las mediciones isotópicas y de elementos traza elaboradas en el Laboratorio de Estudios Isotópicos del Centro de Geociencias de la UNAM se lograron por medio de un espectrómetro de masa con plasma inductivamente acoplado (LA-ICPMS), siguiendo los procedimientos de Pérez *et al.* (2010). En el Laboratorio de Ablación Láser del Servicio Geológico Colombiano los análisis fueron realizados en un láser Photon Machines eximero de 193 nm y un espectrómetro ICP-MS Element 2. Los patrones de referencia utilizados fueron Plesovice, 91500 y M. Dromedry, y los resultados de ambos laboratorios se calcularon al 2 sigma absoluto (anexo 2).

Para la datación de las muestras, en primera instancia se realizó el análisis estadístico de los datos obtenidos teniendo en cuenta la relación $[({}^{207}\text{Pb}/{}^{235}\text{U}) - ({}^{206}\text{Pb}/{}^{238}\text{U})] / ({}^{207}\text{Pb}/{}^{235}\text{U}) * 100$, con el fin de calcular valores concordantes en edades menores de 800 Ma. De esta manera se establecieron como parámetro de corte (*cutoff*) los cristales que en la mayoría de las muestras presentan dis-

cordancia mayor del 10% e incertidumbre mayor del 5%. Los gráficos de concordia y edad promedio se elaboraron en el software Isoplot/Ex vers. 4.1.5 (Ludwig, 2008).

Bajo luz transmitida, los circones presentan en general formas euuhedrales a subeuuhedrales. Predominan los cristales bipiramidales alargados, y algunos son prismáticos cortos, tienen tonalidades amarillo a incoloro y son poco frecuentes los que contienen inclusiones. Los tamaños de los cristales varían entre 80 y 120 μm , pero la mayoría son de alrededor de 100 μm . Bajo CL (figura 28), los circones exhiben buena luminiscencia; son comunes los zonamientos oscilatorios asociados con crecimientos magnmáticos (Corfu *et al.*, 2003), como se presenta en el punto 22 de la muestra MIA-657 A. Algunas zonaciones son interrumpidas por crecimientos más recientes. Algunos cristales muestran xenocristales o núcleos heredados de formas redondeadas y menos luminiscentes rodeados por zonamientos (punto 2 de la muestra GZ-6848 A).

La muestra 900973 (GR-6743) es una roca de monzógranito colectada sobre la vía que conduce de Ábrego a Ocaña. Se tomaron 35 circones, de los cuales en el procesamiento de los datos fueron descartados tres análisis de circones con discordancias mayores del 10% y errores mayores del 5%, así que finalmente se trabajó con 32 análisis. El contenido de U está entre 62,8 y 630 ppm y de Th entre 64,8 y 1.240 ppm; la relación Th/U varía entre 0,61 y 1,94. El diagrama de concordia (figura 29), muestra una concentración de análisis concordantes cerca de los 200 Ma, un circón discordante con una edad de 212,7 Ma y otro con una edad 230,9 Ma, posiblemente

heredado. El diagrama de la media ponderada arroja una edad de $195,9 \pm 1,6$ Ma con un MSWD = 4, considerada como la edad representativa de cristalización de la roca (figura 29).

La muestra 900985 (GZ-6848A) corresponde a una granodiorita tomada en el sector de la vereda La Primavera, sobre la vía hacia el municipio de Cáchira. Se analizaron 38 circones, de los cuales fueron retirados siete análisis por presentar valores de discordancia mayores del 10% y errores mayores del 5%, así que finalmente se interpretaron 31 circones. Cinco de ellos reportan eda-

des del Ordovícico (451 Ma), Neoproterozoico (877,9 y 993,40 Ma) y Mesoproterozoico (1.035,21 y 1.143,33 Ma), con relaciones menores de Th/U entre 0,04 y 0,2

La mayoría de los circones son concordantes, se concentran en el rango de edades de 190 a 210 Ma (figura 30) y muestran una relación de Th/U mayor que los granos heredados (entre 0,55 a 2,8). En el diagrama del cálculo de la media por la desviación estándar, la edad promedio de cristalización es de $196,6 \pm 2,1$ Ma, con un MSWD de 2,7 (figura 30).

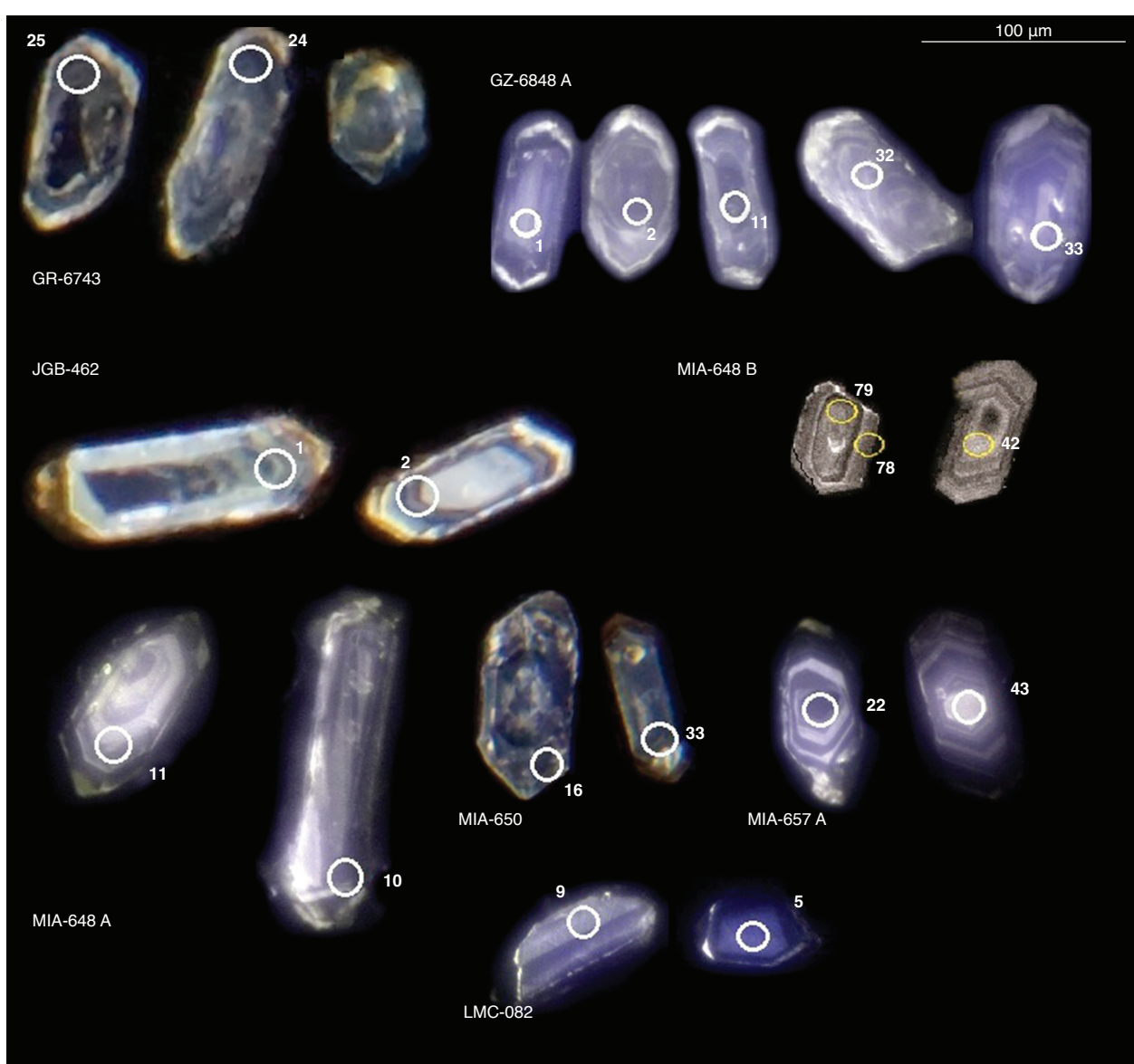


Figura 28. Imágenes de catodoluminiscencia (CL) correspondientes a diferentes muestras de circones de rocas del Monzogranito de Rionegro y diques. Se muestra la estructura concéntrica de los circones, la forma prismática y los puntos de ablación.

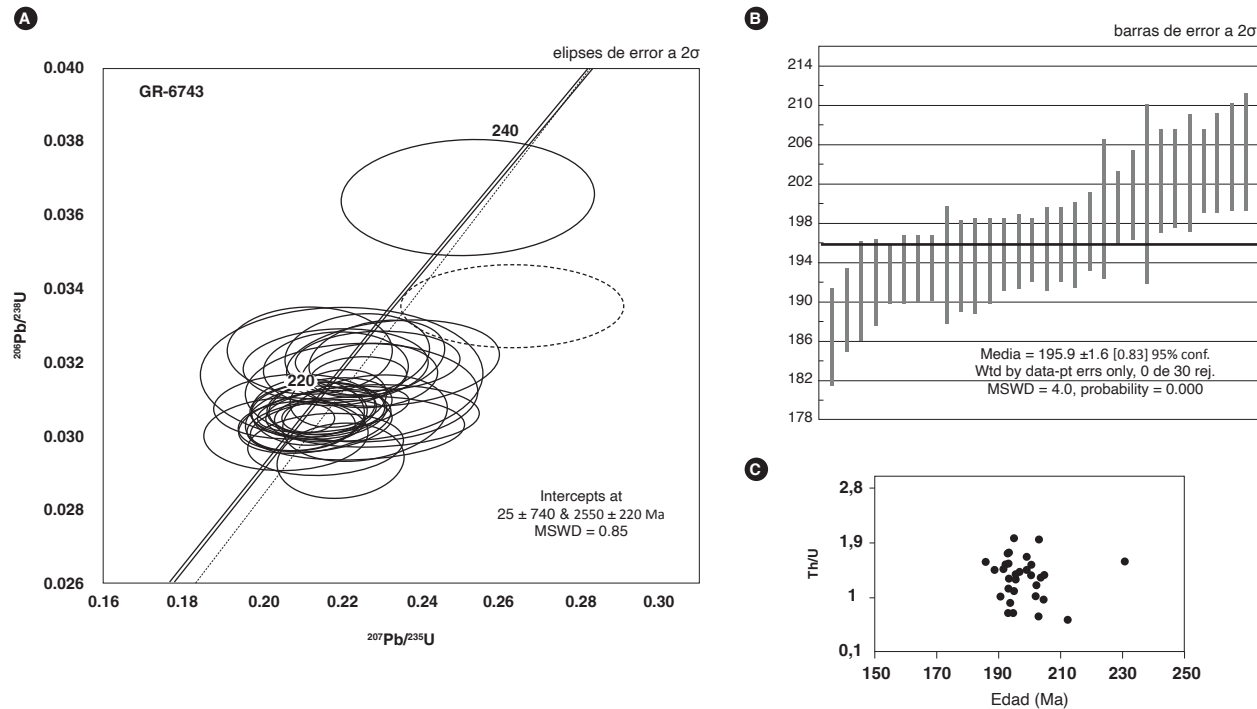


Figura 29. Edad de la Muestra 900973 (GR-6743). A) Diagrama de concordia correspondiente a la muestra B) Edad promedio ponderada. C) Gráfico de relación Th/U vs. edad

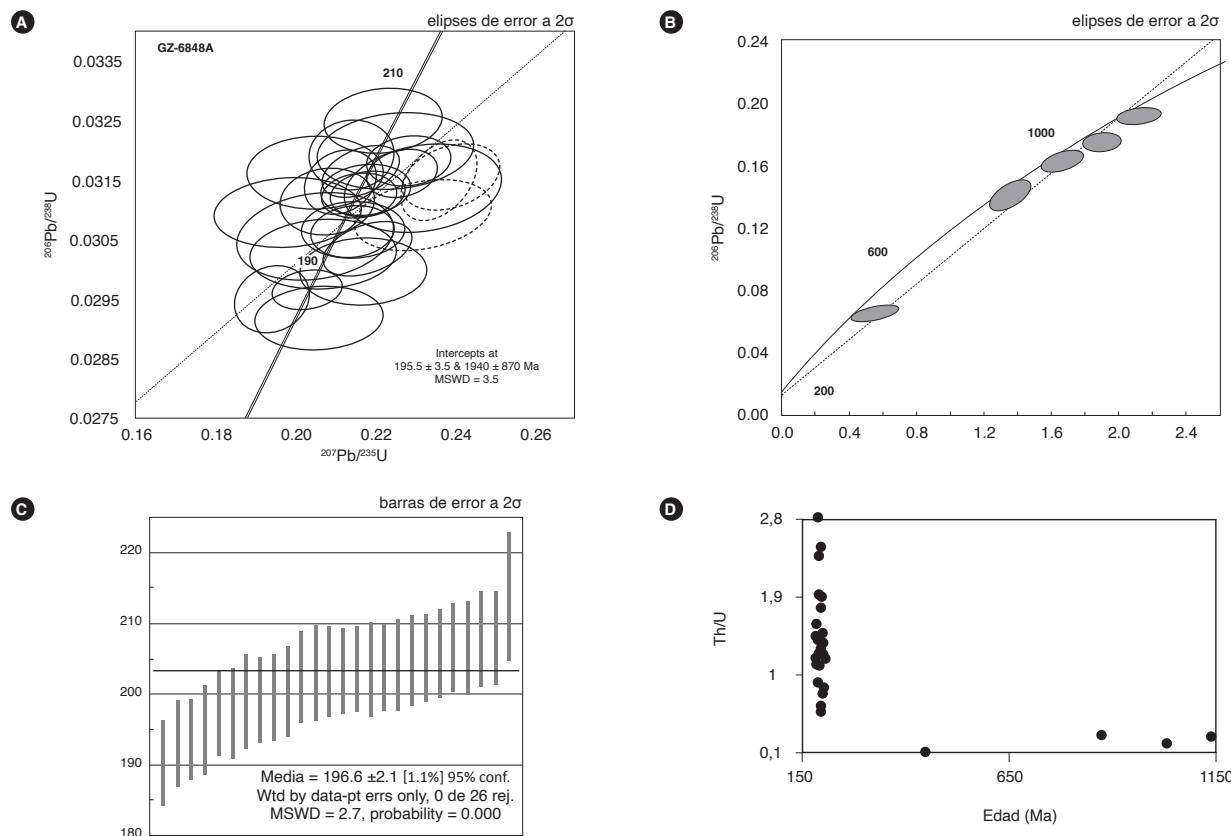


Figura 30. Edad de la muestra 900985 (GZ-6848A). A) Diagrama de concordia. B) Gráfico de concordia correspondiente a la muestra GZ-6848A. C) Edad promedio ponderada de la muestra GZ-6848A. D) Gráfico de relación Th/U vs. edad correspondiente a la muestra GZ-6848A

La muestra JGB-462 corresponde a un saprolito de cuarzomonzonita colectado sobre la vía Bucaramanga-Rionegro, cerca de la escuela San Cayetano. Fueron seleccionados 35 circones, de los cuales ocho fueron retirados durante el procesamiento de los datos por presentar discordancias mayores del 10% y errores que superaban el 5%. Los 27 circones restantes se concentraron de manera concordante en la curva de Wetherill, en un rango de edad de entre 187 y 205 Ma (figura 31). Tienen concentraciones de U entre 53 y 1.021, y Th entre 66 y 858; presentan relaciones Th/U entre 0,62 y 3,1. El diagrama del cálculo de la media muestra una edad promedio de cristalización de $197,2 \pm 1,5$ Ma, con un MSWD de 3.

Para constituir la muestra MIA-648B, colectada en la vereda Valparaíso, municipio de Rionegro, fueron seleccionados 64 circones, de los cuales 50 tienen valores de discordancia menor del 15% y errores menores del 5,6%. Las edades arrojadas por los circones varían entre 197 y 320 Ma; la edad promedio ponderada que arroja

la muestra 900952 (MIA-648B), clasificada como granodiorita, es de $214,5 \pm 2,7$ Ma ($n = 44$), con MSWD de 1,15, que se considera de cristalización de esta roca, aunque el gráfico de densidad de probabilidad forma dos picos; el primero de ellos corresponde a una edad promedio de $207,3 \pm 1,6$ Ma ($n = 23$), con un MSWD de 0,67, que podría corresponder a la edad ponderada final de cristalización de la roca; el segundo pico arroja una edad ponderada de $221,8 \pm 2,0$ ($n = 23$), con MSWD de 1,19, que podría tomarse como la edad promedio ponderada de inicio de cristalización de los núcleos de circón. Seis circones reportan edades del Triásico Medio a Inferior, que corresponden a núcleos heredados (238 a 249 Ma), dos ($n = 2$) del Pérmico (267 y 288 Ma) y uno ($n = 1$) del Carbonífero (320 Ma). Solo un análisis presenta relación $\text{Th}/\text{U} < 0,1$ y arrojó una edad de 223,8 Ma, mientras que la relación Th/U de los datos que definen la edad están entre 0,7 y 2,2 (figura 32).

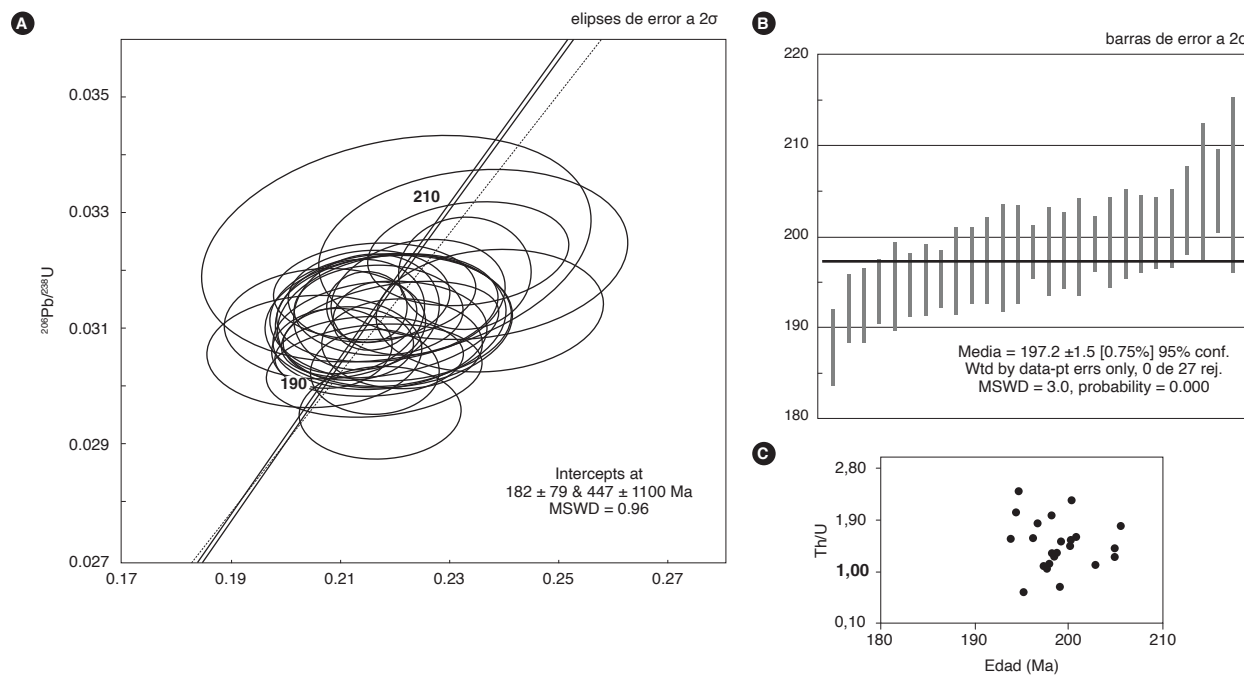


Figura 31. Edad de la muestra JGB-462. A) Diagrama de concordia. B) Diagrama del cálculo de la edad promedio ponderada correspondiente a la muestra JGB-462. C) Gráfico de relación Th/U vs. edad correspondiente a la muestra JGB-462

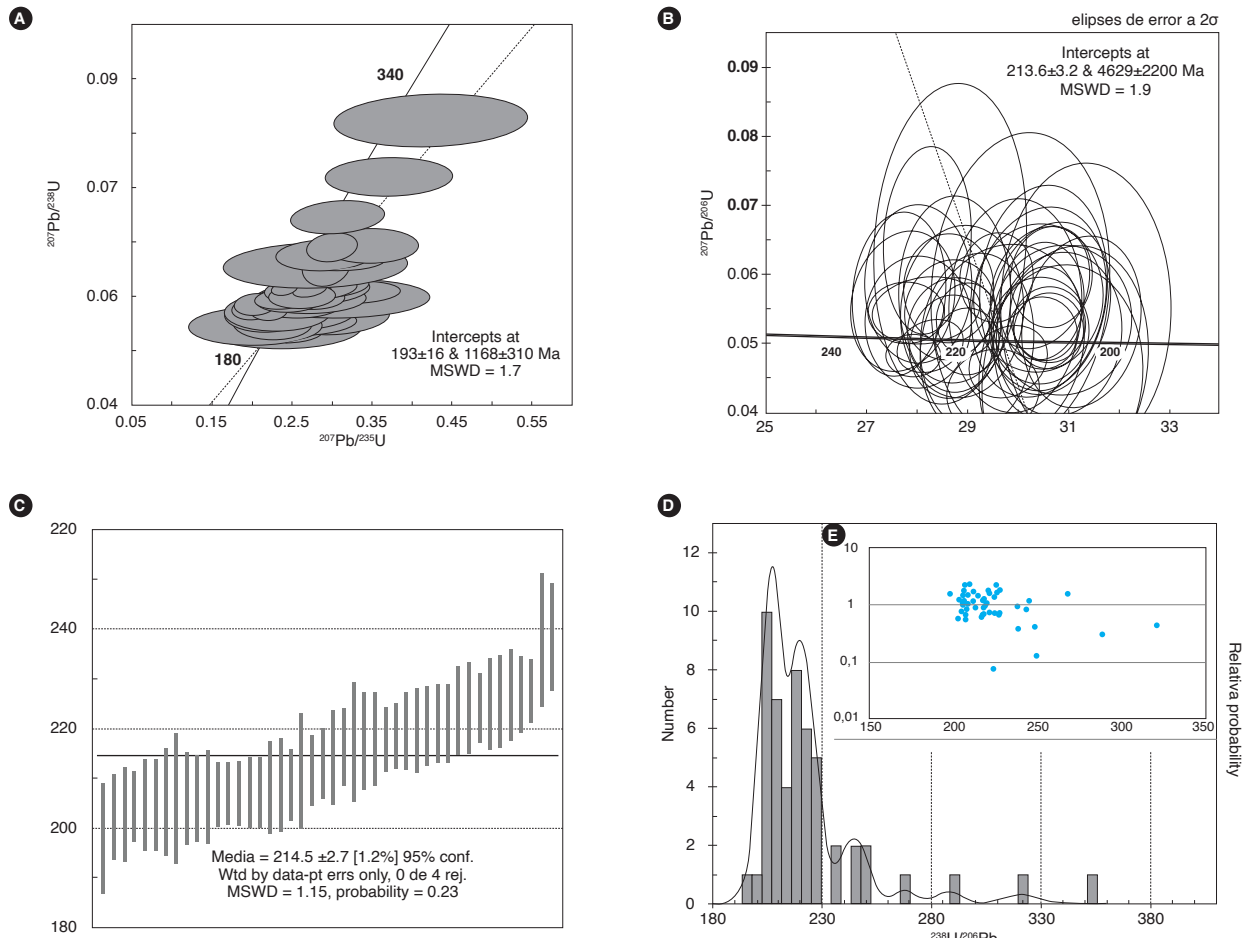


Figura 32. Edad de la muestra MIA-648B (granodiorita). A) Gráfico de concordia. B) Gráfico Tera-Wasserburg correspondiente a la muestra MIA-648B (granodiorita). C) Edad promedio ponderada correspondiente a la muestra MIA-648B (granodiorita). D) Histograma de densidad de probabilidad correspondiente a la muestra MIA-648B (granodiorita). E) Gráfico de relación Th/U vs. edad

Observando las edades individuales obtenidas por U-Pb en circón de todas las rocas y el saprolito, queda en evidencia que las edades más antiguas corresponden a la facies granodiorita (900985, 900973, JGB-462 y 900952), mientras que la facies monzógranito (900973) tiene una edad ligeramente más joven.

La muestra 900951 (MIA-648A) corresponde a una roca de dique clasificada como riolita porfídica, que se encuentra atravesando la granodiorita (900952-MIA-648B). Se separaron 47 cristales de circón, de los cuales nueve presentaban errores mayores del 5% y discordancias mayores del 10%. Los circones restantes muestran relaciones Th/U entre 0,82 a 2,48, y se concentran en el rango de edad entre 180 y 210 Ma (figura 33). Un circón arroja una edad mesoproterozoica de 1.021,67 Ma, con una relación Th/U de 0,48, y es interpretado como un

cristal heredado. La edad media ponderada es de 194,5 ± 1,2 Ma, y se considera como edad de cristalización de esta roca, con MSWD de 0,95.

La roca 901011 (MIA-650B) corresponde a un dique de sienogranito tomado cerca de la escuela Las Rocas, en el municipio de Rionegro. Se separaron 35 circones, de los cuales seis fueron retirados por presentar discordancias y errores mayores del 10% y 5%, respectivamente. Los resultados isotópicos arrojaron datos que muestran circones heredados ($n = 3$) concordantes a ligeramente discordantes, con edades neoproterozoicas de 924, 934 y 1.005 Ma (figura 34) y relaciones Th/U entre 1,10 y 1,60; una edad mesoproterozoica de 1.485 Ma se registró en un circón discordante, con una relación Th/U de 1,33 y cantidades de U y Th muy altas (1.390 y 1.850 ppm).

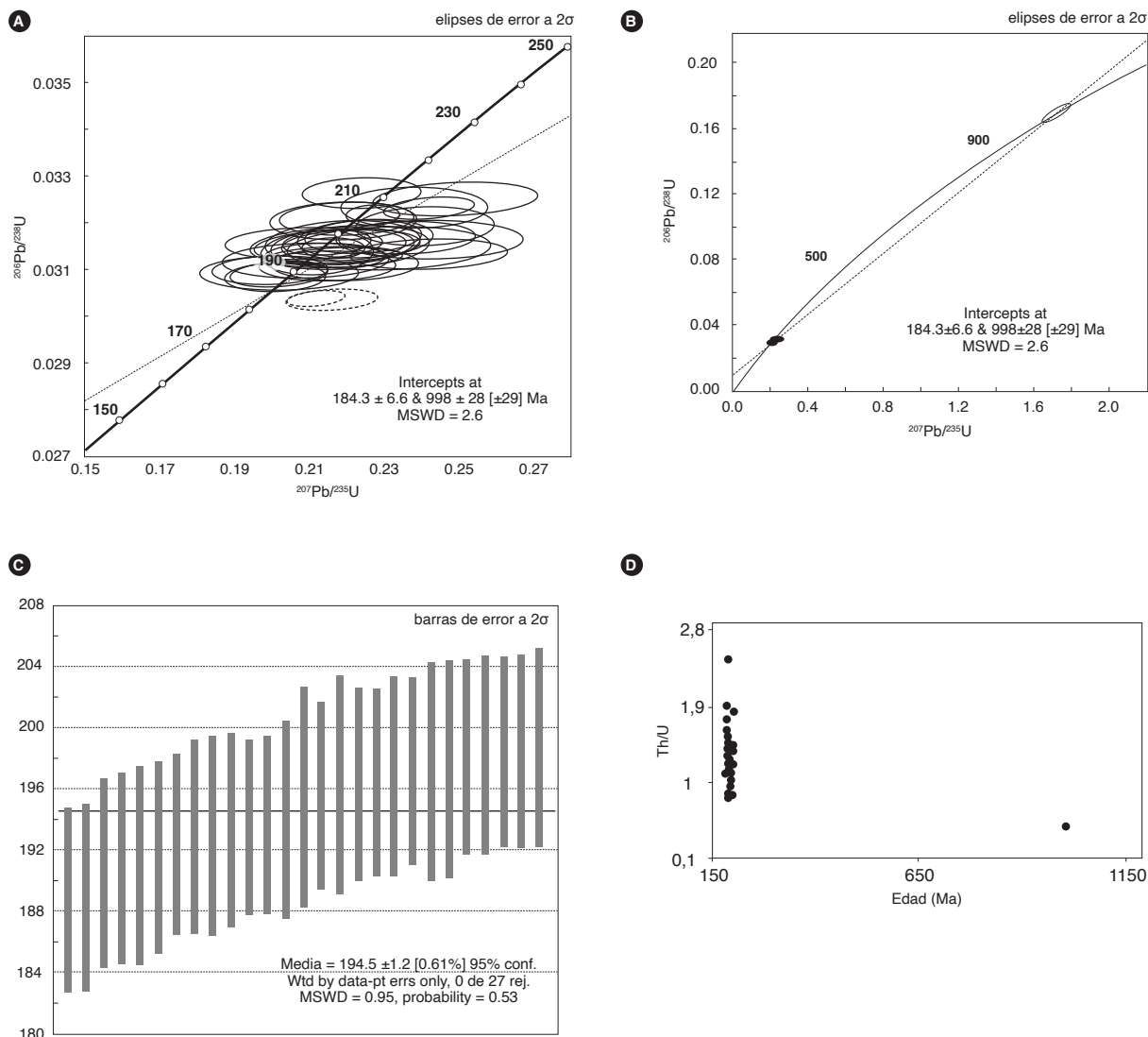


Figura 33. Edad de la muestra 900951 (MIA-648A). A) Diagrama de concordia que detalla la edad. B) Gráfico de concordia. C) Edad promedio ponderada D) Gráfico de relación Th/U vs. edad

Asimismo, se observa una concentración de datos en el rango de 167 a 209 Ma, que se divide en dos poblaciones de circones: los más jóvenes ($n = 5$), con edades de 167,1, 172,6, 174,5, 177,6 y 177,7 Ma, y edades agrupadas ($n = 19$) entre 182,2 y 196,2 Ma. Un cirón presenta una edad de 209 Ma. La edad media ponderada de cristalización de la roca es de $184,1 \pm 2,3$ Ma, con MSWD de 3,6.

En el saprolito de dique microdiorítico MIA-657A, tomado sobre la vía que de Rio de Oro conduce a Ocaña,

se separaron 43 cristales de cirón y se retiraron dos circones del procesamiento de datos por presentar discordancias mayores del 10%. Los cristales, agrupados en un rango de edades situado entre 173,99 y 205,94 Ma, se comportan entre concordantes y discordantes, y tienen relaciones Th/U entre 0,78 y 4,35. Varios circones muestran concentraciones mayores de 1.000 ppm de U. La edad ponderada es de $186,7 \pm 1,9$ Ma, y el MSWD, de 5 (figura 35).

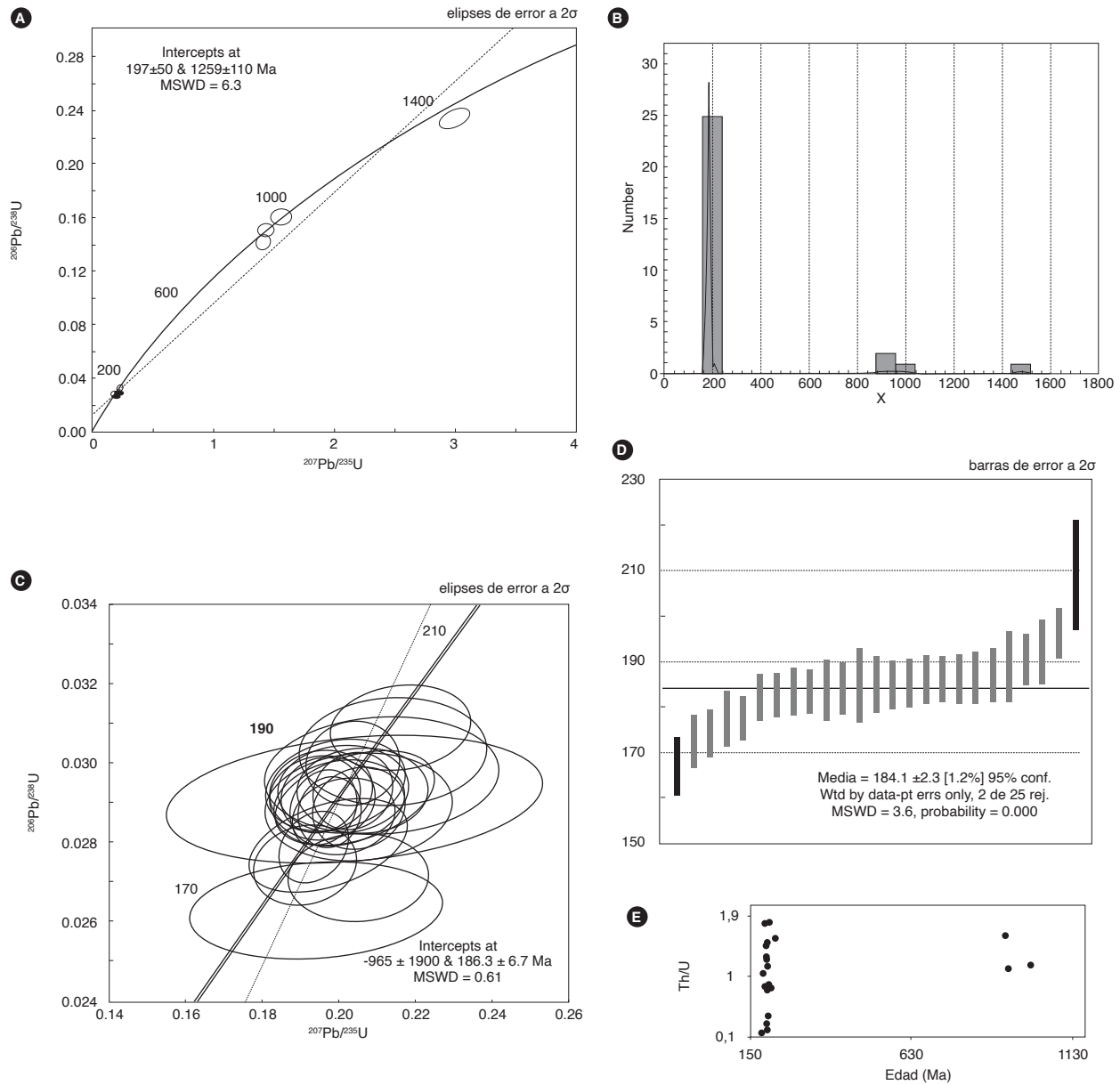


Figura 34. Edad de la muestra de dique 901011 (MIA-650B). A) Diagrama de concordia completo. B) Histograma de densidad de probabilidad C) Gráfico de concordia detallado. D) Edad promedio ponderada. E) Gráfico de relación Th/U vs. edad

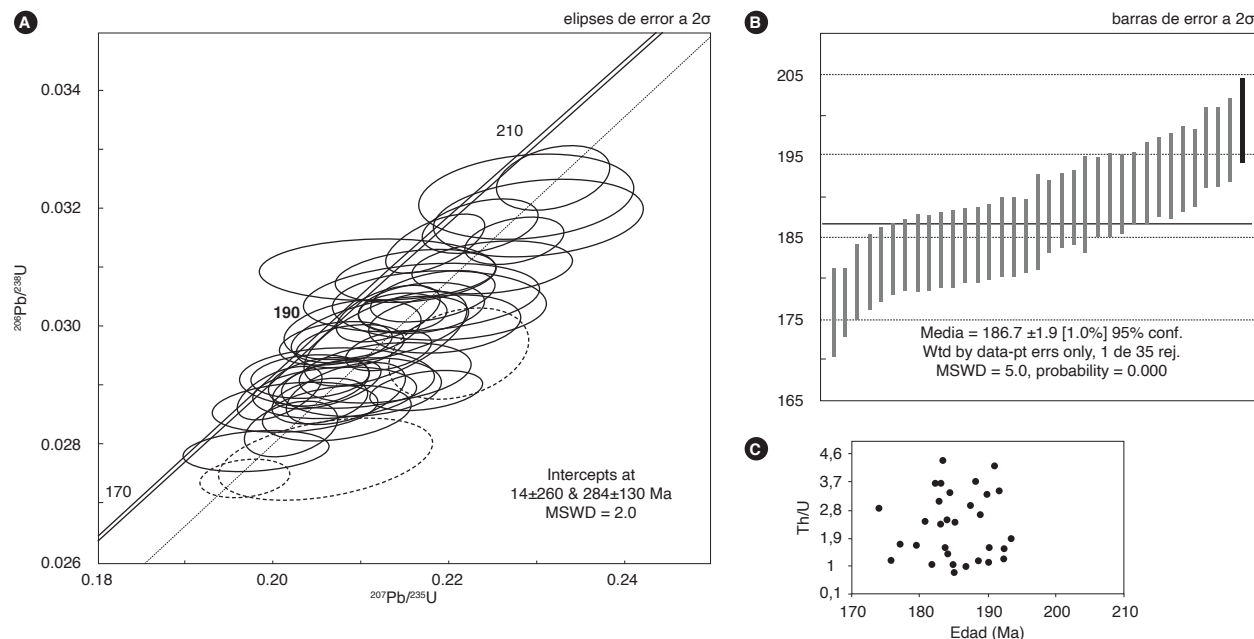


Figura 35. Edad de la muestra de dique MIA-657^a. A) Diagrama de concordia. B) Diagrama del cálculo de la edad promedio ponderada. C) Gráfico de relación Th/U vs. edad

La roca 900998 (LMC-082) corresponde a un dique de diorita tomada en la vereda Pueblo Nuevo, municipio de Rionegro. Se separaron 45 circones. Discordancias mayores del 10% y errores mayores del 5% se reportaron en 18 circones, que fueron retirados del procesamiento de los datos. Las relaciones Th/U varían entre 0,72 y 2,78. De los circones restantes, nueve son discordantes; los demás se agrupan de manera concordante a ligeramente discordante en el rango de edad de 184,33 a 200,5 Ma. En el diagrama de la edad media ponderada se presenta una edad de $189,9 \pm 1,6$ Ma (figura 36).

La muestra 900999 (LMC-084) se colectó cerca de la roca LMC-082 anteriormente descrita, en el sector centro-occidental del Monzogranito de Rionegro. Por sus características petrográficas y geoquímicas difiere de las rocas granodioríticas del plutón y es considerada como parte de la unidad cuarzomonzodiorita, teniendo

en cuenta las observaciones de campo (figura 3); esta relación es corroborada por la edad U-Pb obtenida, como se muestra en la figura 37.

Se separaron cincuenta cristales de circón, y se retiraron del procesamiento e interpretación aquellos datos con discordancias mayores del 15% y errores mayores del 5% ($n = 9$). Los circones restantes muestran una relación Th/U entre 0,88 y 3,77, tienen un comportamiento concordante a ligeramente discordante en un rango de edad de 190 a 211 Ma. Diez circones fueron catalogados como discordantes. Un circón tiene una edad concordante de 231,89 Ma. El gráfico de la media ponderada arroja una edad de $200,8 \pm 1,9$ Ma, que se interpreta como la edad de cristalización.

Los datos de geocronología U-Pb en circón correspondientes al Monzogranito de Rionegro se resumen en la tabla 14.

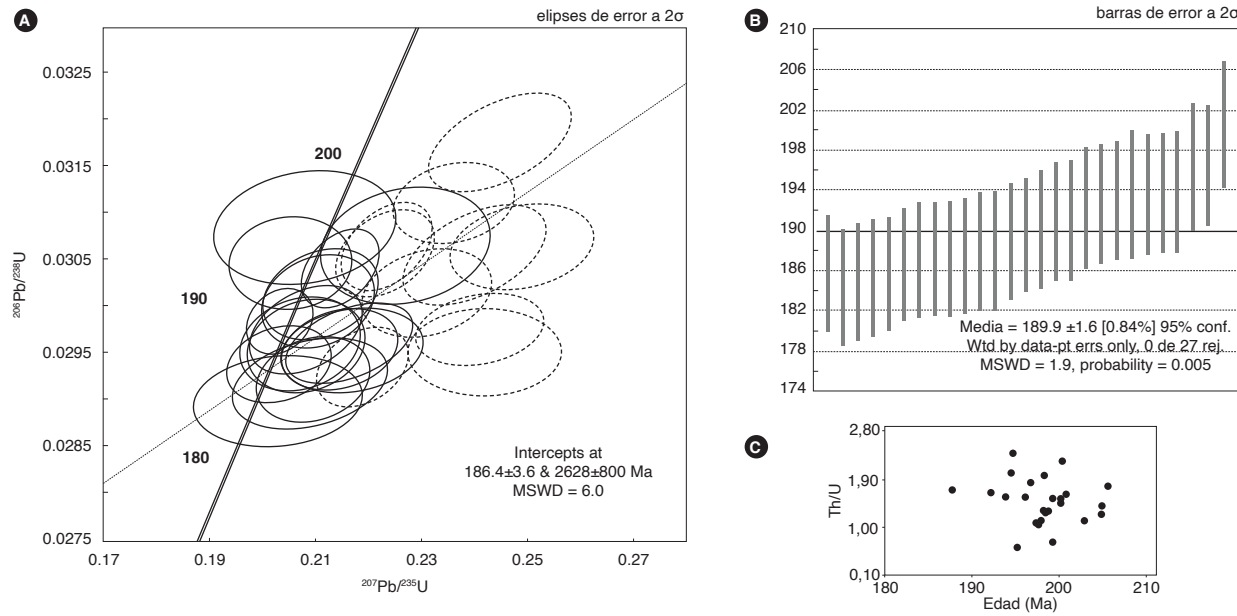


Figura 36. Edad de la muestra de dique LMC-082. A) Diagrama de concordia. B) Diagrama del cálculo de la edad promedio ponderada. C) Gráfico de relación Th/U vs. edad

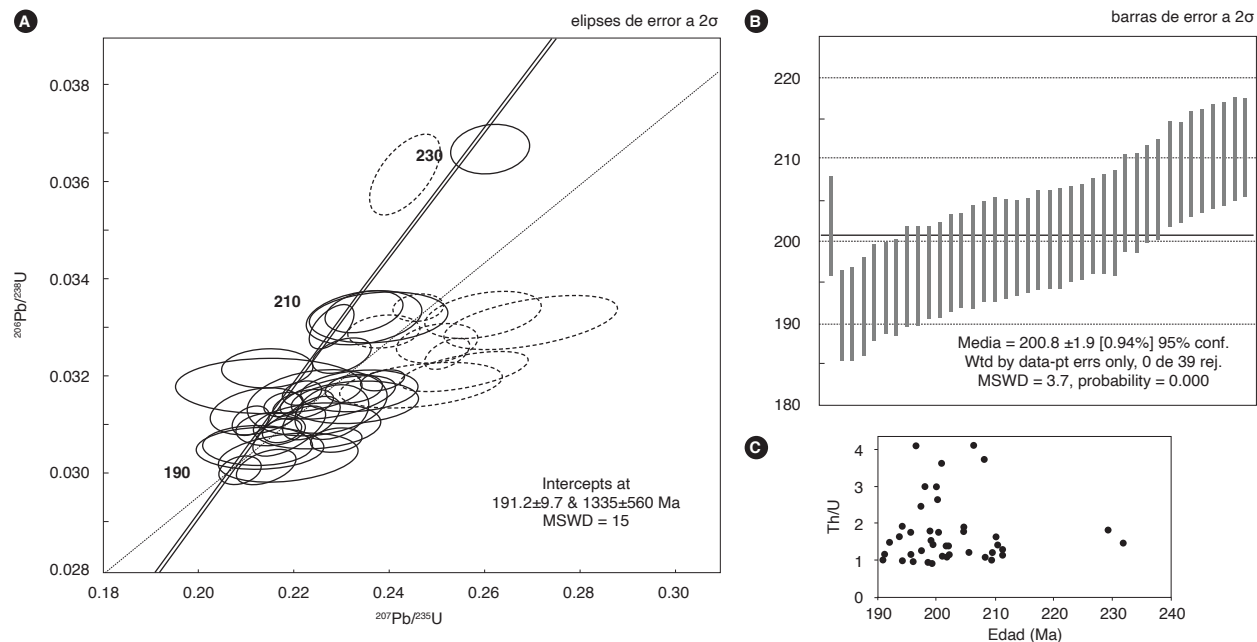


Figura 37. Edad de la roca LMC-084. A) Diagrama de concordia y círculos típicos de esta muestra. Las líneas punteadas corresponden a edades discordantes eliminadas. B) Diagrama del cálculo de la edad promedio ponderada. C) Gráfico de relación Th/U vs. edad

Tabla 14. Dataciones U-Pb en circón del Monzogranito de Rionegro

IGM	N. campo	Edad (Ma)	Edad heredada
900973	GR-6743	195,9 ± 1,6	
	10VDL54*	195,8 ± 1,5	
900985	GZ-6848A	196,6 ± 2,1	451-877,9-993,40-1035,21-1143,33 Ma
Saprolito	JGB-462	197,2 ± 1,5	
	10VDL59*	196 ± 1,1	
900952	MIA-648B	214,5 ± 2,7	238-249, 267, 288, 320
900951	MIA-648A	194,5 ± 1,2	1021,67 Ma
901011	MIA-650B	184,1 ± 2,3	924-934-1005-1485 Ma
Saprolito	MIA-657A	186,7 ± 1,9	
900998	LMC-082	189,9 ± 1,6	
900999	LMC-084	200,8 ± 1,9	

Fuente: este trabajo, * Van des Lelij (2013)

5.1. Geoquímica de elementos traza en circones

El análisis de ICP-MS de los circones enviados al Laboratorio de Geocronología de la UNAM determinó la abundancia de los elementos traza en cada circón (anexo 3 y figura 38). Los valores de REE se normalizaron a condrito (McDonough y Sun, 1995) y se calcularon las relaciones Pm* y Tm* de cada uno de ellos.

En general, los valores de Th y Pb en ppm de los circones de las muestras GR-6743, JGB 462 y MIA-650B están en los rangos característicos de granitos tipo I, que según Wang *et al.* (2012) se caracterizan por presentar bajas concentraciones de Pb y altas relaciones Th/Pb. Los circones 040 y 036 de la roca GR-6743 se sitúan en el borde del campo de granitos tipo A, correspondientes a

circones con edades de 212,7 y 203,1 Ma, mayores que la media ponderada de esta roca.

Asimismo, los circones 010 y 05 de la muestra MIA-650B se dispersan del conjunto de datos con menores valores de Th. Estos circones corresponden a cristales con edades heredadas de 924 y 1485 Ma, respectivamente.

Hay concentraciones menores en las REE desde La, Pr, Nd, Pm* y Sm, excepto en el Ce, que describe una anomalía positiva, de acuerdo con Nardi *et al.* (2013), y que se debe a la incorporación de Ce⁴⁺ en sustitución de Zr⁴⁺ en la estructura cristalina del circón, ligeras anomalías negativas de Eu y enriquecimientos hacia las REE pesadas.

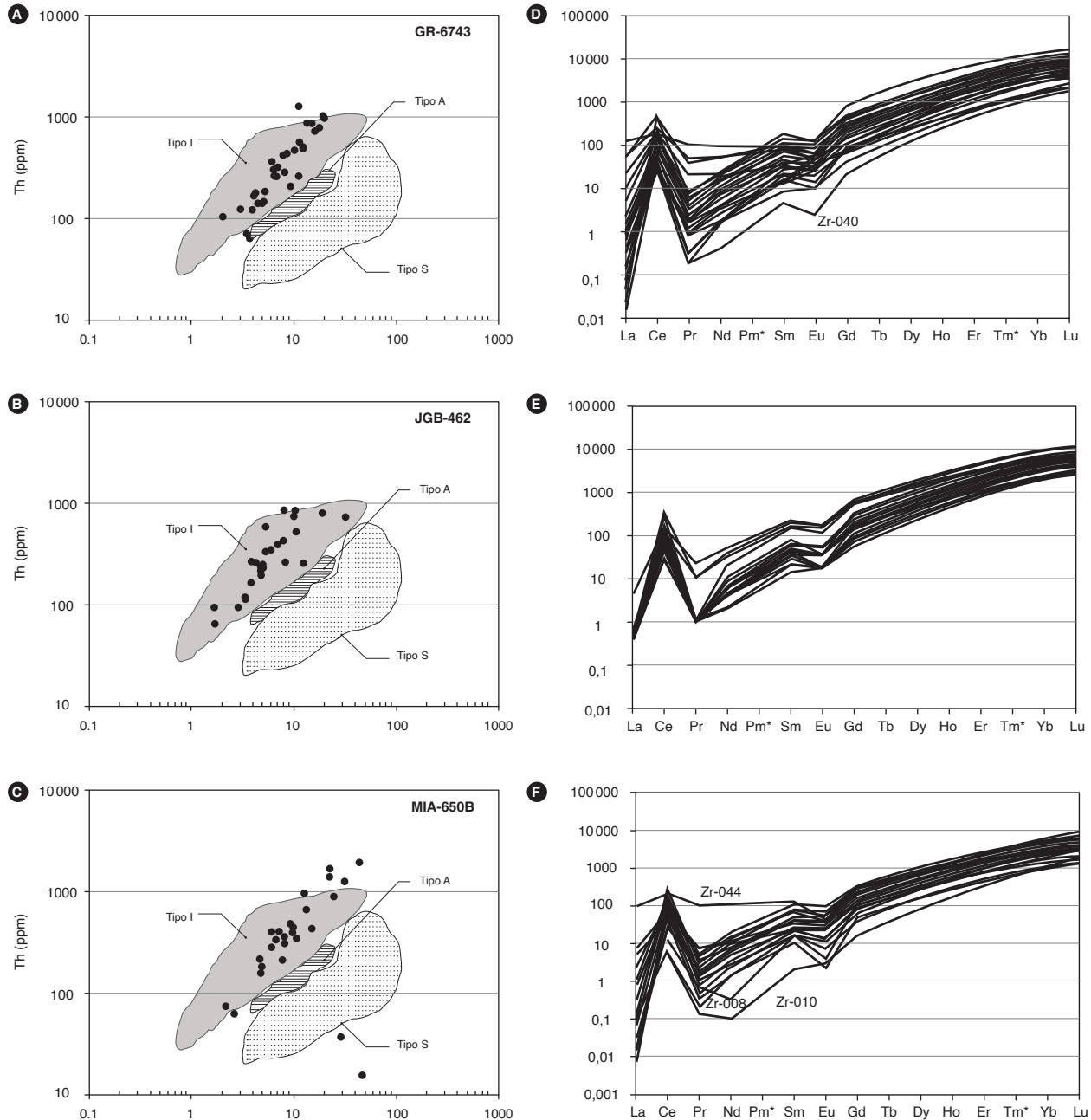


Figura 38. Diagramas de clasificación de granitos y diagramas multielementales a partir de la química del circon. A, B, C) Tipo de magma según los valores de Th y Pb (diagrama de Wang *et al.*, 2012), en circones de las muestras GR-6743, JGB-462 y MIA-650B, respectivamente, del Monzogranito de Rionegro. D, E, F) Patrones de los elementos de las tierras raras REE normalizados según el condrito de McDonough y Sun (1995) en circones de las muestras GR-6743, JGB-462 y MIA-650B, respectivamente

6. Correlaciones

El Monzogranito de Rionegro hace parte del magmatismo triásico-jurásico que se emplazó en el basamento metamorfo del Macizo de Santander y cuya correlación se extiende tanto a los cuerpos subvolcánicos porfídicos como a cuerpos plutónicos de composición granítica, entre los que se encuentra el Monzogranito de La Corcova (Goldsmith *et al.*, 1971; Rodríguez *et al.*, 2016), la tonalita y Granodiorita de Páramo Rico (Ward *et al.*, 1973), el Batolito de Mogotes (Ward *et al.*, 1973, Correa *et al.*, 2016), el Granito de Pescadero (Ward *et al.*, 1973, Zapata *et al.*, 2016) y pequeños plutones subvolcánicos, como las Riolitas de El Uvo (Zapata *et al.*, 2018), la Riolita de San Joaquín (Rodríguez *et al.*, 2018) y la Riolita del Alto Los Cacaos (Correa *et al.*, 2018).

7. Localidad tipo

La sección tipo del Monzogranito de Rionegro se encuentra en la vía que conduce del municipio de La Esperanza hacia La Vega, en la plancha 97. Se proponen como secciones alternas las expuestas en las vías caserío La Ceiba-El Filo y vereda El Mambo-Misijuay, en la plancha 109.

8. Génesis

El Monzogranito de Rionegro presenta mineralogía característica de granitoides tipo I, como son la presencia de feldespato potásico de color rosado, biotita parda, hornblenda con núcleos de clinopiroxeno y presencia de magnetita e ilmenita; además, presenta gabarros (xenolitos) de rocas ígneas intermedias con presencia de hornblenda. La química de rocas lo clasifica en el campo de los granitos tipo I, peraluminosos, y la geoquímica de elementos traza en circones lo sitúa en el campo de los granitos tipo I.

Las características macroscópicas y microscópicas del Monzogranito de Rionegro, como texturas equigranulares e inequigranulares, son indicativas de un emplazamiento epizonal del cuerpo, en un basamento metámorfico.

Los monzogranitos están constituidos por ortosa pasando a microclina pertíctica, característica en rocas plutónicas que se forman en ambientes de temperaturas intermedias.

La química mineral obtenida en cristales de biotita, relacionada a una roca de monzogranito de la facies principal del plutón, se asocia a rocas de series calcoalcalinas orogénicas, de acuerdo con el diagrama de Abdel

Rahman (1994), resultado que es concordante con la química de óxidos mayores que clasifica las rocas como subalcalinas de la serie calcoalcalina alta en K y peraluminosas.

El Monzogranito de Rionegro presenta al menos tres facies, y predominan los monzogranitos sobre las granodioritas y las cuarzomonzodioritas. Las dataciones U/Pb sugieren que algunas de estas facies representan pulsos y cuerpos de diferente edad, que podrían ser separados de la unidad principal, como es el caso del cuerpo de granodiorita que aflora en los alrededores del municipio de Rionegro, que arrojó una edad de 214 Ma. Presenta diques de monzogranitos, riolitas, andesitas y microdioritas, indicativos de eventos magmáticos posteriores a la cristalización de la masa principal del plutón con edades más jóvenes, cercanas a 184 Ma.

El Monzogranito de Rionegro presenta enriquecimiento en tierras raras livianas (LREE) de más de cien veces respecto al valor del condrito, que se va empobreciendo progresivamente hacia las tierras raras pesadas (HREE), comportamiento normal en rocas generadas en ambientes de subducción. Las diferentes litologías del Monzogranito de Rionegro en los diagramas multielementales de elementos traza normalizados al NMORB presentan anomalías negativas de P, Ti y Nb y enriquecimientos en las LILE (Cs, Rb, Ba), algo típico en rocas ígneas generadas en ambientes de arco.

La presencia de circones heredados del Proterozoico en rocas monzograníticas indica aporte de corteza continental a los fundidos que dieron origen al Monzogranito de Rionegro. Además, los valores de ϵ_{Nd} a 196 Ma y las razones iniciales de $^{87}\text{Sr}/^{86}\text{Sr}$ muestran valores altos, entre 0,70843 y 0,71054, que corresponden a características isotópicas que apoyan el aporte de material cortical a los magmas que dieron origen a las rocas del Monzogranito de Rionegro.

9. Recursos minerales

No se conocen mineralizaciones asociadas al Monzogranito de Rionegro, aunque el desarrollo de saprolito espeso de contextura arenosa permite la extracción local de material que se utiliza en la construcción como arena de pega.

Conclusiones

Este catálogo, que constituye un aporte al conocimiento cartográfico del cuerpo plutónico, presenta nueva infor-

mación del Monzogranito de Rionegro en los aspectos petrográfico, químico, mineral, litogegeoquímico y geocronológico.

Se determinó que el cuerpo es un granito formado por varios pulsos magmáticos, que incluye diques más jóvenes y cuerpos de granodioritas más antiguos que la litología granítica principal.

El Monzogranito de Rionegro está constituido por monzogranitos granodioritas, sienogranitos, cuarzositas y tonalitas. Se encuentra intruido por diques de riolitas, monzogranitos, andesitas y microdioritas; además, tiene enclaves de andesitas y dioritas.

Es un platón subalcalino de la serie calcoalcalina alta en K, peraluminoso, con valores de $A/NK > 1$ y valores de $A/CNK > 1$, con valores de $Al_2O_3 > CaO+Na_2O+K_2O$.

En los diagramas multielementales se reconocen varios patrones con edades de cristalización, U/Pb en cirón, desde $214,5 \pm 2,7$ Ma para un cuerpo de granodiorita que aflora al sur del Monzogranito de Rionegro, hasta edades que varía entre $197,2 \pm 1,5$ y $195,8 \pm 1,5$ Ma, que representan la masa principal del cuerpo intrusivo en rocas de la facies monzogranítica. Las rocas de dique arrojaron edades entre $184,1 \pm 2,3$ y $189,9 \pm 1,6$ Ma, lo que sugiere que se trata de un cuerpo formado por varios pulsos magmáticos generados en un ambiente de arco continental.

La química de rocas y la química de circones clasifican el Monzogranito de Rionegro como un granito tipo I.

La presencia de núcleos de circones heredados del Paleozoico al Mesoproterozoico, en rocas monzograníticas y sienograníticas, son indicativas de la fusión de rocas de la corteza continental que aportaron material a los pulsos magmáticos.

Referencias

- Abdel-Rahman, A. F. M. (1994). Nature of biotites from alkaline, calc-alkaline, and peraluminous magmas. *Journal of Petrology*, 35 (2), 525-541. <https://doi.org/10.1093/petrology/35.2.525>.
- Arias, A. y Morales C., J. (2003). *Mapa geológico generalizado del departamento del Cesar. Memoria explicativa. Escala 1:250.000*. Bogotá: Ingeominas.
- Arias, A. y Vargas, R. (1978). *Geología de las planchas 86 Ábrego y 97 Cáchira. Departamento de Santander. Memoria explicativa. Escala 1:100.000*. Bogotá: Ingeominas.
- Best, M. G. (2003). *Igneous and metamorphic petrology*. Oxford: Wiley-Blackwell.
- Chappell, B. W. y White, A. J. (2001). Two contrasting granite types: 25 years later. *Australian Journal of Earth Sciences*, 48 (4), 489-499. <https://doi.org/10.1046/j.1440-0952.2001.00882.x>.
- Clavijo, J. (1994). *Mapa geológico generalizado de Norte de Santander. Escala 1:250.000. Mapa interno*. Bucaramanga: Ingeominas.
- Clavijo, J., Mantilla, F. L. C., Pinto, J., Bernal, L. y Pérez, A. (2008). Evolución geológica de la serranía de San Lucas, norte del valle medio del Magdalena y noroeste de la cordillera Oriental. *Boletín de Geología*, 30 (1), 45-62.
- Cordani, U. G., Cardona, A., Jiménez, D. M., Liu, D. y Nutran, A. P. (2005). *Geochronology of Proterozoic basement inliers from the Colombian Andes: Tectonic history of remnants from a fragmented Grenville belt*. Londres: Geological Society.
- Corfu, F., Hanchar, J. M., Hoskin, P. W. O. y Kinny, P. (2003). *Atlas of Zircon Textures. Zircon. Reviews in Mineralogy and Geochemistry*, 53 (1), 469-500. <https://doi.org/10.2113/0530469>.
- Correa Martínez, A. M., Rodríguez, G., Arango, M. I., Zapata, G. y Bermúdez, J. G. (2016). *Catálogo de unidades litoestratigráficas de Colombia. Batolito de Mогоches*. Medellín: Servicio Geológico Colombiano.
- Correa Martínez, A. M., Rodríguez, G., Arango, M. I., Zapata, G. y Bermúdez, J. G. (2018). *Catálogo de unidades litoestratigráficas de Colombia. Riolitas del alto Los Cacaos*. Medellín: Servicio Geológico Colombiano.
- Daconte, R. y Salinas, R. (1980). *Geología de las planchas 66 Miraflores y 76 Ocaña. Departamento Norte de Santander. Memoria Explicativa. Escala 1:100.000*. Bucaramanga: Ingeominas.
- Debon, F. y Le Fort, P. (1983). A chemical-mineralogical classification of common plutonic rocks and associations. *Earth and Environmental Science Transactions of The Royal Society of Edinburgh*, 73 (3), 153-149. <https://doi.org/10.1017/S0263593300010117>.
- Etayo Serna, F., Barrero, D., Lozano, H., Espinosa, A., González, H., Orrego, A., Ballesteros, I., Forero, H., Ramírez, C., Zambrano Ortiz, F., Duque Caro, H., Vargas, R., Núñez, A., Alvarez, J., Ropain, C., Cardozo, E., Galvis, N., Sarmiento, L., Alberts, J. P., Case, J. E., Singer, D. A., Bowen, R. W., Berger, B.R., Cox, D. P. y Hodges, C. A. (1985). *Mapa de terrenos geológicos de Colombia*. Publicaciones Geológicas Especiales del Ingeominas 14, Bogotá: Ingeominas.

- Frost, B. R. y Frost, C. D. (2008). A geochemical classification for feldspathic igneous rocks. *Journal of Petrology*, 49 (11), 1955-1969. <https://doi.org/10.1093/petrology/egn054>.
- Frost, R. B., Barnes, C. G., Collins, W. J., Arculus, R. J., Ellis, D. J. y Frost, C. D. (2001). A geochemical classification for granitic rocks. *Journal of Petrology*, 42 (11), 2033-2048. <https://doi.org/10.1093/petrology/42.11.2033>.
- Fuquen, J., Ceballos, L., Pedraza, A. y Marín, E. (2010). *Geología de la plancha 98 Durania. Escala 1:100.000.* Bogotá: Ingeominas.
- García, C. y Ríos, C. (1999). *Metamorfismo y metalogénesis asociada del Macizo de Santander, cordillera Oriental, Colombia.* Informe final Proyecto de Investigación 1102-05-083-95. Bucaramanga: Colciencias y Universidad Industrial de Santander.
- Goldsmith, R., Marvin, R. F. y Mehnert, H. H. (1971). *Radiometric ages in the Santander Massif, Eastern Cordillera, Colombian Andes.* U.S. Geological Survey Professional Paper 750-D, D44-D49.
- Harris, N. B. W., Pearce, J. A. y Tindle, A. G. (1986). Geochemical characteristics of collision zone magmatism. En M. P. Coward y A. C. Ries (eds.), *Collision tectonics* (pp. 67-81). Special publication 19. London: Geological Society of London. <http://dx.doi.org/10.10144/GSL.SP.1986.019.01.04>.
- Janoušek, V., Farrow, C. M. y Erban, V. (2006). Interpretation of whole-rock geochemical data in igneous geochemistry: Introducing geochemical data toolkit (GCDkit). *Journal of Petrology*, 47 (6), 1255-1259. <https://doi.org/10.1093/petrology/egl013>.
- Leal-Mejía, H. (2011). Phanerozoic gold metallogeny in the Colombian Andes: A tectono-magmatic approach (tesis de doctorado). Universitat de Barcelona, España.
- Ludwig, K. (2008). *Isoplot version 4.15: A geochronological toolkit for Microsoft Excel.* Berkeley Geochronology Center, Special Publication (4).
- Mantilla Figueiroa, L. C., Bissig, T., Valencia. V. y Hart , C. (2013). The magmatic history of the Vetas-California mining district, Santander Massif Eastern Cordillera, Colombia. *Journal of South American Earth Sciences*, 45, 235-249. <https://doi.org/10.1016/j.jsames.2013.03.006>.
- McDonough, W. F. y Sun, S. S. (1995). The composition of the Earth. *Chemical Geology*, 120 (3), 223-253. [https://doi.org/10.1016/0009-2541\(94\)00140-4](https://doi.org/10.1016/0009-2541(94)00140-4).
- Middlemost, E. A. K. (1985). *Magmas and magmatic rocks.* London: Longman.
- Middlemost, E. A. K. (1994). Naming materials in the magma/igneous rock system. *Earth-Science Reviews*, 37 (3-4), 215-224. [https://doi.org/10.1016/0012-8252\(94\)90029-9](https://doi.org/10.1016/0012-8252(94)90029-9).
- Nakamura, N. (1974). Determination of REE, Ba, Fe, Mg, Na and K in carbonaceous and ordinary chondrites. *Geochimica et Cosmochimica Acta*, 38 (5), 757-775. [https://doi.org/10.1016/0016-7037\(74\)90149-5](https://doi.org/10.1016/0016-7037(74)90149-5).
- Nardi, L. V. S., Formoso, M. L. L., Müller, I. F., Fontana, E., Jarvis, K. y Lamarão, C. (2013). Zircon/rock partition coefficients of REEs, Y, Th, U, Nb, and Ta in granitic rocks: Uses for provenance and mineral exploration purposes. *Chemical Geology*, 335, 1-7. <https://doi.org/10.1016/j.chemgeo.2012.10.043>.
- Ordóñez Cardona, O., Restrepo Álvarez, J. J. y Pimentel, M. M. (2006). Geochronological and isotopical review of pre-Devonian crustal basement of the Colombian Andes. *Journal of South American Earth Sciences*, 21 (4), 372-382. <https://doi.org/10.1016/j.jsames.2006.07.005>.
- Ordóñez Carmona, O. (2001). Caracterização isotópica Rb-Sr e Sm-Nd dos principais eventos magmáticos nos Andes colombianos (tesis de doctorado). Universidade de Brasilia.
- Pearce, J. A. (2008). Geochemical fingerprinting of oceanic basalts with applications to ophiolite classification and the search for Archean oceanic crust. *Lithos*, 100 (1-4), 14-48. <https://doi.org/10.1016/j.lithos.2007.06.016>.
- Peccerillo, A. y Taylor, S. R. (1976). Geochemistry of Eocene calc-alkaline volcanic rocks from the Kastamonu area, Northern Turkey. *Contributions to Mineralogy and Petrology*, 58 (1), 63-81. <https://doi.org/10.1007/BF00384745>.
- Pérez Arvizu, O., Ortega Obregón, C., Solari, L. y Gómez Tuena, A. (2010). Aplicaciones del sistema LA-ICPMS del Centro de Geociencias de la UNAM. Simposio de Metrología 2010, Querétaro, México.
- Restrepo, J. J. y Toussaint, J. F. (1988). Terranes and continental accretion in the Colombian Andes. *Episodes*, 11 (3), 189-193.
- Restrepo, J. J., Ordóñez Carmona, O., Armstrong, R. y Pimentel, M. (2011). Triassic metamorphism in the northern part of the Tahamí Terrane of the Central Cordillera of Colombia. *Journal of South Amer-*

- ican Earth Sciences, 32 (4), 497-507. <https://doi.org/10.1016/j.jsames.2011.04.009>.
- Restrepo-Pace, P., Ruiz, J., Gehrels, G. y Cosca, M. (1997). Geochronology and Nd isotopic data of the Grenville-age rocks in the Colombian Andes: New constraints for Late Proterozoic-Early Paleozoic paleo-continental reconstructions of the Americas. *Earth and Planetary Science Letters*, 150 (3-4), 427-441. [https://doi.org/10.1016/S0012-821X\(97\)00091-5](https://doi.org/10.1016/S0012-821X(97)00091-5).
- Rieder, M., Cavazzini, G., D'Yakonov, Y., Frank Kamennetskii, V., Gottardi, G., Guggenheim, S., Koval, P. W., Müller, G., Neiva, A. M. R., Radoslovich, E. W., Robert, J.-L., Sassi, F. P., Takeda, H., Weiss, Z. y Woines, D. R. (1998). Nomenclature of the micas. *Clays and Clay Minerals*, 46 (5): 586-595. <https://doi.org/10.1346/CCMN.1998.0460513>.
- Ríos, C., García, C. y Takusa, A. (2003). Tectono-metamorphic evolution of the Silgara Formation metamorphic rocks in the Southwestern Santander Massif, Colombian Andes. *Journal of South American Earth Sciences*, 16 (2), 133-154. [https://doi.org/10.1016/S0895-9811\(03\)00025-7](https://doi.org/10.1016/S0895-9811(03)00025-7).
- Rodríguez, G., Arango, M. I., Correa Martínez, A. M. y Zapata, G. (2018). *Catálogo de unidades litoestratigráficas de Colombia. Riolita de San Joaquín*. Medellín: Servicio Geológico Colombiano.
- Rodríguez, G., Correa Martínez, A. M., Zapata, G. y Arango, M. I. (2016). *Catálogo de unidades litoestratigráficas de Colombia. Monzogranito de La Corcova*. Medellín: Servicio Geológico Colombiano.
- Royer, J. M. y Clavijo, J. (2001). *Mapa geológico generalizado del departamento de Santander. Escala 1:300.000. Memoria explicativa*. Bogotá: Ingeominas.
- Shand, S. J. (1943). *Eruptive rocks: Their genesis, composition, classification, and their relation to ore-deposits with a chapter on meteorite*. New York: John Wiley & Sons.
- Smith, J. V. y Brown, W. L. (1988). *Feldspar minerals. I. Crystal structures, physical, chemical and microtextural properties* (2.^a ed.). Berlin: Springer-Verlag.
- Streckeisen, A. (1976). Classification and nomenclature of plutonic rocks: recommendations of the IUGS subcommission on the systematics of Igneous Rocks. *Geologische Rundschau*, 63 (2), 773-786. <https://doi.org/10.1007/BF01820841>.
- Streckeisen, A. (1978). Classification and nomenclature of volcanic rocks, lamprophyres, carbonatites and melilitic rocks; recommendation and suggestions. *Neues Jahrbuch für Mineralogie*, 134, 1-14.
- Sun, S. S. y McDonough, W. S. (1989). *Chemical and isotopic systematics of oceanic basalts: Implications for mantle composition and processes*. Special Publications 42. London: Geological Society.
- Van der Lelij, R. (2013). Reconstructing North-Western Gondwana with implications for the evolution of the Iapetus and Rheic Oceans: A geochronological, thermochronological and geochemical study (thesis de doctorado). Université de Genève.
- Wang, Q., Zhu, D. C., Zhao, Z. D., Guan, Q., Zhang, X. Q., Sui, Q. L., Chu Hu, Z. y Mo, X. X. (2012). Magmatic zircons from I-, S- and A-type granitoids in Tibet: Trace element characteristics and their application to detrital zircon provenance study. *Journal of Asian Earth Sciences*, 53, 59-66. <https://doi.org/10.1016/j.jseaes.2011.07.027>.
- Ward, D. E., Goldsmith, R., Jimeno, A., Cruz, J., Restrepo, H. y Gómez, E. (1973). *Mapa geológico de Colombia, cuadrángulo H-12 Bucaramanga, planchas 109 Rionegro-120 Bucaramanga, cuadrángulo H-13, Pamplona, planchas 110 Pamplona-121 Cerrito. Departamento de Santander. Memoria Explicativa. Escala 1:100.000*, Bogotá: Ingeominas.
- Whalen, J. B., Currie, K. L. y Chappell, B. W. (1987). A-type granites: Geochemical characteristics, discrimination and petrogenesis. *Contributions to Mineralogy and Petrology*, 95 (4), 407-419. <https://doi.org/10.1007/BF00402202>.
- Winter, J. D. (2014). *Principles of igneous and metamorphic petrology* (2.^a ed.). Harlow: Pearson.
- Zapata, G., Arango, M. I., Rodríguez, G. y Correa Martínez, A. M. (2018). *Catálogo de unidades litoestratigráficas de Colombia. Riolitas El Uvo*. Medellín: Servicio Geológico Colombiano.
- Zapata, G., Correa M, A. M., Rodríguez, G. y Arango, M. I. (2016). *Catálogo de unidades litoestratigráficas de Colombia. Granito de Pescadero*. Medellín: Servicio Geológico Colombiano.

ANEXOS

Anexo 1. Contenido modal del Monzogranito de Rionegro

IGM	N. campo	E	N	Qtz	PI	Fsp	Bt	Hbl	Cpx	Opx	Tr/Act	Ms	Chl	Op	Ap	Zrn	Ttn	Ep	Matriz	Textura	Clasificación
70801	EA-717	1103352	1328059	37	16	46	1					x	x	x	x	x			Holocristalina alotriomorfa	Granito felsico	
70807	EA-736	1096402	1323699	32	20	47	0,5				0,5	x	x			X			Holocristalina alotriomorfa	Granito felsico	
70808	EA-738	1095482	1323399	34	20	45	0,5				0,5	< 1				x			Holocristalina alotriomorfa	Granito felsico	
70811	EA-754	1096342	1320749	18	15	65	< 1					x	x	Tr					Holocristalina, alotriomorfa	Granito felsico	
10888	HCH 1	1098572	1311069	33,2	49,1	15,5	2,2									Tr			Holocristalina, hipidiomorfa inequigranular	Brecha (monzogranito)	
10941	H CH 53	1105372	1340599	11,1	46,6	22,2					2,2	Tr				3,1	14,8		Cataclástica (cuarzomonzodiorita)		
10942	H CH 54	1104972	1340259	15,6	46,3	30,5	2,2									2,2	3,2		Cataclástica (cuarzomonzonita)		
10936	H CH 48	1091702	1337019	9,2	41,5	4,6	2,5	2							Tr	Tr	40,2		Cataclásita	Cataclasita	
70839	LJM-411	1091622	1334399	23,8	29,7	4,5					0,5		Tr	Tr		1,9	39,6		Cataclásita	Cataclasita	
72056	HM-253	1094822	1340059	37	40	15	x				x	x		Tr	2	x			Cataclásita de granodiorita		
70840	LJM-411A	1091623	1334400	16,2	28,6	11,9					0,5		Tr	Tr			42,8		Cataclásita/brecha cataclásica		
70884	LJM-452	1091582	1337199	19,2	63,4	7,4					7,8		x		x	1,6			Hipidiomorfa granular	Cuarzodiorita	
72054	HM-246	1094632	1342919	23	55	5	15	Tr			x	0,5	Tr	Tr	1	0,5			Hipidiomorfa micrográfica	Cuarzodiorita	
74443	OP-432	1093043	1373559	20	54	< 1	18				x	3	x	x	2	3			Holocristalina, hipidiomorfa	Cuarzodiorita	
72051	HM-235	1092722	1340789	15	60	8					15				2	3			Hipidiomorfa	Cuarzodiorita	
74108	HM-1100	1089122	1334939	15	30	5	44				Tr	Tr	x	1	2	3			Holocristalina hipidiomorfa	Cuarzodiorita hornblendita	
900997	LMC-081	1088010	1344458	5	45	9	11	20	3			3	0,5	Tr	3				Alotriomorfa, equigranular	Cuarzomonzodiorita	
70837	HM-163	1103872	1326279	15	33	38	4				x	5	x			4			Holocristalina alotriomorfa, con efectos cataclásicos	Cuarzomonzonita	
70841	LJM-412	1091622	1334859	23	43	30					5	x	x	x	x	x			Holocristalina alotriomorfa	Cuarzomonzonita	
70859	LJM-428	1100392	1337879	14	52	32	1				x	x	x	x		x	x		Holocristalina, alotriomorfa	Cuarzomonzonita	
70863	LJM-432	1103242	1337039	32	37	25	6					x	x						Holocristalina alotriomorfa	Cuarzomonzonita	
70892	LJM-461	1094732	1337789	17,9	40,5	35	3,1				x	x				x			Hipidiomorfa granular	Cuarzomonzonita	
70897	LJM-466	1093682	1337569	14,5	34,5	43	5	1			3	1	Tr	Tr		x			Hipidiomorfa	Cuarzomonzonita	
900950	MIA-647	1103873	1300073	12,4	40,7	31,5	12,7				x	0,5	1	Tr	1,2	x			Holocristalina subidiomorfa inequigranular	Cuarzomonzonita	
70824	HM-141	1096412	1321359	19	35	45					x	x	1	x	x	x			Holocristalina alotriomorfa con deformación	Cuarzomonzonita con efectos cataclásicos	
11196	JA 84	1113692	1307579	16	13	70	Tr				1	x							Hipidiomorfa inequigranular	Cuarzosienita	
72053	HM-243	1096672	1340859	40		20	15		x		10	10			1	1			Porfirítica con matriz fanerítica	Diorita	
900998	LMC-082	1087836	1343412	47		10	35				4	1	Tr	3	x				Alotriomorfa equigranular	Diorita	
71244	EA-765	1088372	1339369	44		Tr	11		43		1				Tr	x			Hipidiomorfa granular	Diorita anfibólica	
72032	HM-185A	1094443	1345819	10	30		25				10	3	2		8	10			Hipiomorfica granular	Diorita hornblendita,	
31183	EV 10	1082603	1357309	2,1	23,2		Tr	70								1,1	3,3		Holocristalina hipidiomorfa	Diorita hornblendita	
74446	OP-460	1095093	1368029	8	80		9				x	1	x	x	x	2			Hipidiomorfa con orientación	Diorita néisica	
74463	OP-559	1089403	1350199	5	68		13	12			x	x			x	x			Holocristalina	Diorita	
70861	LJM-430	1102272	1337119	x	x	x					x	x	x	x	x	x			Esquistosa	Esquistoso cuarzomicáceo	
31147		1093712	1373551	7,6	0,7		59				2,6	6,9					23		Holocristalina inequigranular	Gabro propilitizado	
31146		1093636	1373369	1,1	36,9	0,6			23,6	26,4		10,3	Tr		1,1				Subidiomorfa inequigranular	Gabronitora px-hornblendica	
70842	LJM-413	1092542	1337239	15	52	25					3	x			x	6			Holocristalina alotriomorfa	Granodiorita	
70813	HM-101	1100312	1327599	36	20	43	< 1				x	< 1	x		x				Holocristalina alotriomorfa	Granito	
70820	HM-128	1092102	1323979	16	19	65	Tr				x	Tr		x		x			Holocristalina alotriomorfa	Granito	
70823	HM-139	1096382	1322199	32	21	45	x				x	x	1	x	x	x			Holocristalina alotriomorfa	Granito	
70838	HM-164	1104582	1327129	16	22	60	2				x		x						Holocristalina alotriomorfa	Granito	
70865	LJM-434	1104392	1338179	26	24	50	x				x	x	x		x				Holocristalina alotriomorfa	Granito	
70872	LJM-441	1105112	1340559	25	17,5	44,5					7,5	1	x		0,1				Alotriomorfa cataclásica	Granito	
71253	EA-782	1089742	1335959	42,5	8	43,5	2				2	1							Granoítica	Granito	
72029	HM-169	1093653	1349679	15	28	55					2	1	Tr		Tr	Tr			Holocristalina	Granito	
72052	HM-240	1096262	1341649	10	20	60					3		Tr	4	4			Hipidiomorfa, micrográfica, mirmecítica	Granito		

IGM	N. campo	E	N	Qtz	Pl	Fsp	Bt	Hbl	Cpx	Opx	Tr/Act	Ms	Chl	Op	Ap	Zrn	Ttn	Ep	Matriz	Textura	Clasificación
74440	OP-428	1092203	1374959	24	23	51	x				x	x	x	x	x	x			Holocristalina alotriomorfa	Granito	
74864	LJM-1356	1076733	1396729	39	20	40	x						x			x			Holocristalina hipidiomorfa	Granito	
70895	LJM-464	1104802	1338299	25,3	10	60					Tr	1	Tr			Tr			Alotriomorfa	Granito (alasquita)	
70925	JR-843	1105252	1336499	23,5	19,5	49,5					3	0,3	x						Alotriomorfa	Granito (alasquita)	
71249	EA-774	1089792	1335379	20	8	70							Tr	Tr	2				Alotriomorfa, perítica gráfica	Granito (alasquita)	
71250	EA-777	1088702	1333309	27	10	60	Tr				1	1	1			Tr	Tr		Alotriomorfa, perítica	Granito (alasquita)	
72047	HM-223A	1103692	1327989	25	19	55						1				Tr			Hipidiomorfa	Granito (alasquita)	
72048	HM-223B	1103432	1327319	30	20	50									3			Hipiomorfica con deformación	Granito cataclástico (alasquita)		
72045	HM-221	1102652	1327759	15		50					1		6			30			Cristaloblastica	Granito con venas de epidota	
72044	HM-220	1090972	1329549	30	10	60							Tr						Hipidiomorfa	Granito gráfico (alasquita)	
70866	LJM-435	1104712	1338479	33	6	61	x					x	x	x	x	x			Micrográfica	Granito micrográfico	
70893	LJM-462	1105952	1340269	15	10	70	1				Tr		2			Tr			Perfíritica con matriz	Granito porfirítico (alasquita)	
10937	H CH 49	1095102	1337699	34,8	39,9	15,2	9,5						Tr			0,5			Holocristalina inequigranular	Granodiorita	
70806	EA-731	1095122	1330109	20	56	23	1				x	x	x	x		x			Holocristalina alotriomorfa	Granodiorita	
70875	LJM-443	1097732	1337839	32	43	21,2						2,5	0,1		0,2	1			Hipidiomorfa, en parte brechoides	Granodiorita	
70877	LJM-445	1096422	1337779	4,5	62,5	20						3,8				9,2			Hipidiomorfa granular	Granodiorita	
70878	LJM-446	1095512	1337719	42,5	29	12						7			1,2	5,6			Hipidiomorfa granular	Granodiorita	
70891	LJM-460	1095952	1337509	11	54	30						2	1	Tr		2			Hipidiomorfa	Granodiorita	
70979	AG-2262A	1097722	1337839	31	42,5	18	Tr				Tr	7,4	1	Tr					Hipidiomorfa	Granodiorita	
72034	HM-192	1095133	1347059	28,5	48,5	18,4	2,5						x	1	0,8				Porfirítica con matriz fannerítica	Granodiorita	
72035	HM-193	1095803	1347189	19,7	47,4	20						11	1	1	Tr	0,9			Porfirítica con matriz fannerítica	Granodiorita	
72055	HM-252	1095572	1340069	5,6	53,8	20	10	5,6			x	2		Tr	1				Hipidiomorfa	Granodiorita	
74869	LJM-1403	1077503	1399199	20,1	54,4	16,1	9,4					Tr	Tr	Tr					Holocristalina alotriomorfa	Granodiorita	
120046	OP-908A	1106973	1391619	19	51	11	19				x	x	x		x			Holocristalina alotriomorfa	Granodiorita		
900949	MIA-646B	1102880	1297649	21,9	46,6	15,6	14,3					1,1			0,5			Holocristalina inequigranular	Granodiorita		
900952	MIA-648B	1104858	1301287	21,1	36,9	19,4	11,7	1,5				1,2	1,6	2,1	4,5	Tr			Hipidiomorfa	Granodiorita	
900999	LMC-084	1088410	1339422	14	40	15	29					Tr	Tr	Tr	2	x			Alotriomorfa inequigranular, ligeramente orientada	Granodiorita con hornblendita	
70876	LJM-444	1097152	1337629	22,5	46	20,5						x				12			Hipidiomorfa granular	Granodiorita porfirítica	
900954	MIA-649B	1107525	1305963	27	47,5	9,7	13,2				x	x	1,1	1	0,5	x			Holocristalina inequigranular	Granodiorita	
74926	LJM-1404	1080473	1388019	27	55	18					x		x	x	x	x			Cataclástica	Granodiorita? Transformada en partes en milonita-neis por cataclasis	
900985	GZ-6848A	1094480	1337675	19,5	56,3	10,4	12,1								1,7				Hipidiomorfa granular	Granodiorita	
10943	H CH 55	1101712	1338699	34,6	25,6	37,1	2,3				0,2		0,2						Granofels (metamonzogranito facies anfibolita)		
31179	EV 777	1088242	1340739	47,9	19,2	24,9	2,3				2,6	Tr	Tr		3,1				Granofels (metamonzogranito facies anfibolita)		
31178	EV 778	1088442	1340559	20	35	18	23				1	Tr	Tr	3	x			Granofels de cuarzofeldespato y hornblendita facies anfibolita			
900973	GR-6743	1083832	1397463	36,5	38,9	21,6	2,3				0,6	Tr	Tr	Tr					Alotriomorfa	Límite granodiorita-monzogranito	
31160	RV 2	1089732	1335869	39,5	26	32	2				x	Tr	Tr		0,5				Hipidiomorfa	Metamonzogranito	
70889	LJM-458	1103142	1337699	34	39,5	21	3,1				Tr	1	Tr	Tr	Tr	1			Brechoide con cohesión primaria	Microbrecha	
70890	LJM-459	1098352	1337399	29,5	22,5	39					1	4,7			2				Brechoide con porfiroclastos	Microbrecha monzogranito	
70826	HM-143	1098302	1320109	36	20	43	x				x		x		x				Holocristalina alotriomorfa	Microgranito	
10870	EA 167	1106802	1316379	31,7	35,8	29,8	2				0,7	Tr	Tr	Tr					Alotriomorfa	Monzogranito	
10889	HCH 2	1098642	1310819	26,7	39,6	32,2	0,8					0,7							Holocristalina inequigranular	Monzogranito	
10893	HCH 5	1099342	1310319	22,6	27,5	42,5	5,8					1,6							Holocristalina hipidiomorfa	Monzogranito	
10938	H CH 50	1099932	1337959	53,3	18,1	26,7	0,6					1,3							Holocristalina inequigranular	Monzogranito	
10974		1083776	1397131	29,5	31,7	37,4	0,7				0,7	Tr	Tr	Tr					Alotriomorfa	Monzogranito	
10975		1084708	1395616	37	30,2	32,8	Tr				Tr		Tr	Tr					Alotriomorfa	Monzogranito	
10976		1086477	1393163	41,1	31,8	24	3,1				Tr		Tr	Tr	Tr				Alotriomorfa	Monzogranito	
10977		1087250	1392618	31,8	32,6	35,6	Tr				Tr		Tr		Tr				Alotriomorfa	Monzogranito	
10979		1087477	1392921	48,8	20,3	30,1	0,8				Tr		Tr	Tr					Alotriomorfa	Monzogranito	
10980		1096023	1372028	35,4	33,1	31,5	Tr				Tr		Tr	Tr					Alotriomorfa	Monzogranito	
11172	JA 60	1116392	1302489	31	25	34	10				x	Tr	Tr	Tr	x				Alotriomorfa inequigranular	Monzogranito	

IGM	N. campo	E	N	Qtz	Pl	Fsp	Bt	Hbl	Cpx	Opx	Tr/Act	Ms	Chl	Op	Ap	Zrn	Ttn	Ep	Matriz	Textura	Clasificación
11197	JA-85	1113992	1307669	31	26	36,5	6,5					x	x	Tr	Tr	Tr	x	x		Alotriomorfa inequigranular	Monzogranito
70653	AG-2167A	1139473	1333679	30	35	35	2				2					Tr				Hipidiomorfa	Monzogranito
70656	AG-2174	1141472	1330738	25	30	37	4					2				1	1			Hipidiomorfa	Monzogranito
70707	AG-2176A	1150862	1320268	35	35	25	<1				5	x	Tr	Tr		<1	x		Holocristalina alotriomorfa	Monzogranito	
70798	EA-707	1104412	1328939	27	40	21	5				5	x	x	x		x	x		Holocristalina alotriomorfa, micrográfica	Monzogranito	
70800	EA-714	1101902	1327639	38	34	21	4					x	2	x	x				Holocristalina alotriomorfa	Monzogranito	
70802	EA-719	1103372	1328379	26	37	27	8					1	x	x		x			Holocristalina alotriomorfa	Monzogranito	
70805	EA-729	1096022	1329249	25	27	45	3					x	x	x	x		x		Holocristalina alotriomorfa	Monzogranito	
70810	EA-751	1094572	1323599	43	22	35	0,5				0,5		<1							Holocristalina alotriomorfa	Monzogranito
70812	HM-100	1100782	1327719	32	32	35	x					x	x	x		x	x		Holocristalina alotriomorfa	Monzogranito	
70814	HM-108	1097402	1328479	32	33	34						x	x	x		Tr		x	Holocristalina alotriomorfa	Monzogranito	
70815	HM-111	1097102	1328719	22	43	33	2					x	x	x	x	x			Holocristalina alotriomorfa	Monzogranito	
70817	HM-114	1095402	1326199	27	37	33	1				1		1	x	Tr	x			Holocristalina alotriomorfa	Monzogranito	
70818	HM-115	1096302	1326829	34	25	37	1					x	Tr						Holocristalina alotriomorfa	Monzogranito	
70819	HM-116	1097682	1327659	22	37	40	1					x	1	x	x	x	x		Holocristalina alotriomorfa	Monzogranito	
70822	HM-136	1095522	1322989	35	24	39	1					x	1	x		x			Holocristalina alotriomorfa	Monzogranito	
70828	HM-146	1101152	1320839	36	31	30	2,5					x	x	x	x	x			Holocristalina alotriomorfa	Monzogranito	
70829	HM-150	1090932	1327329	21	19	59	1					x	x			x			Holocristalina alotriomorfa	Monzogranito	
70830	HM-152	1091712	1328739	32	31	37	<1					x		Tr	?	x			Holocristalina alotriomorfa	Monzogranito	
70831	HM-153	1096002	1329299	25	36	32	5					x	1			x			Holocristalina alotriomorfa	Monzogranito	
70832	HM-154	1095722	1329549	22	32	44					2		x						Holocristalina alotriomorfa	Monzogranito	
70833	HM-155	1095432	1329839	34	30	35	1					x	Tr	x	x	x			Holocristalina alotriomorfa	Monzogranito	
70834	HM-4159	1101932	1327099	29	25	44	x				1	x	x	x		x	x		Holocristalina alotriomorfa	Monzogranito	
70855	LJM-425	1105532	1340279	41	26	31						x	x	x	x	x	x		Holocristalina alotriomorfa	Monzogranito	
70856	LJM-426	1098772	1337669	31	42	24						x	x	x	x	x	x		Holocristalina alotriomorfa	Monzogranito	
70858	LJM-427	1099852	1337779	44	31	24						x	x	x		x			Holocristalina alotriomorfa	Monzogranito	
70860	LJM-429	1101802	1338039	36	35	24	x					x	x	x		x			Holocristalina alotriomorfa	Monzogranito	
70864	LJM-433	1103722	1328469	27	34	35	3					x	x	x	x	x	x		Holocristalina alotriomorfa	Monzogranito	
70867	LJM-436	1105002	1338679	28	30	41	1				x?	x	x	x	x	x			Holocristalina alotriomorfa con efectos cataclásicos	Monzogranito	
70868	LJM-437	1104782	1339729	16	40	44						x	x			x			Hipidiomorfa	Monzogranito	
70874	LJM-442	1098802	1337949	38,5	29,5	24,5		Tr				5		Tr		1	2,1			Hipidiomorfa poiquilitica con antiperitas	Monzogranito
70894	LJM-463	1105242	1338659	31	29,7	36,2						2,4	x	x		x				Hipidiomorfa	Monzogranito
70896	LJM-465	1093682	1337199	26,7	32	32	1						Tr		Tr	Tr				Hipidiomorfa	Monzogranito
70921	JR-839	1105082	1338179	29,3	29	36,5						0,5								Alotriomorfa	Monzogranito
70922	JR-840	1105192	1337879	33,5	41	23,2	1,7	Tr				x	x				0,6			Holocristalina	Monzogranito
70924	JR-842	1105252	1336859	22	39	32	0,9					3,1	0,7	Tr			2,4			Alotriomorfa	Monzogranito
70927	JR-845	1105902	1338489	31,5	25	38,5					0,2	3,8				0,6			Hipidiomorfa con protoclasis	Monzogranito	
70928	JR-846	1106242	1338389	35	25,5	36	0,5					3,3	0,5	Tr						Porfirítica con matriz fannerítica	Monzogranito
70929	JR-847	1106212	1338379	27,5	29	42						x	0,5			1				Alotriomorfa de grano fino	Monzogranito
70966	AG-2253B	1105172	1340689	30,5	25,5	38						5	1		Tr					Hipidiomorfa	Monzogranito
70969	AG-2255	1104472	1338479	30,5	27,5	34	6					2	1							Hipidiomorfa	Monzogranito
72039	HM-206	1099952	1321999	40,5	32,5	24					Tr	2	0,2	Tr		0,2				Fanerítica, mirmecítica y pertítica	Monzogranito
72041	HM-214	1102412	1328779	20	20	35	10					2	1	Tr	Tr	2	5			Holocristalina pertítica y poiquilitica	Monzogranito
72059	HM-262	1098152	1340339	43	32	22,5						2,3		x						Hipidiomorfa	Monzogranito
72062	HM-272B	1100083	1341160	32	23	41						1	1			x				Hipidiomorfa pertitica	Monzogranito
72063	HM-287	1102422	1343409	42,5	23	32,5						1	1							Hipidiomorfa	Monzogranito
74341	LJM 1001	1103423	1357969	20	40	30	2	3				Tr	1	1	Tr	1				Hipidiomorfa	Monzogranito
74344	LJM 1010	1103103	1356279	30	25	35	1,5	1,5				2,5				1				Hipidiomorfa	Monzogranito
74429		1099961	1363609	20,1	36,2	40,5	2,2					0,8		0,2						Hipidiomorfa	Monzogranito
74459	OP-539	1095263	1353079	38	26	35	1					x	x		x					Holocristalina alotriomorfa	Monzogranito
900953	MIA-649A	1107525	1305963	23,8	26,5	41,9	6,1					x	x	1,2	0,5	Tr	x			Subidiomorfa equigranular	Monzogranito

IGM	N. campo	E	N	Qtz	Pl	Fsp	Bt	Hbl	Cpx	Opx	Tr/Act	Ms	Chl	Op	Ap	Zrn	Ttn	Ep	Matriz	Textura	Clasificación
900969	GR-6736	1107549	1318415	39,1	24,5	35,8	0,7				Tr		Tr	Tr	Tr					Alotriomorfa	Monzogranito
900971	GR-6740	1105544	1340405	32,7	30,8	34,3	1,3					0,6		Tr						Alotriomorfa	Monzogranito
900974	GR-6744	1084623	1395986	30,8	25,3	38,3	4,9					0,7	Tr	Tr						Subidiomorfa inequigranular	Monzogranito
70803	EA-723	1100352	1326799	36	32	29					1		1							Holocristalina alotriomorfa	Monzogranito aplítico
70799	EA-712	1103762	1328759	40	25	32						x	x	x	x	2				Holocristalina alotriomorfa, con efectos cataclásicos	Monzogranito con efectos cataclásicos
70654	AG-2167B	1139472	1333678	40	25	31	4													Hipidiomorfa	Monzogranito porfirítico
11198	JA 86	1114102	1307559	23,5	25,5	45	6					x	x	Tr	Tr	Tr	x	x		Alotriomorfa inequigranular	Monzogranito límite con sienogranito
70923	JR-841	1105252	1337279	5,3	40,5	40	x					1,5	0,5	Tr			5,1			Hipidiomorfa con deformación cataclástica	Monzonita
72042	HM-215	1102012	1328729	8	35	30		10					x		x	5	10			Hipiomorfa	Monzonita
70926	JR-844	1105582	1338329	0,7	35,5	53,5						3,8	0,3			5,4			Alotriomorfa	Monzonita brechada	
70816	HM-112	1094922	1326399	1	53	45	1					x	x	x	x	x			Holocristalina alotriomorfa con efectos cataclásicos	Monzonita con cataclasis	
70873	LJM-441A	1105113	1340560	9								80				1				Holocristalina	Roca cloritizada
70809	EA-739	1094572	1326629	54		29	x							< 1		16				Holocristalina alotriomorfa	Granito
10939	H CH 51	1103672	1338299	34,2	21,2	41,4	3,2							Tr						Holocristalina inequigranular	Sienogranito
10981		1096790	1368704	31,3	22,9	45	0,8					Tr		Tr						Alotriomorfa	Sienogranito
11177	JA 65	1114922	1300209	23,5	22,5	46	7					x	1	Tr	Tr		x			Hipidiomorfa inequigranular	Sienogranito
11461	EA 280	1107222	1314129	30,6	21,3	46,3	0,8						1		Tr					Alotriomorfa	Sienogranito
72040	HM-211	1097772	1322639	37	19,6	41						2	x	0,1	0,2	0,2	0,2			Hipidiomorfa	Sienogranito
72043	HM-219	1091882	1329999	20	22	54	4					x	x	x	x	x			Alotriomorfa, gráfica, pertítica	Sienogranito	
72060	HM-267	1100542	1340539	30	20	46	2,5					1	x	0,5			x		Hipidiomorfa, pertítica	Sienogranito	
74425		1101736	1362608	45,1	6,9	47,1	0,9							Tr						Hipidiomorfa	Sienogranito
901011	MIA-650B	1099016	1313299	26,5	21	45,4	4,8					Tr		1,6		0,7				Alotriomorfa inequigranular	Sienogranito
901028	TCR-388	1089344	1335770	28	14	53,5	2					x	1,5			0,5	x			Hipidiomorfa gráfica, pertítica	Sienogranito
10874	EA 171	1105102	1317149	37,2	54,5	0,8	7,3					x	Tr	0,2	Tr	Tr	x			Subidiomorfa	Tonalita
31180	EV 2	1081873	1354259	24	52		10	12					Tr	Tr		2	x			Hipidiomorfa	Tonalita
74932	LJM-1419	1081573	1388019	21	41	4,5	23	9					0,5	0,3	0,5	0,2	x			Hipidiomorfa	Tonalita

Símbolos de minerales: Qtz: cuarzo; Pl: plagioclasa; Fsp: feldespato; Bt: biotita; Hbl: hornblendita; Cpx: clinopiroxeno, Opx: ortopiroxeno; Tr: tremolita, Act: actinolita; Ms: moscovita; Chl: clorita; Op: opacos; Ap: apatito; Zrn: circón, Ttn: titanita; Ep: epidota.

E: este; N: norte

Anexo 2. Análisis isotópicos U-Pb en circón**GR-6743, análisis isotópicos U-Pb en circón**

Zr	U (ppm)	Th (ppm)	Th/U	$^{207}\text{Pb}/^{206}\text{Pb}$	$\pm 2\sigma$ abs	$^{207}\text{Pb}/^{235}\text{U}$	$\pm 2\sigma$ abs	$^{206}\text{Pb}/^{238}\text{U}$	$\pm 2\sigma$ abs	Correlación de errores	$^{208}\text{Pb}/^{232}\text{Th}$	$\pm 2\sigma$ abs	Disc%	Error	$^{206}\text{Pb}/^{238}\text{U}$	$\pm 2\sigma$ abs	$^{207}\text{Pb}/^{235}\text{U}$	$\pm 2\sigma$ abs	$^{207}\text{Pb}/^{206}\text{Pb}$	$\pm 2\sigma$ abs	Mejor edad (Ma)	\pm 2σ
Zr-017	156,9	177	1,1	0,0976	0,007	0,403	0,02	0,0306	0,0007	0,083	0,013	0,0006	43,382	8,33%	194,2	4,5	343	17	1.560	130	1.560	130
Zr-028	243	327	1,3	0,0922	0,008	0,442	0,04	0,0346	0,0011	0,293	0,013	0,0016	40,863	9,66%	219,4	6,7	371	29	1.450	140	1.450	140
Zr-012	267	625	2,3	0,059	0,021	0,24	0,11	0,0303	0,0012	0,536	0,01	0,0013	13,288	3,84%	192,5	7,4	222	69	540	310	192,5	7,4
Zr-031	268,9	420	1,6	0,0543	0,004	0,22	0,01	0,0293	0,0008	0,114	0,009	0,0004	7,264	2,68%	186,4	5	201	11	400	150	186,4	5
Zr-043	207,8	299,4	1,4	0,0536	0,004	0,216	0,02	0,0298	0,0007	0,11	0,009	0,0004	4,444	2,27%	189,2	4,3	198	13	350	150	189,2	4,3
Zr-011	123,5	122,7	1	0,0489	0,004	0,206	0,02	0,0301	0,0008	0,078	0,009	0,0005	-1,111	2,67%	191,1	5,1	189	14	140	180	191,1	5,1
Zr-039	302	437	1,4	0,054	0,005	0,224	0,02	0,0302	0,0007	0,14	0,009	0,0007	6,390	2,29%	191,9	4,4	205	18	340	170	191,9	4,4
Zr-038	630	956	1,5	0,0501	0,003	0,206	0,01	0,0304	0,0005	0,29	0,009	0,0004	-1,634	1,56%	192,8	3	189,7	8,5	200	120	192,8	3
Zr-020	499	856	1,7	0,0509	0,002	0,2133	0,01	0,0304	0,0006	0,023	0,009	0,0004	1,478	1,81%	193,3	3,5	196,2	6,8	220	100	193,3	3,5
Zr-013	349,4	259	0,7	0,0517	0,003	0,217	0,01	0,0305	0,0005	0,087	0,01	0,0004	2,814	1,76%	193,4	3,4	199	11	240	140	193,4	3,4
Zr-016	358	552	1,5	0,0505	0,003	0,212	0,01	0,0305	0,0006	0,062	0,01	0,0004	1,627	1,76%	193,5	3,4	196,7	9,3	220	120	193,5	3,4
Zr-029	437	498	1,1	0,0522	0,004	0,226	0,02	0,0305	0,001	0,215	0,01	0,0006	6,425	3,10%	193,7	6	207	13	320	120	193,7	6
Zr-018	202	261	1,3	0,0515	0,004	0,214	0,02	0,0305	0,0008	0,222	0,009	0,0005	2,172	2,43%	193,7	4,7	198	12	230	160	193,7	4,7
Zr-021	582	1.000	1,7	0,0513	0,003	0,21	0,01	0,0305	0,0008	0,33	0,009	0,0005	1,173	2,53%	193,7	4,9	196	11	230	140	193,7	4,9
Zr-041	158,6	142,6	0,9	0,0539	0,005	0,228	0,02	0,0306	0,0007	0,051	0,009	0,0005	5,728	2,27%	194,2	4,4	206	19	310	220	194,2	4,4
Zr-033	350,5	1240	3,5	0,0499	0,004	0,214	0,01	0,0307	0,0006	0,026	0,01	0,0006	0,612	1,90%	194,8	3,7	196	12	180	150	194,8	3,7
Zr-034	282,5	206,2	0,7	0,051	0,004	0,213	0,01	0,0307	0,0006	0,021	0,01	0,0005	0,964	1,95%	195,1	3,8	197	11	200	150	195,1	3,8
Zr-032	444	865	1,9	0,0535	0,004	0,221	0,01	0,0308	0,0005	0,394	0,01	0,0004	3,317	1,69%	195,3	3,3	202	10	310	140	195,3	3,3
Zr-044	261,2	284,4	1,1	0,0497	0,003	0,212	0,01	0,0308	0,0007	0,128	0,009	0,0004	-0,360	2,20%	195,4	4,3	194,7	9,6	160	130	195,4	4,3
Zr-025	380,1	485	1,3	0,0514	0,003	0,217	0,01	0,0308	0,0006	0,23	0,01	0,0004	1,111	1,94%	195,8	3,8	198	11	240	140	195,8	3,8
Zr-023	124,4	169,6	1,4	0,0492	0,005	0,21	0,02	0,0308	0,0007	0,07	0,01	0,0005	-1,451	2,25%	195,8	4,4	193	15	160	180	195,8	4,4
Zr-014	554	780	1,4	0,0518	0,003	0,219	0,01	0,0311	0,0006	0,174	0,01	0,0004	2,522	2,03%	197,1	4	202,2	8,6	250	120	197,1	4
Zr-015	62,8	104	1,7	0,0524	0,006	0,225	0,02	0,0312	0,0011	0,018	0,01	0,0006	2,206	3,56%	199,5	7,1	204	20	200	220	199,5	7,1
Zr-010	491	708	1,4	0,0513	0,003	0,223	0,01	0,0315	0,0006	0,245	0,01	0,0005	2,157	1,85%	199,6	3,7	204	8,9	240	120	199,6	3,7
Zr-037	305	466	1,5	0,0525	0,003	0,227	0,01	0,0317	0,0007	0,121	0,01	0,0005	2,947	2,29%	200,9	4,6	207	11	300	140	200,9	4,6
Zr-042	235	318	1,4	0,0509	0,006	0,22	0,03	0,0317	0,0015	0,021	0,01	0,0013	0,000	4,58%	201	9,2	201	22	210	220	201	9,2
Zr-022	138,1	140,1	1	0,0493	0,004	0,216	0,02	0,0319	0,0009	0,052	0,01	0,0006	-2,690	2,62%	202,3	5,3	197	14	120	170	202,3	5,3
Zr-019	155	184	1,2	0,0516	0,004	0,221	0,02	0,0319	0,0008	0,101	0,01	0,0005	-0,746	2,52%	202,5	5,1	201	14	210	170	202,5	5,1
Zr-036	104,3	71,1	0,7	0,0515	0,005	0,233	0,02	0,032	0,001	0,194	0,012	0,0008	3,744	2,95%	203,1	6	211	18	220	210	203,1	6
Zr-026	183,5	355	1,9	0,0536	0,005	0,229	0,02	0,0321	0,0007	0,081	0,01	0,0005	2,679	2,11%	203,4	4,3	209	15	290	180	203,4	4,3
Zr-035	195,5	257,1	1,3	0,0517	0,003	0,229	0,01	0,0322	0,0008	0,258	0,01	0,0005	2,810	2,50%	204,1	5,1	210	11	260	130	204,1	5,1
Zr-024	154,7	147	1	0,0507	0,004	0,224	0,02	0,0323	0,0009	0,131	0,011	0,0007	0,631	2,69%	204,7	5,5	206	12	220	170	204,7	5,5
Zr-027	130,6	176	1,3	0,0486	0,004	0,212	0,02	0,0324	0,001	0,013	0,01	0,0006	-5,773	2,92%	205,2	6	194	14	120	180	205,2	6
Zr-040	105,2	64,8	0,6	0,0563	0,005	0,263	0,02	0,0336	0,0009	0,01	0,012	0,0008	9,873	2,73%	212,7	5,8	236	19	410	190	212,7	5,8
Zr-030	77	122	1,6	0,051	0,005	0,252	0,03	0,0365	0,0013	0,049	0,015	0,0009	-2,622	3,42%	230,9	7,9	225	20	150	200	230,9	7,9

GZ-6848A, análisis isotópicos U-Pb en círcón

Zr	Relación final $^{207}\text{Pb}/^{235}\text{U}$	Error interno relación final $^{207}\text{Pb}/^{235}\text{U}$ a 2 D. E.	Relación final $^{206}\text{Pb}/^{238}\text{U}$	Error interno relación final $^{206}\text{Pb}/^{238}\text{U}$ a 2 D. E.	Ajuste error de correlación (datos negativos)	Error de correlación $^{206}\text{Pb}/^{238}\text{U}$ vs. $^{207}\text{Pb}/^{235}\text{U}$	Edad $^{207}\text{Pb}/^{235}\text{U}$ (Ma)	% disc	Edad corregida $^{206}\text{Pb}/^{238}\text{U}$ (Ma)	\pm Error edad corregida (Ma)	Error	Aproximación ^{238}U (ppm)	Th/U
Zr-4	0,415	0,022	0,032	0,00053	0,10722	0,107	352	83,579	191,743	7,319	3,817	335,8	1,552
Zr-22	0,369	0,03	0,03241	0,00081	0,1	-0,023	318	61,289	197,161	8,299	4,209	121,6	0,939
Zr-28	0,229	0,019	0,02893	0,00076	0,1	-0,018	217	19,282	181,921	7,299	4,012	244	1,914
Zr-6	0,243	0,018	0,03095	0,00048	0,029091	0,029	219	12,483	194,696	6,610	3,395	315	0,733
Zr-7	0,229	0,014	0,02964	0,0006	0,25141	0,251	209	11,919	186,742	6,664	3,569	415	1,313
Zr-26	0,233	0,015	0,03008	0,00048	0,040081	0,040	211	11,186	189,772	6,392	3,368	191,6	1,279
Zr-30	0,2383	0,006	0,03107	0,00033	0,28881	0,289	217,3	10,822	196,079	6,075	3,098	1,581	2,549
Zr-33	0,206	0,013	0,02918	0,00044	0,1	-0,010	191	3,090	185,275	6,036	3,258	259	1,425
Zr-1	0,1942	0,0077	0,02951	0,00046	0,14735	0,147	180,7	-3,884	188,002	6,118	3,254	988	1,180
Zr-23	0,203	0,0071	0,02966	0,00027	0,18995	0,190	187,8	-0,423	188,597	5,710	3,028	582	1,120
Zr-27	0,217	0,013	0,02996	0,00046	0,042252	0,042	197	3,715	189,944	6,289	3,311	218,7	1,582
Zr-20	0,2181	0,0091	0,03035	0,00037	0,40463	0,405	199,7	3,863	192,273	6,101	3,173	635	2,819
Zr-18	0,207	0,015	0,03025	0,00048	0,078746	0,079	190	-1,215	192,336	6,355	3,304	173,3	0,910
Zr-9	0,205	0,016	0,03055	0,0006	0,18016	0,180	195	0,524	193,984	6,658	3,432	147	1,388
Zr-13	0,2157	0,0096	0,03064	0,00037	0,11466	0,115	198,3	2,105	194,212	6,110	3,146	705	2,369
Zr-32	0,2132	0,0095	0,03066	0,00038	0,070827	0,071	195,5	0,436	194,652	6,161	3,165	493	1,929
Zr-21	0,232	0,014	0,03092	0,00048	0,29584	0,296	210	7,507	195,337	6,453	3,303	207	1,111
Zr-19	0,198	0,015	0,03095	0,00048	0,1	-0,017	183	-7,341	197,498	6,469	3,275	168,2	1,435
Zr-16	0,232	0,016	0,03136	0,0006	0,19326	0,193	214	8,073	198,015	6,712	3,389	114,8	1,890
Zr-14	0,208	0,0096	0,03114	0,00046	0,080814	0,081	192,4	-2,942	198,233	6,391	3,224	360	1,767
Zr-38	0,2182	0,0076	0,03125	0,00033	0,1747	0,175	200,8	1,243	198,336	6,105	3,078	850	1,247
Zr-37	0,216	0,0078	0,03124	0,00031	0,1054	0,105	199,3	0,419	198,469	6,034	3,040	715	0,636
Zr-15	0,2361	0,0077	0,03115	0,00056	0,40221	0,402	214,3	7,950	198,518	6,677	3,364	1,290	2,457
Zr-12	0,2177	0,0092	0,03134	0,00034	0,1238	0,124	199,9	0,552	198,802	6,113	3,075	428	1,150
Zr-36	0,239	0,01	0,03155	0,00046	0,3109	0,311	217,7	9,313	199,153	6,504	3,266	651	0,556
Zr-11	0,2112	0,0072	0,03147	0,00044	0,22741	0,227	196	-1,922	199,842	6,399	3,202	1,630	1,196
Zr-24	0,2267	0,0072	0,03161	0,00033	0,21961	0,220	206,7	3,298	200,100	6,184	3,091	693	1,486
Zr-3	0,2165	0,0079	0,03165	0,00035	0,41338	0,413	198	-1,369	200,749	6,228	3,102	878	0,772
Zr-35	0,2283	0,0086	0,03182	0,00035	0,15201	0,152	209,1	3,725	201,591	6,243	3,097	746	1,165
Zr-17	0,205	0,014	0,03162	0,0005	0,022745	0,023	187	-7,244	201,605	6,596	3,272	163,6	1,346
Zr-34	0,225	0,016	0,03199	0,00053	0,16757	0,168	205	1,106	202,758	6,704	3,307	200	1,370
Zr-10	0,2141	0,0087	0,03193	0,00048	0,061266	0,061	196,3	-3,305	203,009	6,585	3,244	443	0,837
Zr-29	0,222	0,012	0,0325	0,00045	0,12248	0,122	206	-0,226	206,467	6,609	3,201	318	1,189
Zr-25	0,58	0,022	0,0726	0,0012	0,53091	0,531	462	2,432	451,029	14,998	3,325	396,8	0,110
Zr-31	1,455	0,03	0,1465	0,0021	0,56489	0,565	910	3,650	877,951	28,822	3,283	421,9	0,293
Zr-2	1,768	0,037	0,1677	0,0017	0,5154	0,515	1,036	4,288	993,407	31,254	3,146	531	0,046
Zr-8	1,879	0,042	0,175	0,0019	0,23974	0,240	1,073	3,650	1,035,214	32,979	3,186	278	0,190
Zr-5	2,05	0,043	0,194	0,0018	0,33612	0,336	1,133	-0,904	1,143,332	36,040	3,152	290	0,282

JGB-642, análisis isotópicos U-Pb en circón

Zr	U (ppm)	Th (ppm)	Th/U	$^{207}\text{Pb}/^{206}\text{Pb}$	$\pm 2\text{s}$ abs	$^{207}\text{Pb}/^{235}\text{U}$	$\pm 2\text{s}$ abs	$^{206}\text{Pb}/^{238}\text{U}$	$\pm 2\text{s}$ abs	Correlación de errores	$^{208}\text{Pb}/^{226}\text{Th}$	$\pm 2\text{s}$ abs	Disc %	Error	$^{206}\text{Pb}/^{238}\text{U}$	$\pm 2\text{s}$	$^{207}\text{Pb}/^{235}\text{U}$	$\pm 2\text{s}$	$^{207}\text{Pb}/^{206}\text{Pb}$	$\pm 2\text{s}$	Mejor edad (Ma)	$\pm 2\text{s}$
Zr-058	110	186	1,69	0,0970	0,0130	0,4480	0,0610	0,0330	0,0010	0,43	0,0128	0,0008	43,82	16,55	209,0	5,9	372,0	42,0	1,450,0	240	1,450,0	240,0
Zr-067	102	136	1,33	0,0813	0,0063	0,3530	0,0320	0,0308	0,0011	0,51	0,0121	0,0008	36,90	3,43	195,6	6,7	310,0	23,0	1,240,0	110	195,6	6,7
Zr-047	71	75	1,06	0,0683	0,0089	0,2870	0,0380	0,0316	0,0013	0,12	0,0120	0,0009	22,21	3,94	200,7	7,9	258,0	29,0	970,0	140	200,7	7,9
Zr-040	33	44	1,33	0,0650	0,0098	0,2840	0,0380	0,0308	0,0017	0,18	0,0112	0,0009	21,29	5,10	196,0	10,0	249,0	30,0	840,0	130	196,0	10,0
Zr-057	207	170	0,82	0,0620	0,0044	0,2510	0,0180	0,0291	0,0006	0,34	0,0100	0,0005	18,32	2,06	184,6	3,8	226,0	14,0	690,0	77	184,6	3,8
Zr-069	222	449	2,02	0,0471	0,0034	0,2010	0,0140	0,0309	0,0006	0,09	0,0100	0,0004	-6,11	1,94	196,3	3,8	185,0	11,0	323,0	78	196,3	3,8
Zr-068	115	147	1,28	0,0466	0,0037	0,2150	0,0160	0,0336	0,0008	0,13	0,0101	0,0005	-8,17	2,35	213,1	5,0	197,0	14,0	221,0	68	213,1	5,0
Zr-041	111	113	1,02	0,0430	0,0037	0,1970	0,0170	0,0327	0,0009	0,13	0,0104	0,0005	12,83	2,79	207,6	5,8	184,0	14,0	304,0	95	207,6	5,8
Zr-070	206	351	1,70	0,0519	0,0034	0,2170	0,0120	0,0296	0,0007	0,05	0,0089	0,0004	5,63	2,24	187,8	4,2	199,0	10,0	355,0	68	187,8	4,2
Zr-056	241	397	1,65	0,0494	0,0026	0,2161	0,0095	0,0303	0,0006	0,03	0,0096	0,0004	2,98	1,98	192,2	3,8	198,1	7,9	382,0	56	192,2	3,8
Zr-039	184	587	3,19	0,0508	0,0037	0,2160	0,0160	0,0303	0,0007	0,16	0,0100	0,0004	4,28	2,13	192,4	4,1	201,0	13,0	360,0	77	192,4	4,1
Zr-048	279	436	1,56	0,0500	0,0036	0,2150	0,0140	0,0305	0,0006	0,07	0,0094	0,0004	2,07	1,81	193,9	3,5	198,0	11,0	304,0	64	193,9	3,5
Zr-038	131	266	2,03	0,0477	0,0042	0,2050	0,0160	0,0306	0,0008	0,05	0,0098	0,0004	-3,46	2,52	194,5	4,9	188,0	14,0	346,0	83	194,5	4,9
Zr-065	348	834	2,40	0,0495	0,0024	0,2083	0,0090	0,0307	0,0006	0,10	0,0095	0,0003	-0,88	1,80	194,7	3,5	193,0	7,5	291,0	77	194,7	3,5
Zr-060	273	858	3,14	0,0517	0,0030	0,2210	0,0120	0,0308	0,0006	0,04	0,0092	0,0003	4,73	2,00	195,3	3,9	205,0	10,0	388,0	74	195,3	3,9
Zr-042	413	257	0,62	0,0495	0,0024	0,2110	0,0098	0,0308	0,0005	0,04	0,0097	0,0004	-0,62	1,64	195,3	3,2	194,1	8,0	236,0	52	195,3	3,2
Zr-061	150	235	1,57	0,0517	0,0041	0,2170	0,0160	0,0309	0,0008	0,12	0,0094	0,0004	0,91	2,45	196,2	4,8	198,0	13,0	412,0	88	196,2	4,8
Zr-055	140	258	1,84	0,0509	0,0038	0,2190	0,0160	0,0310	0,0007	0,34	0,0099	0,0004	1,60	2,18	196,8	4,3	200,0	13,0	358,0	69	196,8	4,3
Zr-063	106	114	1,08	0,0480	0,0037	0,2070	0,0150	0,0311	0,0008	0,05	0,0098	0,0005	-3,89	2,43	197,4	4,8	190,0	12,0	381,0	49	197,4	4,8
Zr-044	91	96	1,05	0,0509	0,0046	0,2190	0,0170	0,0311	0,0010	0,18	0,0093	0,0005	2,61	2,98	197,7	5,9	203,0	14,0	414,0	98	197,7	5,9
Zr-046	107	121	1,13	0,0528	0,0047	0,2190	0,0180	0,0312	0,0009	0,02	0,0100	0,0005	1,98	2,78	198,0	5,5	202,0	15,0	493,0	94	198,0	5,5
Zr-066	616	809	1,31	0,0503	0,0019	0,2161	0,0063	0,0312	0,0005	0,18	0,0097	0,0003	0,15	1,51	198,3	3,0	198,6	5,2	231,0	48	198,3	3,0
Zr-053	167	331	1,98	0,0489	0,0035	0,2120	0,0130	0,0312	0,0008	0,23	0,0100	0,0004	-1,69	2,47	198,3	4,9	195,0	11,0	267,0	60	198,3	4,9
Zr-050	154	196	1,27	0,0498	0,0032	0,2150	0,0140	0,0313	0,0007	0,11	0,0100	0,0005	-0,76	2,12	198,5	4,2	197,0	12,0	339,0	82	198,5	4,2
Zr-036	127	166	1,31	0,0549	0,0040	0,2370	0,0170	0,0313	0,0009	0,09	0,0101	0,0004	7,53	2,72	198,8	5,4	215,0	14,0	511,0	69	198,8	5,4
Zr-059	1,021	742	0,73	0,0494	0,0017	0,2147	0,0061	0,0314	0,0005	0,04	0,0096	0,0003	-0,91	1,56	199,2	3,1	197,4	5,1	190,0	50	199,2	3,1
Zr-054	345	528	1,53	0,0496	0,0025	0,2131	0,0097	0,0313	0,0008	0,09	0,0101	0,0004	-1,79	2,51	199,3	5,0	195,8	8,1	230,0	55	199,3	5,0
Zr-049	146	225	1,54	0,0508	0,0033	0,2240	0,0130	0,0316	0,0008	0,15	0,0095	0,0004	1,81	2,50	200,3	5,0	204,0	11,0	311,0	57	200,3	5,0
Zr-045	159	230	1,45	0,0506	0,0040	0,2190	0,0160	0,0314	0,0007	0,08	0,0102	0,0004	-0,15	2,15	200,3	4,3	200,0	13,0	386,0	70	200,3	4,3
Zr-037	327	732	2,24	0,0496	0,0031	0,2150	0,0120	0,0316	0,0007	0,07	0,0098	0,0004	-1,62	2,00	200,4	4,0	197,2	9,8	377,0	88	200,4	4,0
Zr-051	156	252	1,62	0,0487	0,0037	0,2160	0,0150	0,0317	0,0007	0,08	0,0098	0,0004	-1,46	2,14	200,9	4,3	198,0	12,0	306,0	64	200,9	4,3
Zr-043	243	270	1,11	0,0529	0,0027	0,2324	0,0099	0,0320	0,0008	0,03	0,0105	0,0004	4,16	2,41	202,9	4,9	211,7	8,1	354,0	65	202,9	4,9
Zr-064	53	66	1,25	0,0539	0,0057	0,2340	0,0230	0,0323	0,0012	0,14	0,0102	0,0006	4,25	3,71	204,9	7,6	214,0	20,0	557,0	97	204,9	7,6
Zr-062	151	211	1,40	0,0518	0,0037	0,2330	0,0150	0,0323	0,0007	0,18	0,0105	0,0005	3,30	2,24	205,0	4,6	212,0	12,0	358,0	69	205,0	4,6
Zr-052	54	96	1,78	0,0491	0,0058	0,2200	0,0290	0,0324	0,0016	0,24	0,0101	0,0006	-3,32	4,72	205,6	9,7	199,0	23,0	478,0	93	205,6	9,7

MIA-648B, análisis isotópicos U-Pb en círcón

Zr	Relación final $^{207}\text{Pb}/^{235}\text{U}$	Error interno relación final $^{207}\text{Pb}/^{235}\text{U}$ a 2 D. E.	Relación final $^{206}\text{Pb}/^{238}\text{U}$	Error interno relación final $^{206}\text{Pb}/^{238}\text{U}$ a 2 D. E.	Ajuste error de correlación (datos negativos)	Error de correlación $^{206}\text{Pb}/^{238}\text{U}$ vs. $^{207}\text{Pb}/^{235}\text{U}$	Edad $^{207}\text{Pb}/^{235}\text{U}$ (Ma)	% disco	Edad corregida $^{206}\text{Pb}/^{238}\text{U}$ (Ma)	\pm Error edad corregida (Ma)	% de error?	Relación final $^{238}\text{U}/^{232}\text{Th}$	Edad corregida $^{206}\text{Pb}/^{238}\text{U}$ (Ma)	Th/U
1	14,02	0,74	0,17	0,01	0,50	0,50	2.744,00	651,46	365,16	54,59	14,95	1,37	365,16	0,73
10	1,10	0,10	0,04	0,00	0,20	0,20	711,00	206,22	232,18	11,02	4,75	1,09	232,18	0,92
73	0,80	0,08	0,04	0,00	0,84	0,84	562,00	170,17	208,02	8,75	4,21	0,35	208,02	2,83
58	0,50	0,08	0,04	0,00	0,11	0,11	427,00	109,48	203,83	11,50	5,64	1,04	203,83	0,96
16	0,80	0,15	0,04	0,00	0,23	0,23	468,00	92,07	243,66	15,48	6,35	1,71	243,66	0,58
13	0,59	0,11	0,04	0,00	0,10	0,00	391,00	78,29	219,30	12,98	5,92	0,64	219,30	1,57
59	0,47	0,07	0,04	0,00	0,10	-0,04	359,00	71,38	209,48	10,47	5,00	0,62	209,48	1,61
50	0,36	0,07	0,03	0,00	0,10	-0,05	313,00	58,30	197,73	10,64	5,38	1,25	197,73	0,80
32	0,38	0,08	0,03	0,00	0,18	0,18	326,00	57,79	206,61	12,93	6,26	0,66	206,61	1,51
56	0,39	0,08	0,04	0,00	0,15	0,15	340,00	57,53	215,83	11,40	5,28	1,30	215,83	0,77
26	0,31	0,11	0,04	0,00	0,01	0,01	337,00	57,04	214,60	17,53	8,17	0,78	214,60	1,28
31	0,52	0,08	0,04	0,00	0,01	0,01	409,00	56,97	260,56	12,33	4,73	1,31	260,56	0,76
76	0,41	0,04	0,04	0,00	0,10	-0,02	341,00	50,98	225,86	10,70	4,74	3,09	225,86	0,32
64	0,40	0,04	0,04	0,00	0,05	0,05	337,00	48,81	226,46	8,28	3,65	0,80	226,46	1,25
18	0,44	0,08	0,04	0,00	0,10	-0,04	332,00	41,76	234,20	12,17	5,20	1,25	234,20	0,80
27	0,40	0,03	0,04	0,00	0,57	0,57	336,00	38,47	242,65	11,69	4,82	7,77	242,65	0,13
33	0,31	0,05	0,03	0,00	0,10	-0,02	279,00	32,44	210,66	9,24	4,39	0,76	210,66	1,31
51	0,34	0,06	0,04	0,00	0,03	0,03	283,00	30,85	216,28	10,13	4,68	1,41	216,28	0,71
53	0,28	0,04	0,03	0,00	0,10	-0,03	253,00	24,83	202,67	7,82	3,86	0,57	202,67	1,75
36	0,27	0,05	0,03	0,00	0,00	0,00	255,00	23,51	206,46	9,26	4,48	0,73	206,46	1,36
12	0,33	0,05	0,04	0,00	0,18	0,18	269,00	22,40	219,78	9,20	4,19	0,63	219,78	1,59
72	0,31	0,05	0,03	0,00	0,16	0,16	248,00	19,71	207,17	8,49	4,10	0,80	207,17	1,26
15	0,30	0,03	0,04	0,00	0,21	0,21	265,00	19,67	221,44	8,23	3,72	4,78	221,44	0,21
71	0,32	0,03	0,04	0,00	0,26	0,26	278,00	19,14	233,33	10,08	4,32	3,04	233,33	0,33
68	0,53	0,06	0,06	0,00	0,70	0,70	421,00	17,70	357,70	18,45	5,16	51,22	357,70	0,02
29	0,29	0,04	0,03	0,00	0,10	-0,05	254,00	17,46	216,25	8,40	3,88	1,27	216,25	0,78
85	0,29	0,03	0,04	0,00	0,20	0,20	259,00	16,69	221,96	10,16	4,58	4,94	221,96	0,20
60	0,38	0,03	0,04	0,00	0,30	0,30	322,00	16,53	276,32	13,06	4,73	2,80	276,32	0,36
61	0,27	0,04	0,03	0,00	0,03	0,03	241,00	16,48	206,91	8,51	4,11	0,94	206,91	1,07
11	0,26	0,09	0,03	0,00	0,04	0,04	248,00	15,77	214,23	13,42	6,26	0,63	214,23	1,59
24	0,27	0,12	0,04	0,00	0,16	0,16	258,00	15,08	224,19	15,38	6,86	0,55	224,19	1,82
20	0,21	0,11	0,03	0,00	0,12	0,12	174,00	-12,67	199,25	29,70	14,91	0,72	199,25	1,38
7	0,29	0,12	0,04	0,00	0,09	0,09	217,00	5,32	206,04	17,81	8,64	0,61	206,04	1,64
9	0,27	0,08	0,03	0,00	0,04	0,04	212,00	2,90	206,03	13,09	6,35	0,57	206,03	1,76
47	0,20	0,08	0,03	0,00	0,18	0,18	163,00	-18,22	199,32	11,98	6,01	0,53	199,32	1,90
39	0,24	0,08	0,03	0,00	0,14	0,14	224,00	13,16	197,95	11,04	5,58	0,64	197,95	1,57
67	0,24	0,04	0,03	0,00	0,01	0,01	202,00	-0,22	202,44	8,51	4,21	1,74	202,44	0,57
63	0,22	0,06	0,03	0,00	0,07	0,07	198,00	-2,45	202,97	9,45	4,65	0,80	202,97	1,25
78	0,27	0,03	0,03	0,00	0,09	0,09	234,00	14,41	204,52	7,04	3,44	1,30	204,52	0,77
82	0,24	0,04	0,03	0,00	0,16	0,16	217,00	5,89	204,92	9,08	4,43	0,98	204,92	1,02
83	0,25	0,05	0,03	0,00	0,01	0,01	213,00	3,94	204,92	9,13	4,46	0,88	204,92	1,13
70	0,20	0,06	0,03	0,00	0,08	0,08	184,00	-10,40	205,35	10,83	5,27	0,67	205,35	1,49
17	0,26	0,05	0,03	0,00	0,01	0,01	226,00	9,62	206,16	9,31	4,52	0,95	206,16	1,05
84	0,23	0,04	0,03	0,00	0,03	0,03	191,00	-7,38	206,21	8,55	4,15	0,83	206,21	1,21
54	0,26	0,05	0,03	0,00	0,06	0,06	236,00	14,39	206,32	9,25	4,48	0,45	206,32	2,23
75	0,25	0,02	0,03	0,00	0,23	0,23	219,00	5,85	206,90	6,42	3,10	1,80	206,90	0,56
66	0,24	0,02	0,03	0,00	0,31	0,31	211,00	1,90	207,07	6,25	3,02	1,11	207,07	0,90
48	0,24	0,02	0,03	0,00	0,04	0,04	220,00	6,20	207,16	6,39	3,08	1,46	207,16	0,68
41	0,26	0,03	0,03	0,00	0,01	0,01	225,00	8,54	207,30	7,08	3,42	0,65	207,30	1,54
77	0,23	0,02	0,03	0,00	0,07	0,07	206,00	-0,70	207,46	7,06	3,40	1,16	207,46	0,86
80	0,25	0,05	0,03	0,00	0,06	0,06	213,00	2,24	208,34	9,20	4,42	0,96	208,34	1,04
49	0,26	0,06	0,03	0,00	0,10	-0,04	225,00	7,79	208,74	9,40	4,51	0,66	208,74	1,52
22	0,24	0,03	0,03	0,00	0,15	0,15	210,00	0,55	208,85	7,08	3,39	0,44	208,85	2,30

Zr	Error interno relación final $^{207}\text{Pb}/^{238}\text{U}$	Error interno relación final $^{207}\text{Pb}/^{235}\text{U}$ a 2 D. E.	Error interno relación final $^{206}\text{Pb}/^{238}\text{U}$	Error interno relación final $^{206}\text{Pb}/^{238}\text{U}$ a 2 D. E.	Ajuste error de correlación (datos negativos)	Error de correlación $^{207}\text{Pb}/^{238}\text{U}$ vs. $^{206}\text{Pb}/^{238}\text{U}$	Edad $^{207}\text{Pb}/^{235}\text{U}$ (Ma)	% disco	Edad corregida $^{206}\text{Pb}/^{238}\text{U}$ (Ma)	\pm Error edad corregida (Ma)	% de error?	Relación final $^{238}\text{U}/^{232}\text{Th}$	Edad corregida $^{206}\text{Pb}/^{238}\text{U}$ (Ma)	Th/U
2	0,23	0,06	0,03	0,00	0,07	0,07	231,00	9,14	211,65	11,48	5,42	0,87	211,65	1,15
45	0,28	0,03	0,03	0,00	0,15	0,15	243,00	14,71	211,83	7,01	3,31	0,57	211,83	1,75
52	0,22	0,02	0,03	0,00	0,06	0,06	195,00	-8,47	213,05	7,03	3,30	1,11	213,05	0,90
25	0,24	0,05	0,03	0,00	0,08	0,08	234,00	9,19	214,31	9,44	4,40	0,68	214,31	1,47
42	0,20	0,02	0,03	0,00	0,11	0,11	185,00	-14,55	216,50	7,72	3,57	1,65	216,50	0,61
28	0,31	0,09	0,03	0,00	0,03	0,03	192,00	-11,71	217,47	11,95	5,49	0,84	217,47	1,19
14	0,26	0,05	0,03	0,00	0,13	0,13	222,00	1,93	217,79	9,80	4,50	0,79	217,79	1,26
81	0,28	0,06	0,03	0,00	0,14	0,14	231,00	5,99	217,94	9,37	4,30	1,43	217,94	0,70
74	0,26	0,02	0,03	0,00	0,05	0,05	222,00	1,84	217,99	6,39	2,93	1,09	217,99	0,92
62	0,24	0,02	0,03	0,00	0,15	0,15	215,00	-1,63	218,56	6,39	2,92	1,03	218,56	0,97
21	0,28	0,03	0,03	0,00	0,17	0,17	249,00	13,41	219,56	7,71	3,51	0,93	219,56	1,08
35	0,25	0,03	0,03	0,00	0,15	0,15	220,00	0,07	219,85	8,36	3,80	0,92	219,85	1,08
23	0,32	0,05	0,04	0,00	0,05	0,05	225,00	1,95	220,70	7,99	3,62	0,56	220,70	1,80
79	0,27	0,03	0,03	0,00	0,05	0,05	232,00	4,88	221,20	7,70	3,48	1,32	221,20	0,76
57	0,24	0,03	0,03	0,00	0,20	0,20	218,00	-1,45	221,21	7,76	3,51	0,62	221,21	1,61
3	0,27	0,02	0,04	0,00	0,27	0,27	241,00	7,67	223,84	8,84	3,95	13,12	223,84	0,08
38	0,29	0,05	0,04	0,00	0,19	0,19	253,00	12,84	224,22	9,12	4,07	1,40	224,22	0,71
44	0,24	0,02	0,04	0,00	0,09	0,09	224,00	-0,18	224,41	6,98	3,11	0,74	224,41	1,35
6	0,26	0,04	0,04	0,00	0,19	0,19	229,00	1,75	225,06	9,08	4,04	0,44	225,06	2,28
46	0,29	0,05	0,04	0,00	0,05	0,05	255,00	13,09	225,48	9,27	4,11	0,61	225,48	1,65
43	0,28	0,04	0,04	0,00	0,06	0,06	249,00	9,77	226,84	9,09	4,01	1,50	226,84	0,67
30	0,27	0,02	0,04	0,00	0,31	0,31	240,00	5,73	226,99	7,59	3,34	1,38	226,99	0,73
65	0,24	0,01	0,04	0,00	0,27	0,27	216,00	-5,06	227,52	6,35	2,79	0,54	227,52	1,84
19	0,28	0,09	0,04	0,00	0,10	-0,06	207,00	-13,03	238,02	13,33	5,60	1,05	238,02	0,95
37	0,29	0,03	0,04	0,00	0,20	0,20	257,00	7,77	238,46	10,71	4,49	2,56	238,46	0,39
34	0,31	0,05	0,04	0,00	0,01	0,01	253,00	3,99	243,30	9,19	3,78	1,21	243,30	0,83
55	0,29	0,05	0,04	0,00	0,15	0,15	260,00	6,33	244,53	9,89	4,05	0,85	244,53	1,18
4	0,35	0,05	0,04	0,00	0,05	0,05	270,00	8,89	247,95	10,30	4,15	2,39	247,95	0,42
69	0,30	0,03	0,04	0,00	0,16	0,16	260,00	4,37	249,12	8,86	3,56	7,85	249,12	0,13
8	0,31	0,05	0,04	0,00	0,19	0,19	274,00	2,37	267,66	10,29	3,85	0,65	267,66	1,55
40	0,37	0,07	0,05	0,00	0,05	0,05	310,00	7,57	288,17	11,67	4,05	3,28	288,17	0,30
5	0,42	0,10	0,05	0,00	0,12	0,12	325,00	1,36	320,64	15,93	4,97	2,29	320,64	0,44

MIA-648A, análisis isotópicos U-Pb en círcón

Zr	Relación final $^{207}\text{Pb}/^{235}\text{U}$	Error interno relación final $^{207}\text{Pb}/^{235}\text{U}$ a 2 D. E.	Relación final $^{206}\text{Pb}/^{238}\text{U}$	Error interno relación final $^{206}\text{Pb}/^{238}\text{U}$ a 2 D. E.	Ajuste error de correlación (datos negativos)	Error de correlación $^{206}\text{Pb}/^{238}\text{U}$ vs. $^{207}\text{Pb}/^{235}\text{U}$	Edad $^{207}\text{Pb}/^{235}\text{U}$ (Ma)	% disc	Edad corregida $^{206}\text{Pb}/^{238}\text{U}$ (Ma)	\pm Error edad corregida (Ma)	Error	Aproximación ^{238}U (ppm)	Th/U
Zr-36	0,694	0,036	0,03456	0,00056	0,65699	0,657	530	173,0	194,127	7,208	3,71	767	2,55
Zr-45	0,332	0,028	0,02989	0,00062	0,51654	0,517	281	53,8	182,717	6,426	3,52	313	1,98
Zr-19	0,275	0,016	0,03077	0,00044	0,32724	0,327	247	28,9	191,636	5,902	3,08	343	1,19
Zr-46	0,284	0,024	0,03072	0,00066	0,60041	0,600	246	28,8	190,964	6,425	3,36	417	0,62
Zr-6	0,286	0,032	0,03101	0,00067	0,571	0,571	242	25,2	193,361	7,095	3,67	230,7	2,05
Zr-23	0,279	0,018	0,03186	0,00053	0,237	0,237	248	24,8	198,785	6,341	3,19	254	1,51
Zr-10	0,263	0,018	0,03109	0,00047	0,28041	0,280	231	18,7	194,565	6,045	3,11	263	0,99
Zr-1	0,263	0,024	0,03085	0,00061	0,41714	0,417	227	17,4	193,368	6,455	3,34	192	2,44
Zr-9	0,2271	0,0076	0,02982	0,00046	0,40393	0,404	207,4	10,1	188,312	5,812	3,09	707	0,81
Zr-47	0,2161	0,0099	0,02872	0,00037	0,25377	0,254	197,7	8,9	181,520	5,396	2,97	481	1,59
Zr-37	0,2119	0,0062	0,02877	0,00028	0,30878	0,309	195	7,1	182,105	5,195	2,85	850	2,06
Zr-25	0,201	0,011	0,02969	0,0005	0,11835	0,118	185,4	-1,8	188,857	5,975	3,16	250	1,59
Zr-27	0,206	0,014	0,02974	0,00051	0,13769	0,138	189	0,0	188,984	6,050	3,20	200,7	1,12
Zr-42	0,198	0,014	0,02991	0,00053	0,14238	0,142	182	-4,5	190,596	6,115	3,21	157,5	1,53
Zr-32	0,222	0,014	0,03018	0,00055	0,17942	0,179	202	5,8	190,873	6,164	3,23	199,1	1,33
Zr-11	0,206	0,018	0,03008	0,00059	0,23444	0,234	185	-3,1	191,005	6,391	3,35	126,3	0,83
Zr-28	0,215	0,015	0,03018	0,00054	0,086791	0,087	200	4,4	191,586	6,180	3,23	190	1,43
Zr-22	0,212	0,01	0,03031	0,00045	0,14431	0,144	193,9	0,8	192,404	5,839	3,03	353	1,36
Zr-14	0,241	0,018	0,03065	0,00053	0,18821	0,188	210	8,9	192,923	6,240	3,23	210	1,60
Zr-33	0,205	0,015	0,03036	0,0006	0,059634	0,060	187	-3,1	192,981	6,430	3,33	336	1,66
Zr-16	0,214	0,014	0,03048	0,00056	0,043066	0,043	196	1,3	193,400	6,297	3,26	190	1,45
Zr-3	0,2106	0,0098	0,03049	0,00037	0,064632	0,065	191,6	-1,0	193,535	5,660	2,92	539	1,91
Zr-29	0,2121	0,0099	0,03052	0,00041	0,098861	0,099	195,1	0,7	193,676	5,777	2,98	326	1,77
Zr-44	0,219	0,013	0,03064	0,00057	0,065436	0,065	201	3,6	194,044	6,348	3,27	173	1,24
Zr-30	0,229	0,024	0,03095	0,00079	0,1	-0,001	202	3,3	195,549	7,108	3,63	95,1	1,41
Zr-26	0,211	0,011	0,03081	0,00047	0,18079	0,181	193,2	-1,2	195,643	6,033	3,08	387	1,61
Zr-20	0,22	0,018	0,03098	0,00075	0,19287	0,193	200	1,9	196,297	7,054	3,59	143	1,46
Zr-43	0,221	0,014	0,031	0,00051	0,21576	0,216	201	2,4	196,301	6,233	3,18	175	1,47
Zr-17	0,211	0,013	0,03093	0,00048	0,099898	0,100	191	-2,8	196,446	6,050	3,08	197,9	1,63
Zr-40	0,215	0,017	0,03102	0,00062	0,19778	0,198	193	-2,0	196,890	6,442	3,27	121	0,88
Zr-4	0,216	0,011	0,03106	0,00047	0,1352	0,135	198,9	0,9	197,166	6,033	3,06	527	2,48
Zr-31	0,239	0,023	0,03126	0,00068	0,052165	0,052	210	6,5	197,168	7,088	3,59	120	0,85
Zr-39	0,219	0,017	0,03111	0,0008	0,14289	0,143	202	2,4	197,358	7,053	3,57	145	1,00
Zr-18	0,219	0,014	0,03127	0,00052	0,1072	0,107	200	1,0	198,092	6,293	3,18	193	1,49
Zr-21	0,236	0,015	0,0314	0,00057	0,05797	0,058	211	6,4	198,240	6,418	3,24	194	1,54
Zr-8	0,2286	0,0094	0,03138	0,00046	0,27254	0,273	208,9	5,3	198,436	6,079	3,06	431	1,14
Zr-34	0,207	0,016	0,03118	0,00052	0,20091	0,201	187	-5,8	198,485	6,260	3,15	130,2	1,40
Zr-15	0,226	0,014	0,03141	0,00059	0,1	-0,043	205	3,2	198,698	6,425	3,23	147	1,41
Zr-24	0,241	0,015	0,03187	0,00068	0,1	-0,045	217	8,0	200,852	7,031	3,50	191	1,86
Zr-41	0,219	0,016	0,0321	0,00064	0,16464	0,165	211	3,6	203,700	7,057	3,46	111	1,12
Zr-13	0,218	0,013	0,03222	0,00056	0,14733	0,147	201	-1,7	204,454	6,417	3,14	171,8	0,87
Zr-12	0,2288	0,0073	0,03235	0,00036	0,11214	0,112	208,4	1,7	204,889	5,889	2,87	1080	1,84
Zr-7	0,242	0,0099	0,03264	0,00038	0,35118	0,351	218,5	6,1	205,937	6,019	2,92	859	1,49
Zr-35	0,238	0,016	0,03267	0,0007	0,00070785	0,001	215	4,0	206,792	7,039	3,40	318	1,23
Zr-38	0,249	0,018	0,03302	0,00058	0,22552	0,226	219	5,1	208,362	6,435	3,09	174	1,25
Zr-2	0,224	0,013	0,03327	0,00056	0,1	-0,125	203	-4,1	211,647	6,439	3,04	436	1,40
Zr-5	1,717	0,058	0,1717	0,0046	0,87025	0,870	1011	-1,0	1.021,673	38,044	3,72	1190	0,48

MIA-650B, análisis isotópicos U-Pb en circón

Zr	U (ppm) ¹	Th (ppm) ¹	Th/U	²⁰⁷ Pb/ ²⁰⁶ Pb	± 2s abs	²⁰⁷ Pb/ ²³⁵ U	± 2s abs	²⁰⁶ Pb/ ²³⁸ U	± 2s abs	Correlación de errores	²⁰⁸ Pb/ ²³² Th	± 2s abs	Disc.%	Error	²⁰⁶ Pb/ ²³⁸ U	± 2s	²⁰⁷ Pb/ ²³⁵ U	± 2s	²⁰⁷ Pb/ ²⁰⁶ Pb	± 2s	Mejor edad (Ma)	± 2s (Ma)
Zr-025	72	74	1,03	0,0880	0,0260	0,3400	0,1900	0,0294	0,0026	-0,12	0,011	0,0042	37,58	0,09	186,0	16,0	298,0	98,0	1340,0	250,0	186,0	16,0
Zr-030	420	362	0,86	0,0589	0,0033	0,2260	0,0150	0,0279	0,0011	0,20	0,009	0,0005	13,98	0,04	177,2	7,4	206,0	13,0	520,0	120,0	177,2	7,4
Zr-032	323	335	1,04	0,0579	0,0042	0,2270	0,0170	0,0288	0,0009	0,14	0,01	0,0006	11,16	0,03	183,9	5,8	207,0	14,0	470,0	160,0	183,9	5,8
Zr-029	147	208	1,41	0,0554	0,0043	0,2070	0,0210	0,0271	0,0010	0,35	0,009	0,0006	11,13	0,03	172,4	6,0	194,0	17,0	500,0	140,0	172,4	6,0
Zr-003	986	1.210	1,23	0,0570	0,0041	0,2240	0,0160	0,0293	0,0009	0,21	0,009	0,0005	10,43	0,03	186,3	5,7	208,0	13,0	480,0	140,0	186,3	5,7
Zr-019	321	435	1,36	0,0540	0,0290	0,2100	0,1800	0,0295	0,0019	0,02	0,01	0,0034	6	0,06	188,0	12,0	200,0	110,0	290,0	400,0	188,0	12,0
Zr-009	1.050	166	0,16	0,0536	0,0055	0,1940	0,0270	0,0263	0,0010	0,17	0,009	0,0005	8,187	0,04	167,1	6,4	182,0	22,0	360,0	210,0	167,1	6,4
Zr-022	149	156	1,05	0,0563	0,0037	0,2050	0,0150	0,0271	0,0009	0,06	0,009	0,0005	8,191	0,03	172,6	5,7	188,0	13,0	440,0	140,0	172,6	5,7
Zr-017	409	910	2,22	0,0516	0,0028	0,1910	0,0110	0,0274	0,0008	0,15	0,009	0,0004	1,69	0,03	174,5	5,1	177,5	9,2	300,0	120,0	174,5	5,1
Zr-033	357	297	0,83	0,0515	0,0037	0,1970	0,0170	0,0279	0,0010	0,42	0,009	0,0006	2,418	0,03	177,6	6,0	182,0	14,0	240,0	130,0	177,6	6,0
Zr-020	590	1.050	1,78	0,0509	0,0022	0,1934	0,0075	0,0279	0,0007	0,25	0,009	0,0004	0,948	0,03	177,7	4,7	179,4	6,4	240,0	96,0	177,7	4,7
Zr-007	192	277	1,44	0,0515	0,0031	0,2010	0,0110	0,0287	0,0008	0,15	0,009	0,0004	1,938	0,03	182,2	5,0	185,8	9,6	250,0	130,0	182,2	5,0
Zr-004	269	343	1,28	0,0498	0,0016	0,1974	0,0066	0,0288	0,0007	0,07	0,009	0,0004	0	0,03	182,8	4,7	182,8	5,6	179,0	73,0	182,8	4,7
Zr-013	500	105	0,21	0,0518	0,0022	0,2050	0,0100	0,0289	0,0008	0,13	0,01	0,0004	2,909	0,03	183,6	5,2	189,1	8,5	257,0	95,0	183,6	5,2
Zr-002	720	1.610	2,24	0,0494	0,0017	0,1958	0,0072	0,0289	0,0008	0,19	0,009	0,0004	-1,16	0,03	183,6	4,8	181,5	6,1	161,0	78,0	183,6	4,8
Zr-015	429	640	1,49	0,0526	0,0045	0,2050	0,0200	0,0289	0,0011	0,09	0,009	0,0005	2,181	0,04	183,9	6,6	188,0	16,0	250,0	170,0	183,9	6,6
Zr-035	311	385	1,24	0,0506	0,0036	0,2000	0,0140	0,0290	0,0009	0,17	0,01	0,0005	-0,16	0,03	184,3	5,6	184,0	12,0	180,0	150,0	184,3	5,6
Zr-023	264	205	0,78	0,0510	0,0096	0,2040	0,0400	0,0291	0,0013	0,25	0,011	0,0012	-0,49	0,04	184,9	8,1	184,0	32,0	120,0	330,0	184,9	8,1
Zr-028	194	393	2,03	0,0503	0,0040	0,2040	0,0170	0,0291	0,0010	0,40	0,009	0,0005	1,016	0,03	185,1	6,1	187,0	14,0	270,0	150,0	185,1	6,1
Zr-018	274	349	1,27	0,0483	0,0026	0,1970	0,0100	0,0291	0,0008	0,04	0,01	0,0004	-0,43	0,03	185,1	5,2	184,3	9,2	130,0	110,0	185,1	5,2
Zr-016	156	179	1,15	0,0484	0,0023	0,1934	0,0097	0,0292	0,0008	0,16	0,009	0,0004	-2,66	0,03	185,4	5,2	180,6	8,3	120,0	100,0	185,4	5,2
Zr-014	784	880	1,12	0,0487	0,0025	0,1950	0,0110	0,0293	0,0008	0,10	0,009	0,0004	-2,99	0,03	186,1	5,3	180,7	9,1	120,0	110,0	186,1	5,3
Zr-001				0,0515	0,0020	0,2034	0,0084	0,0293	0,0008	0,14	0,009	0,0004	0,852	0,03	186,2	5,0	187,8	7,1	246,0	79,0	186,2	5,0
Zr-006	122	36,2	0,30	0,0516	0,0034	0,2060	0,0140	0,0293	0,0009	0,01	0,009	0,0004	1,947	0,03	186,3	5,4	190,0	11,0	250,0	140,0	186,3	5,4
Zr-011	279	15,1	0,05	0,0494	0,0035	0,2010	0,0140	0,0294	0,0009	0,06	0,01	0,0005	-0,86	0,03	186,6	5,6	185,0	12,0	170,0	150,0	186,6	5,6
Zr-027	115	47,3	0,41	0,0489	0,0040	0,1990	0,0150	0,0295	0,0009	0,24	0,009	0,0004	-1,68	0,03	187,1	5,9	184,0	13,0	160,0	170,0	187,1	5,9
Zr-024	76	63	0,83	0,0524	0,0057	0,2110	0,0250	0,0297	0,0012	0,09	0,011	0,0008	1,615	0,04	188,9	7,7	192,0	21,0	170,0	210,0	188,9	7,7
Zr-031	368	325	0,88	0,0495	0,0026	0,2034	0,0099	0,0300	0,0009	0,08	0,01	0,0004	-1,55	0,03	190,5	5,5	187,6	8,3	180,0	110,0	190,5	5,5
Zr-021	734	1.320	1,80	0,0513	0,0050	0,2140	0,0200	0,0303	0,0011	0,04	0,01	0,0005	2,879	0,04	192,3	7,0	198,0	17,0	240,0	200,0	192,3	7,0
Zr-034	506	415	0,82	0,0511	0,0036	0,2160	0,0150	0,0309	0,0009	0,14	0,011	0,0005	0,909	0,03	196,2	5,5	198,0	13,0	200,0	150,0	196,2	5,5
Zr-008	299	467	1,56	0,0522	0,0019	0,2250	0,0170	0,0329	0,0019	0,21	0,014	0,0012	-1,46	0,06	209,0	12,0	206,0	14,0	269,0	84,0	209,0	12,0
Zr-010	245	392	1,60	0,0701	0,0026	1,4300	0,0550	0,1503	0,0040	0,06	0,049	0,0039	0,221	0,08	903,0	22,0	905,0	22,0	924,0	72,0	924,0	72,0
Zr-026	221	244	1,10	0,0706	0,0029	1,5550	0,0660	0,1606	0,0046	0,08	0,046	0,0022	-1,05	0,1	960,0	25,0	950,0	26,0	934,0	89,0	934,0	89,0
Zr-012	261	305	1,17	0,0728	0,0019	1,4130	0,0480	0,1416	0,0044	0,22	0,024	0,0012	4,474	0,06	854,0	25,0	894,0	21,0	1.005,0	56,0	1.005,0	56,0
Zr-005	1.390	1.850	1,33	0,0931	0,0028	2,9940	0,0990	0,2340	0,0061	0,50	0,073	0,0032	3,559	0,04	1.355,0	32,0	1.405,0	26,0	1.485,0	57,0	1.485,0	57,0

MIA-657A, análisis isotópicos U-Pb en círcón

Zr	Relación final $^{207}\text{Pb}/^{205}\text{U}$	Error interno relación final $^{207}\text{Pb}/^{205}\text{U}$ a 2 D. E.	Relación final $^{206}\text{Pb}/^{238}\text{U}$	Error interno relación final $^{206}\text{Pb}/^{238}\text{U}$ a 2 D. E.	Ajuste error de correlación (datos negativos)	Error de correlación $^{206}\text{Pb}/^{238}\text{U}$ vs. $^{207}\text{Pb}/^{235}\text{U}$	Edad corregida $^{206}\text{Pb}/^{238}\text{U}$ (Ma)	Edad corregida $^{207}\text{Pb}/^{235}\text{U}$ (Ma)	% disc	Edad corregida $^{206}\text{Pb}/^{238}\text{U}$ (Ma)	\pm Error edad corregida (Ma)	Aproximación ^{238}U (ppm)	Th/U
Zr-17	0,2191	0,0074	0,02773	0,00043	0,38632	0,386	174,638	200,8	15	174,638	4,700	886	2,28
Zr-5	0,218	0,013	0,02854	0,00056	0,1	-0,029	180,032	199	10,5	180,032	5,313	560	2,107
Zr-38	0,1969	0,0042	0,02744	0,00026	0,26453	0,265	173,999	182,5	4,89	173,999	4,156	1,443	2,814
Zr-11	0,206	0,01	0,02776	0,00057	0,38805	0,388	175,813	190,5	8,35	175,813	5,301	579	1,15
Zr-30	0,1982	0,0068	0,02791	0,00028	0,24034	0,240	177,195	183,3	3,45	177,195	4,234	1,134	1,693
Zr-29	0,2021	0,0044	0,02828	0,00039	0,36701	0,367	179,545	186,6	3,93	179,545	4,663	1,618	1,65
Zr-16	0,2073	0,0069	0,02855	0,00038	0,28724	0,287	180,928	190,9	5,51	180,928	4,602	1,107	2,43
Zr-41	0,2026	0,0077	0,02865	0,00035	0,25422	0,254	181,760	187,1	2,94	181,760	4,548	729	1,044
Zr-20	0,2054	0,0045	0,02875	0,00031	0,35795	0,358	182,388	189,3	3,79	182,388	4,408	1,715	3,621
Zr-40	0,2175	0,0053	0,02893	0,00028	0,35183	0,352	182,926	199,8	9,22	182,926	4,395	1,330	3,038
Zr-26	0,2084	0,0056	0,02887	0,00042	0,48103	0,481	183,142	192,5	5,11	183,142	4,786	1,830	2,311
Zr-12	0,2071	0,0077	0,02888	0,00036	0,19569	0,196	183,160	191,2	4,39	183,160	4,607	878	3,61
Zr-42	0,2008	0,0039	0,02889	0,00037	0,56163	0,562	183,514	185,9	1,3	183,514	4,662	3,700	4,351
Zr-25	0,2102	0,0074	0,02898	0,0004	0,18045	0,180	183,742	192,8	4,93	183,742	4,731	617	1,579
Zr-32	0,2055	0,0045	0,02901	0,00031	0,51812	0,518	184,137	189,4	2,86	184,137	4,472	2,024	2,451
Zr-39	0,2074	0,0064	0,02905	0,00035	0,21645	0,216	184,205	190,7	3,53	184,205	4,604	699	1,398
Zr-24	0,2066	0,0046	0,02909	0,00035	0,44214	0,442	184,548	190,3	3,12	184,548	4,595	2,063	3,34
Zr-23	0,2073	0,0091	0,02914	0,00041	0,048993	0,049	185,023	191,9	3,72	185,023	4,807	361	1,042
Zr-35	0,2129	0,008	0,02923	0,00042	0,27071	0,271	185,174	195,5	5,58	185,174	4,854	554	0,782
Zr-21	0,2043	0,0055	0,02917	0,00031	0,1737	0,174	185,212	189	2,05	185,212	4,479	1163	2,387
Zr-27	0,2212	0,0065	0,02955	0,00064	0,30078	0,301	186,926	202,6	8,39	186,926	5,780	761	0,942
Zr-33	0,2132	0,0041	0,02996	0,00027	0,41021	0,410	187,599	196,5	4,74	187,599	4,463	2,590	2,911
Zr-14	0,2088	0,005	0,02968	0,0003	0,26359	0,264	188,349	193,2	2,58	188,349	4,536	1,890	3,704
Zr-36	0,2073	0,0053	0,02971	0,0003	0,31284	0,313	188,702	191,2	1,32	188,702	4,540	1,108	1,147
Zr-18	0,2129	0,0076	0,02981	0,00066	0,62333	0,623	189,049	195	3,15	189,049	5,854	1,264	2,619
Zr-1	0,2095	0,006	0,02992	0,00041	0,51135	0,511	189,975	192,6	1,38	189,975	4,916	1,500	3,273
Zr-43	0,2119	0,0086	0,03	0,00046	0,37041	0,370	190,218	194	1,99	190,218	5,111	497	1,095
Zr-13	0,2196	0,0071	0,03006	0,0004	0,23161	0,232	190,335	201	5,6	190,335	4,847	986	1,593
Zr-15	0,2137	0,0052	0,03012	0,00029	0,48635	0,486	191,114	196,3	2,71	191,114	4,532	2,350	4,179
Zr-19	0,2132	0,0049	0,03023	0,00038	0,47831	0,478	191,758	196,5	2,47	191,758	4,844	2,019	3,388
Zr-28	0,217	0,0059	0,03033	0,00036	0,25737	0,257	192,458	199,7	3,76	192,458	4,787	1,021	1,528
Zr-22	0,219	0,01	0,03038	0,00048	0,040979	0,041	192,509	200,3	4,05	192,509	5,183	254	1,224
Zr-6	0,217	0,011	0,03035	0,00047	0,24837	0,248	193,454	198,5	2,61	193,454	5,185	499	1,84
Zr-31	0,2183	0,0058	0,03053	0,00035	0,43526	0,435	193,522	200	3,35	193,522	4,781	1,500	1,793
Zr-2	0,2163	0,0075	0,03087	0,00037	0,28212	0,282	196,118	198,9	1,42	196,118	4,924	833	2,101
Zr-4	0,2251	0,0075	0,03102	0,00036	0,24619	0,246	196,182	205,8	4,9	196,182	4,842	868	3,214
Zr-34	0,212	0,011	0,03098	0,00042	0,045883	0,046	197,054	193,7	-1,7	197,054	5,081	417	0,851
Zr-7	0,2185	0,0046	0,03142	0,00041	0,60391	0,604	199,426	200,7	0,64	199,426	5,095	3,960	7,197
Zr-3	0,2276	0,0046	0,03147	0,00032	0,33236	0,332	199,443	208,2	4,39	199,443	4,776	2,039	3,462
Zr-9	0,2237	0,0054	0,03172	0,00037	0,38438	0,384	201,139	204,5	1,67	201,139	4,968	1,880	3,138
Zr-37	0,2303	0,0098	0,03186	0,00053	0,25233	0,252	201,867	208,9	3,48	201,867	5,546	521	1,027
Zr-8	0,229	0,01	0,03221	0,00058	0,19029	0,190	204,290	207,4	1,52	204,290	5,739	497	1,787
Zr-10	0,232	0,0053	0,03253	0,00045	0,3267	0,327	205,940	211,4	2,65	205,940	5,273	2,180	1,541

LMC-082, análisis isotópicos U-Pb en circon

Zr	Error Interno relación final $^{207}\text{Pb}/^{235}\text{U}$	Error Interno relación final $^{206}\text{Pb}/^{238}\text{U}$ a 2 D. E.	Error Interno relación final $^{206}\text{Pb}/^{235}\text{U}$ a 2 D. E.	Ajuste error de correlación (datos negativos)	Error de correlación $^{206}\text{Pb}/^{238}\text{U}$ vs. $^{207}\text{Pb}/^{235}\text{U}$	Edad corregida $^{206}\text{Pb}/^{238}\text{U}$ (Ma)	Edad $^{207}\text{Pb}/^{235}\text{U}$ (Ma)	% disc	Edad corregida $^{206}\text{Pb}/^{238}\text{U}$ (Ma)	\pm Error edad corregida (Ma)	Aproximación ^{238}U (ppm)	Th/U	
Zr-43	0,674	0,039	0,03321	0,00066	0,1	-0,0066	185,0039	515	178	185,00	7,09	185,00	1,0808
Zr-12	0,546	0,049	0,03565	0,00082	0,21888	0,2189	209,433	427	104	209,43	8,27	209,43	0,7021
Zr-41	0,424	0,037	0,03117	0,00086	0,30896	0,3090	185,977	355	90,9	185,98	7,68	185,98	0,7443
Zr-28	0,367	0,023	0,03057	0,00065	0,21666	0,2167	185,054	318	71,8	185,05	6,91	185,05	0,8747
Zr-32	0,333	0,028	0,02975	0,00068	0,15076	0,1508	181,985	287	57,7	181,99	6,97	181,99	0,8544
Zr-23	0,383	0,038	0,03287	0,00095	0,47843	0,4784	199,856	312	56,1	199,86	8,20	199,86	0,9389
Zr-18	0,336	0,025	0,03191	0,00067	0,21016	0,2102	195,554	289	47,8	195,55	6,99	195,55	1,0583
Zr-35	0,311	0,02	0,03031	0,00056	0,63477	0,6348	187,507	268	42,9	187,51	6,32	187,51	0,7379
Zr-27	0,302	0,02	0,03071	0,00044	0,58033	0,5803	190,540	265	39,1	190,54	6,09	190,54	1,6562
Zr-10	0,276	0,016	0,02935	0,00046	0,36158	0,3616	181,945	247	35,8	181,95	5,90	181,95	1,1034
Zr-34	0,3	0,027	0,03033	0,00065	0,65762	0,6576	188,753	251	33	188,75	6,98	188,75	0,4404
Zr-31	0,27	0,013	0,02939	0,00041	0,51174	0,5117	183,234	240	31	183,23	5,82	183,23	1,2509
Zr-20	0,26	0,014	0,02955	0,00043	0,2633	0,2633	184,945	233	26	184,95	5,97	184,95	1,0331
Zr-22	0,266	0,015	0,03002	0,00049	0,079926	0,0799	187,694	236	25,7	187,69	6,17	187,69	0,8988
Zr-6	0,265	0,015	0,0303	0,00048	0,39549	0,3955	189,404	234	23,5	189,40	6,15	189,40	1,1355
Zr-36	0,249	0,017	0,02888	0,00039	0,030231	0,0302	180,675	221	22,3	180,68	5,76	180,68	2,5034
Zr-3	0,277	0,028	0,03161	0,00079	0,40385	0,4039	197,290	241	22,2	197,29	7,66	197,29	0,7419
Zr-19	0,262	0,018	0,0308	0,00054	0,36073	0,3607	192,888	233	20,8	192,89	6,37	192,89	1,125
Zr-40	0,242	0,012	0,02952	0,00038	0,0039886	0,0040	185,690	219,1	18	185,69	5,79	185,69	2,7685
Zr-5	0,203	0,013	0,029	0,0004	0,12073	0,1207	184,326	186	0,91	184,33	5,78	184,33	1,0037
Zr-17	0,209	0,012	0,02918	0,0004	0,29196	0,2920	184,860	191,5	3,59	184,86	5,82	184,86	1,2076
Zr-2	0,2096	0,0087	0,02923	0,00038	0,21029	0,2103	185,290	192	3,62	185,29	5,80	185,29	1,082
Zr-42	0,2189	0,0073	0,02936	0,00034	0,35181	0,3518	185,596	201,2	8,41	185,60	5,60	185,60	2,3317
Zr-29	0,2031	0,008	0,02939	0,00033	0,23491	0,2349	186,619	188	0,74	186,62	5,62	186,62	1,1269
Zr-26	0,217	0,011	0,02954	0,00037	0,16963	0,1696	187,096	198,3	5,99	187,10	5,75	187,10	1,9619
Zr-38	0,241	0,01	0,02976	0,00031	0,2095	0,2095	187,116	218,8	16,9	187,12	5,66	187,12	1,8869
Zr-11	0,211	0,012	0,02954	0,00039	0,20456	0,2046	187,166	193,6	3,44	187,17	5,75	187,17	1,1638
Zr-33	0,2164	0,0097	0,02962	0,00035	0,46938	0,4694	187,551	196,4	4,72	187,55	5,74	187,55	0,9815
Zr-45	0,2079	0,0087	0,0296	0,00042	0,25504	0,2550	187,846	191	1,68	187,85	5,93	187,85	1,4061
Zr-1	0,2076	0,0097	0,0296	0,00041	0,14149	0,1415	187,940	192	2,16	187,94	5,93	187,94	1,1462
Zr-14	0,2082	0,0087	0,02977	0,00038	0,35821	0,3582	188,915	190,7	0,95	188,91	5,80	188,91	1,5034
Zr-15	0,2033	0,0052	0,02985	0,00028	0,25583	0,2558	189,582	187,4	-1,15	189,58	5,61	189,58	2,9855
Zr-13	0,231	0,01	0,03015	0,00039	0,23162	0,2316	190,044	210,8	10,9	190,04	5,86	190,04	2,7383
Zr-30	0,2104	0,0088	0,03007	0,0004	0,19462	0,1946	190,919	193,1	1,14	190,92	5,87	190,92	1,2165
Zr-7	0,2109	0,0088	0,03014	0,0004	0,27636	0,2764	191,002	193,7	1,41	191,00	5,93	191,00	1,5953
Zr-8	0,24	0,011	0,03057	0,00044	0,49125	0,4913	192,208	218	13,4	192,21	6,04	192,21	0,893
Zr-24	0,249	0,011	0,03066	0,00038	0,21315	0,2132	192,624	225,2	16,9	192,62	5,91	192,62	2,2219
Zr-21	0,2147	0,006	0,03042	0,00034	0,38937	0,3894	192,975	197,3	2,24	192,98	5,85	192,98	1,5447
Zr-16	0,227	0,013	0,03066	0,00051	0,19048	0,1905	193,541	207	6,95	193,54	6,37	193,54	0,8018
Zr-9	0,2053	0,0095	0,03048	0,0004	0,050545	0,0505	193,568	190,7	-1,48	193,57	6,00	193,57	1,5695
Zr-44	0,2232	0,0077	0,03059	0,00037	0,36643	0,3664	193,730	204,1	5,35	193,73	5,92	193,73	1,4549
Zr-25	0,2232	0,0068	0,03063	0,00041	0,43445	0,4345	193,860	203,8	5,13	193,86	5,97	193,86	2,4045
Zr-4	0,208	0,014	0,03085	0,0005	0,16829	0,1683	196,186	191	-2,64	196,19	6,40	196,19	0,7296
Zr-37	0,2362	0,0093	0,03112	0,00035	0,17461	0,1746	196,416	214,6	9,26	196,42	5,98	196,42	2,0973
Zr-39	0,245	0,011	0,03177	0,00043	0,52319	0,5232	200,503	221,6	10,5	200,50	6,29	200,50	2,2989

LMC-084, análisis isotópicos U-Pb en circon

Zr	Error interno relación final $^{207}\text{Pb}/^{235}\text{U}$	Error interno relación final $^{207}\text{Pb}/^{235}\text{U}$ a 2 D. E.	Error Interno relación final $^{206}\text{Pb}/^{238}\text{U}$ a 2 D. E.	Ajuste error de correlación (datos negativos)	Error de correlación $^{206}\text{Pb}/^{238}\text{U}$ vs. $^{207}\text{Pb}/^{235}\text{U}$	Edad corregida $^{206}\text{Pb}/^{238}\text{U}$ (Ma)	Edad $^{207}\text{Pb}/^{235}\text{U}$ (Ma)	% disc.	Edad corregida $^{206}\text{Pb}/^{238}\text{U}$ (Ma)	\pm Error edad corregida (Ma)	Aproximación ^{238}U (ppm)	Th/U	
Zr-20	0,3220	0,0120	0,03322	0,00034	0,5306	0,53058	205,72	282,60	37,37	205,72	6,23	0,69	1,441
Zr-21	0,3620	0,0340	0,03690	0,00081	0,4867	0,48672	227,54	310,00	36,24	227,54	8,24	0,45	2,226
Zr-40	0,2937	0,0099	0,03133	0,00032	0,3901	0,39011	194,10	260,70	34,31	194,10	5,86	1,63	0,615
Zr-35	0,2660	0,0150	0,02959	0,00053	0,1485	0,14848	183,84	240,00	30,55	183,84	6,20	0,68	1,477
Zr-50	0,2880	0,0150	0,03214	0,00041	0,2157	0,21571	199,76	258,00	29,16	199,76	6,27	0,43	2,341
Zr-25	0,2540	0,0120	0,03074	0,00045	0,4367	0,43673	192,47	228,20	18,57	192,47	6,15	0,47	2,137
Zr-11	0,2552	0,0053	0,03102	0,00019	0,3950	0,39500	194,69	230,70	18,49	194,69	5,64	0,87	1,148
Zr-5	0,2560	0,0110	0,03122	0,00035	0,5190	0,51903	195,94	229,80	17,28	195,94	5,97	0,69	1,454
Zr-27	0,2660	0,0150	0,03269	0,00044	0,2429	0,24287	205,20	237,00	15,50	205,20	6,37	0,74	1,354
Zr-31	0,2560	0,0110	0,03213	0,00034	0,6044	0,60442	201,79	229,80	13,88	201,79	6,10	0,75	1,325
Zr-45	0,2088	0,0037	0,03010	0,00022	0,2098	0,20979	190,98	192,60	0,85	190,98	5,54	1,01	0,991
Zr-48	0,2143	0,0052	0,03017	0,00030	0,4558	0,45578	191,21	196,90	2,97	191,21	5,72	0,89	1,123
Zr-47	0,2190	0,0120	0,03035	0,00041	0,2675	0,26751	192,08	199,60	3,91	192,08	6,00	0,71	1,411
Zr-44	0,2130	0,0110	0,03056	0,00034	0,0879	0,08792	193,83	194,60	0,40	193,83	5,88	0,65	1,546
Zr-15	0,2292	0,0043	0,03072	0,00020	0,2277	0,22769	194,28	209,80	7,99	194,28	5,60	1,05	0,957
Zr-39	0,2125	0,0094	0,03061	0,00034	0,0357	0,03566	194,34	195,40	0,55	194,34	5,88	0,56	1,797
Zr-37	0,2191	0,0062	0,03093	0,00044	0,6191	0,61909	195,76	201,40	2,88	195,76	6,16	0,90	1,113
Zr-42	0,2250	0,0110	0,03102	0,00038	0,1717	0,17168	195,77	208,60	6,56	195,77	6,06	0,60	1,676
Zr-13	0,2178	0,0032	0,03092	0,00023	0,2810	0,28104	196,18	199,90	1,89	196,18	5,67	1,07	0,937
Zr-8	0,2153	0,0060	0,03095	0,00028	0,1770	0,17698	196,57	197,80	0,62	196,57	5,80	0,26	3,774
Zr-18	0,2239	0,0049	0,03118	0,00038	0,5498	0,54976	197,41	205,40	4,04	197,41	6,03	0,43	2,311
Zr-43	0,2110	0,0032	0,03112	0,00025	0,3964	0,39639	197,55	194,40	-1,60	197,55	5,73	0,82	1,212
Zr-14	0,2282	0,0064	0,03130	0,00047	0,2874	0,28744	198,06	208,90	5,47	198,06	6,28	0,36	2,789
Zr-49	0,2124	0,0081	0,03132	0,00040	0,3121	0,31208	198,73	196,50	-1,12	198,73	6,11	1,10	0,909
Zr-46	0,2250	0,0120	0,03149	0,00054	0,1918	0,19181	199,08	206,00	3,48	199,08	6,37	0,59	1,691
Zr-7	0,2330	0,0110	0,03150	0,00037	0,1659	0,16585	199,11	212,50	6,72	199,11	6,05	0,68	1,466
Zr-30	0,2220	0,0053	0,03146	0,00025	0,4585	0,45845	199,31	203,10	1,90	199,31	5,79	1,13	0,888
Zr-28	0,2178	0,0032	0,03146	0,00021	0,3836	0,38357	199,48	199,90	0,21	199,48	5,73	0,72	1,384
Zr-34	0,2300	0,0096	0,03163	0,00036	0,4972	0,49716	200,08	208,70	4,31	200,08	6,05	0,36	2,792
Zr-38	0,2340	0,0100	0,03173	0,00035	0,2335	0,23352	200,20	214,60	7,19	200,20	6,05	0,40	2,47
Zr-1	0,2470	0,0140	0,03183	0,00037	0,4138	0,41380	200,38	222,00	10,79	200,38	6,12	0,60	1,667
Zr-22	0,2328	0,0050	0,03178	0,00024	0,2854	0,28536	200,87	212,40	5,74	200,87	5,84	0,30	3,35
Zr-17	0,2219	0,0034	0,03170	0,00020	0,3020	0,30202	201,12	203,80	1,33	201,12	5,79	0,93	1,075
Zr-10	0,2389	0,0037	0,03195	0,00019	0,3510	0,35099	201,92	217,50	7,72	201,92	5,78	0,94	1,065
Zr-12	0,2502	0,0058	0,03209	0,00031	0,1794	0,17935	202,15	227,00	12,29	202,15	6,02	0,90	1,108
Zr-29	0,2150	0,0160	0,03183	0,00047	0,0324	0,03239	202,23	196,00	-3,08	202,23	6,42	0,76	1,317
Zr-6	0,2525	0,0038	0,03250	0,00026	0,4482	0,44817	204,67	228,40	11,59	204,67	5,96	0,59	1,702
Zr-19	0,2146	0,0079	0,03221	0,00032	0,0511	0,05107	204,72	196,90	-3,82	204,72	6,06	0,56	1,779
Zr-4	0,2303	0,0050	0,03246	0,00029	0,4283	0,42825	205,68	210,10	2,15	205,68	6,04	0,86	1,161
Zr-9	0,2504	0,0069	0,03272	0,00032	0,3044	0,30436	206,39	226,60	9,79	206,39	6,15	0,27	3,772
Zr-26	0,2700	0,0150	0,03315	0,00045	0,5556	0,55559	208,21	237,00	13,83	208,21	6,35	0,29	3,444
Zr-41	0,2393	0,0062	0,03297	0,00026	0,1486	0,14864	208,36	216,70	4,00	208,36	6,10	0,94	1,061
Zr-33	0,2600	0,0100	0,03330	0,00040	0,3837	0,38370	209,40	232,20	10,89	209,40	6,34	1,00	0,999
Zr-16	0,2281	0,0038	0,03306	0,00037	0,5584	0,55839	209,67	208,60	-0,51	209,67	6,29	0,85	1,181
Zr-23	0,2380	0,0120	0,03324	0,00042	0,1756	0,17561	210,31	215,90	2,66	210,31	6,37	0,64	1,552
Zr-2	0,2350	0,0100	0,03325	0,00045	0,2807	0,28070	210,61	214,60	1,90	210,61	6,37	0,74	1,343
Zr-24	0,2350	0,0067	0,03337	0,00036	0,3554	0,35540	211,28	214,50	1,52	211,28	6,35	0,81	1,233
Zr-3	0,2463	0,0042	0,03346	0,00022	0,1712	0,17121	211,43	223,60	5,75	211,43	6,09	0,91	1,099
Zr-32	0,2436	0,0061	0,03620	0,00069	0,6118	0,61181	229,39	221,20	-3,57	229,39	7,59	0,58	1,721
Zr-36	0,2615	0,0067	0,03672	0,00042	0,1485	0,14854	231,90	236,00	1,77	231,90	6,97	0,71	1,403

Anexo 3. Análisis isotópicos de elementos traza en circón

GZ-6743, análisis isotópicos de elementos traza en circón

(ppm)	P	Ti	Y	Nb	La	Ce	Pr	Nd	Sm	Eu	Gd	Tb	Dy	Ho	Er	Yb	Lu	Hf	Pb	Th	U
Zr-012	1.080	16,4	6.080	8,66	0,5	159	1,25	18,2	30,4	10,35	160	52	577	211	893	1.530	308	8.280	7,825	625	267
Zr-017	560	39,2	1.910	13,63	0,62	39	0,479	5,85	7,85	2,99	41,2	13,2	160	63,9	297	617	134,4	9.800	4,773	177	156,9
Zr-028	520	36,1	1.820	15,4	0,299	80,6	0,257	3,69	5,9	1,84	34,1	11,9	149	60,7	277	558	117,2	10.910	8,375	327	243
Zr-010	810	9,17	3.110	13,76	1,19	118,4	0,81	8,1	10,6	2,81	62,6	21,3	260	100,5	466	941	194,8	10.630	16,3	708	491
Zr-011	390	9,3	1.005	1,19	0	22,57	0,088	1,29	2,24	2,07	13,15	4,95	65,5	29,19	157,7	421	105	5.712	3,988	122,7	123,5
Zr-013	417	6,53	1.811	14,89	0,026	58,2	0,022	0,75	2,96	0,738	21,7	9,55	131,7	58,51	295,8	675	148,7	11.800	11,13	259	349,4
Zr-014	2.770	26,2	2.719	16,01	13,5	155	4,7	25	11,1	2,95	50,7	17,6	188	66	290	538	112	8.230	2,095	104	62,8
Zr-015	480	14,7	1.930	2,29	0,074	36,4	0,73	10,9	15	5,77	57,7	17,6	188	66	290	538	112	8.230	2,095	104	62,8
Zr-016	1.870	12,76	3.190	12,3	5,4	123,8	1,9	10,2	10,7	3,94	56,8	20,85	259	104,2	503	1.034	222,3	9.860	11,38	552	358
Zr-018	440	7,86	1.680	7,02	0,08	58,3	0,118	2,07	5,2	1,36	30,7	11,3	138	54,8	258	530	108	11.580	6,8	261	202
Zr-019	230	8,03	1.170	5,32	0,095	46,6	0,52	5,28	6,46	2,18	23,5	7,88	90,8	36,5	176	408	91,6	9.220	5,375	184	155
Zr-020	830	8,72	3.090	11,67	0,154	108,9	0,329	5,48	10,6	2,99	59,1	20,9	255	100	459	933	194	9.640	15,48	856	499
Zr-021	1.000	10,7	4.750	9,97	0,04	149	0,47	9,2	16,5	5,9	86,6	31,1	382	149	710	1.500	308	8.860	19,78	1.000	582
Zr-022	526	10,66	1.641	4,25	0,004	31,77	0,096	1,84	4,75	1,73	28,1	9,87	122,5	51,7	255,4	583	130,3	9.570	4,633	140,1	138,1
Zr-023	470	11,11	1.257	3,04	0,009	39,74	0,076	2,35	4,12	1,55	23,4	8,37	104,2	41,34	200,8	407,6	86,5	8.955	4,145	169,6	124,4
Zr-024	290	8,1	1.063	5,33	0,38	31,9	0,163	1,64	2,42	0,86	15,5	5,91	81	34,5	170,5	401	88,4	10.970	5,175	147	154,7
Zr-025	560	10,27	2.269	10,34	0,153	68,4	0,18	2,68	6,1	2,04	38	14,03	177,2	73,5	356,6	784	172	10.040	12,43	485	380,1
Zr-026	2.740	18,3	3.570	18,2	12,2	270	3,7	22,8	15,8	4,36	66,9	21,9	266	105	490	1.040	221	10.370	6,225	355	183,5
Zr-027	390	11,57	1.950	4,15	0,048	45,4	0,405	7,1	10,6	3,72	49	15,7	179	65,8	295	582	123,3	9.050	4,225	176	130,6
Zr-029	780	11,9	4.080	17,55	2,37	103,9	0,9	7,56	13,9	3,79	77	29,19	355	140,2	653	1.283	260	11.200	12,55	498	437
Zr-030	210	7,87	670	2,38	0,02	28,7	0,159	2,25	3,24	1,13	16,1	4,6	58	21,8	104	219	48,2	10.370	3	122	77
Zr-031	710	11,13	4.170	5,68	0,205	79,3	0,73	12	20,6	7,33	97,6	31,6	363,9	138,9	630	1.277	266,2	8.530	8,043	420	268,9
Zr-032	1.820	9,87	7.360	39,4	0,062	262	0,511	10,6	26,9	6,91	151,1	54	648	246,6	1073	1.910	361	9.140	13,68	865	444
Zr-033	6.500	10,1	2.366	16,37	8800	14300	1340	4500	470	30,3	303	32,8	229	77,4	361,6	795	173,7	11.500	11,4	1.240	350,5
Zr-034	399	7,52	1.358	9,96	0,267	42,8	0,078	0,84	2,26	0,618	17,6	7,13	99,3	43,1	217,3	510	110,8	11.560	9,325	206,2	282,5
Zr-035	671	12,53	2.505	7,3	0,013	69,6	0,167	3,47	6,09	2,51	41,1	15,39	197,7	81,4	387,6	806	174,3	8.110	6,55	257,1	195,5
Zr-036	140	6,76	621	2,03	0	21,83	0,033	0,9	1,28	0,61	8,42	3,28	43,1	18,75	100	260	62,4	11.140	3,485	71,1	104,3
Zr-037	510	10,2	2.060	5,27	0,138	55,1	0,229	3,87	7,04	2,62	34,5	12,28	151,9	61,5	312	729	165,2	9.920	10,3	466	305
Zr-038	571	9,12	2.106	14,99	0,018	86,7	0,117	1,87	5,26	1,47	33,3	13,18	168,9	68,2	326	671	143,8	10.950	20,05	956	630
Zr-039	570	8,7	2.350	6,16	0,01	66,3	0,189	4,7	7,7	2,8	42,4	15,1	186	74,6	362	818	179,6	9.820	8,775	437	302
Zr-040	400	7,08	454	3,74	0,025	16,49	0,019	0,2	0,71	0,152	4,46	2,08	31,1	14,44	75,3	192,5	43,9	11.330	3,725	64,8	105,2
Zr-041	3.110	19,1	1.933	6,29	29,1	115	9,6	43	13,1	2,25	38	13,09	157,1	63,9	303,1	641,7	138,2	10.670	5,088	142,6	158,6
Zr-042	200	8,52	1.953	2,01	0,028	38,7	0,321	4,6	8,25	3,76	43,3	13,68	168,6	64,9	298	623	136,7	9.790	7,075	318	235
Zr-043	730	12,94	3.054	4,65	0,53	59,4	0,61	7,72	12,4	4,73	66	21,76	259,3	100,5	468,3	952	204,8	8.120	6,31	299,4	207,8
Zr-044	534	9,97	2.707	10,78	0	76,1	0,083	2,09	5,88	2,26	42,4	16,58	214,3	88,9	434	933	203	9.960	8,478	284,4	261,2

JGB-462, análisis isotópicos de elementos traza en circón

(ppm)	P	Ti	Y	Nb	La	Ce	Pr	Nd	Sm	Eu	Gd	Tb	Dy	Ho	Er	Yb	Lu	Hf	Pb	Th	U
Zr-058	332	53	1.720	5	0	39	0	6	10	4	48	15	167	60	263	490	99	6.538	3,75	186	110
Zr-067	382	10	1.132	3	0	32	0	3	6	2	27	9	99	38	181	359	77	7.014	3,5	136	102
Zr-047	6.224	57	1.021	3	2	27	2	11	5	1	17	6	80	33	160	316	66	7.060	2,25	75	71
Zr-040	212	10	565	1	0	14	0	1	2	1	11	4	48	19	89	196	45	7.490	1	44	33
Zr-057	348	11	937	6	0	41	0	1	3	1	15	6	70	30	152	338	73	9.237	6,5	170	207
Zr-069	600	8	2.184	7	0	71	0	4	9	3	47	16	189	74	336	674	138	6.996	7,25	449	222
Zr-068	489	10	1.582	6	0	50	0	2	4	2	27	10	125	53	260	558	119	7.295	3,75	147	115
Zr-041	402	10	1.043	5	0	38	0	1	3	1	16	6	76	33	171	394	89	10.754	3,75	113	111
Zr-036	328	8	936	4	0,1	40	0,1	1	3	1	16	6	75	31	151	330	72	9.715	4	166	127
Zr-037	608	10	1.842	9	0,1	87	0,1	3	7	2	39	13	158	60	283	565	120	9.162	10,5	732	327
Zr-038	525	14	2.852	3	0,1	58	1	15	23	8	91	27	280	100	432	786	158	8.634	4	266	131
Zr-039	731	11	3.309	5	0,1	95	2	23	30	9	105	33	331	119	503	889	173	7.484	5,5	587	184
Zr-042	891	9	2.087	9	0,1	40	0,1	2	5	1	33	13	168	68	333	698	148	8.404	13	257	413
Zr-043	402	8	1.939	12	0,1	87	0,1	3	6	2	35	12	160	65	320	659	142	10.036	8,5	270	243
Zr-044	347	11	1.111	2	0,1	17	0,1	2	3	1	18	7	88	36	180	410	91	7.990	3	96	91
Zr-045	611	10	2.030	7	0,1	62	0,1	3	6	2	34	13	166	68	321	675	144	7.815	5,25	230	159
Zr-046	356	9	1.301	5	0,1	43	0,1	2	3	1	21	8	101	43	215	490	109	8.396	3,5	121	107
Zr-048	761	9	2.000	9	1	76	0,1	4	6	2	36	12	152	62	305	739	160	8.418	8,25	436	279
Zr-049	494	8	1.544	7	0,1	67	0,1	2	5	2	27	10	128	51	255	539	114	8.003	5	225	146
Zr-050	416	8	1.761	7	0,1	64	0,1	2	4	2	26	10	133	58	283	606	132	7.821	5	196	154
Zr-051	498	11	2.203	8	0,1	75	0,1	3	6	2	37	14	180	73	352	732	157	7.609	5,25	252	156
Zr-052	330	11	1.141	2	0,1	28	0,1	3	5	2	30	10	109	40	179	340	70	7.286	1,75	96	54
Zr-053	538	11	2.685	9	0,1	99	0,1	3	9	3	53	18	231	91	422	839	173	7.161	5,5	331	167
Zr-054	395	8	1.622	15	0,1	92	0,1	2	6	1	31	11	142	55	255	508	103	7.959	11	528	345
Zr-055	510	10	2.137	6	0,1	71	0,1	4	8	3	42	15	185	71	333	681	144	7.308	4,5	258	140
Zr-056	684	11	3.400	4	0,1	79	1	17	29	9	114	33	352	123	515	898	178	7.793	7,25	397	241
Zr-059	866	7	2.637	13	0,1	53	0,1	2	7	1	47	18	227	87	410	809	163	9.647	33,5	742	1.021
Zr-060	1.008	10	4.560	13	0,1	188	0,1	9	20	6	111	38	431	162	718	1271	250	7.367	8,5	858	273
Zr-061	385	9	1.429	5	0,1	52	0,1	2	4	2	27	10	118	47	227	483	104	7.686	5	235	150
Zr-062	282	9	1.250	7	0,1	61	0,1	2	4	1	22	8	104	42	199	421	90	8.327	5	211	151
Zr-063	257	7	740	4	0,1	29	0,1	1	2	1	11	4	59	25	120	271	59	8.005	3,5	114	106
Zr-064	319	7	771	2	0,1	27	0,1	1	2	1	14	5	63	26	126	272	60	8.160	1,75	66	53
Zr-065	815	8	4.133	11	0,1	164	1	15	22	8	102	33	376	142	637	1253	255	6.228	10,8	834	348
Zr-066	1.033	8	2.877	12	0,1	94	0,1	5	11	2	60	22	261	100	455	860	170	7.552	20	809	616
Zr-070	389	7	1.464	8	0,1	75	0,1	2	5	2	28	10	127	50	233	468	96	8.160	6,25	351	206
Zr-025	530	110	1.560	10,8	3,7	60	0,8	4,6	5,7	1,86	21,5	9,7	125	50	245	560	123	8.900	7,375	244	221
Zr-030	910	10,7	2.100	16,5	1,23	109	0,6	4,9	5,5	3,47	34,5	13,2	171	71	348	790	162	10.500	10,48	325	368
Zr-032	330	15,7	1.660	14,1	0,102	52,5	0,044	0,97	2,31	1,04	19,5	8,2	117	51,5	265	636	144	10.900	10,38	297	357
Zr-029	890	13,1	1.770	15,7	0	57	0,105	1,4	3,07	1,09	27,3	10,5	113,8	56	297	650	144	6.200	12,75	362	420
Zr-003	660	10,1	1.350	8,8	0	48,3	0,05	1,33	3,97	1,09	22,8	8,2	109	44,3	215	464	98	10.200	8,725	343	269
Zr-019	1.270	15,3	3.500	16,8	0,31	123	0,29	6,2	12,8	3	77	24,6	300	116	540	1.060	219	12.000	20	1.050	590
Zr-001	730	12,2	3.250	26,9	0,01	211	0,281	6,3	13,7	3,3	72	25	291	111	500	950	193	9.500	22,5	1.610	720
Zr-002	1.280	9,3	3.840	56,3	0,011	101	0,097	2,31	7,63	1,89	59,3	24,5	312	128	601	1.240	244	10.080	30,5	1.210	986
Zr-004	6.000	30,5	3.500	51	24,1	149	10,4	59	21,9	2,47	71,3	24,7	308	121	559	1.090	215	13.100	42,75	1.850	1.390
Zr-005	500	9,4	670	1,81	0,026	4,02	0,016	0,63	1,5	0,118	10,2	4,26	53,5	22,4	105	206	40	8.980	28,5	36,2	122
Zr-006	720	11,4	1.970	8,5	0,003	85	0,15	3,25	6,6	2,12	36,1	12,9	163	66,5	311	647	132	8.810	5,925	277	192
Zr-007	610	11,2	2.270	10,7	0,003	96	0,122	3,21	7,4	3,16	46,9	16,5	202	78,8	362	746	150	8.710	9,15	467	299
Zr-008	1.000	12,3	2.440	5,2	0	8,4	0,052	0,13	2,5	0,21	22,4	12,3	189	79	410	960	204	14.200	39	166	1.050
Zr-009	590	11,7	3.530	6	0,055	89	0,51	9,4	17,9	5,97	83	27,4	319	121	544	1.010	203	10.700	7,125	392	245
Zr-010	10	9,6	388	2,84	0	3,01	0,01	0,04	0,28	0,161	3,12	1,32	22,2	10,6	62	236	74	13.700	46,25	15,1	279
Zr-011	790	14	2.620	10,7	0	81,5	0,125	3,37	7,4	2,76	45,1	17,8	228	89	423	890	176	9.800	8,075	305	261
Zr-012	330	9,6	960	4,4	0,02	25	0,039	0,97	3,3	0,75	18	7	81	32	148	294	60	12.400	77	105	500
Zr-013	660	10,8	3.350	29,2	0,057	103	0,064	1,56	3,93	1,56	36,1	15,2	214	99	525	1.350	309	11.900	24	880	784
Zr-014	890	14	2.500	17,8	0,002	111	0,119	3,2	6,8	2,19	45,1	16,8	213	85	399	840	176	12.400	13,05	640	429
Zr-015	940	16,3	1.750	5,51	1,8	46,2	0,67	5,5	5,4	1,73	30,2	11,1	144	58,6	281	582	125	8.520	4,75	179	156

(ppm)	P	Ti	Y	Nb	La	Ce	Pr	Nd	Sm	Eu	Gd	Tb	Dy	Ho	Er	Yb	Lu	Hf	Pb	Th	U
Zr-016	950	13,6	2.280	10,7	0,217	107	0,214	3,87	8	3,43	49,8	16,9	207	78,3	351	655	133	9.800	12,35	910	409
Zr-017	540	9,4	1.490	10,5	0,011	66,8	0,084	1,57	3,46	1,18	23,4	8,8	114	47,3	237	499	110	10.200	7,95	349	274
Zr-018	460	9,7	1.050	2,33	0,015	41	0,294	4,03	6,4	1,87	25,1	7,87	91	34,8	161	357	77	9.050	9,7	435	321
Zr-020	1.230	12	3.660	27,5	0,002	158	0,165	4,86	12,1	4,33	77	26	337	134	599	1.170	223	10.100	21,75	1.320	734
Zr-021	620	12,8	1.900	5,3	0,001	51,6	0,159	2,85	6,3	2,38	33,8	12,6	157	63	301	630	134	11.500	4,7	156	149
Zr-022	600	8,5	1.280	11,5	0	32,7	0,026	0,53	2,3	0,63	13,7	6,02	87	38,2	207	484	110	9.500	7,575	205	264
Zr-023	-600	10,5	630	1,64	0	17,1	0,09	1,2	2,4	0,38	8	4	49	21,2	101	212	46	5.700	2,575	63	76
Zr-024	270	10,8	592	2,31	1,17	24,3	0,75	4,58	3,43	1,37	12,3	3,9	46,7	18,2	87	192	43	9.100	2,125	74	72
Zr-026	290	14,6	1.570	2,52	0,012	13,8	0,389	7,3	11,3	2,24	51,7	15,8	164	55,5	220	359	68	10.300	19	47,3	115
Zr-027	330	13,5	1.540	5,82	0,51	61,5	0,333	3,4	6,31	2,21	32,6	11,4	135	51,3	230	448	94	8.920	5,975	393	194
Zr-028	370	8,59	1.400	5,47	0	54	0,1	2,11	4,38	1,5	25,2	9,2	119	44,6	221	440	97	9.520	4,525	208	147
Zr-031	700	10,6	2.530	13,5	0,005	98	0,107	2,75	5,85	2,34	39,9	14,8	204	84	406	840	173	10.100	10,58	335	323
Zr-033	960	172	2.090	12	0,158	53,2	0,102	1,59	4,33	1,49	28,7	11,5	155	65,7	328	789	169	9.290	15,03	415	506
Zr-034	580	9,1	1.680	13,3	0,5	85	0,207	2,2	4,29	1,28	26,3	10,2	136	55,4	260	551	112	10.400	9,6	385	311
Zr-035	510	16	3.070	8,48	0,02	86,4	0,24	3,81	8,2	3,41	52,3	19,8	261	99,4	473	882	181	8.500	6,625	328	223